

وزارة التعليم والبحث العلمي
MINISTÈRE DE L'ENSEIGNEMENT ET DE LA RECHERCHE SCIENTIFIQUE

1ex.

ECOLE NATIONALE POLYTECHNIQUE

DEPARTEMENT : GENIE CIVIL

PROJET DE FIN D'ETUDES

SUJET

BATIMENT R+4

Proposé par : EDIL

Etudié par : MEBARKI
Louard

Dirigé par : VANIA
Tzvetrova



PROMOTION : Janvier 1984

BIBLIOTHÈQUE

1) P. Charon

Calcul et vérification des ouvrages en béton armé (EYROLLES)

2) CCBA 68

Règles techniques de conception et de calcul des ouvrages et constructions en béton armé.

3) PS 69

Règles parasismiques 1969

4) *Aide mémoire de béton armé (DUNOD)*

5) *Aide mémoire de résistance des matériaux (DUNOD)*

6) *Complément au règles parasismiques (CTC)*

7) *Poutres continues Tome II KLEINLOCHL HASE BACH*

TABLE DE MATIÈRE

Chapitre I : INTRODUCTION

Page

Présentation de l'ouvrage.....	01
Caractéristiques mécaniques des matériaux.....	03

Chapitre II : CHARGES ET SURCHARGES

Calcul des éléments.....	09
Acrotère.....	11
Calcul des poutrelles.....	26
Escaliers.....	33
Planchers dalles.....	40

Chapitre III : Etude au séisme

Introduction.....	41
Masse soumise à l'action sismique.....	42
Calcul des coefficients sismique.....	43
Forces sismiques.....	46
Méthode de BOWMAN.....	47
Efforts horizontaux agissant sur les portiques.....	48
Etude de la torsion.....	51
Déformation horizontale.....	52
Force due à la torsion sur chaque poteau	56
Moment frechissants dans les poteaux.....	58
Diagrammes des moments.....	59

<u>Chapitre IV : Descente de charge verticale sur les portiques</u>	63
---	----

Chapitre V : CHARGES VERTICALES

Méthode de caquot.....	72
Superposition des efforts.....	77
Exemples de calcul.....	80

Chapitre VI : ETUDE DES POUTRES

Méthode P. charon.....	83
Vérificateurs.....	90

Chapitre VII : FERRAILLAGE DES POUTREAU

Exposé de la méthode	101
Vérifications.....	103
Résultats des efforts.....	106
Résultats du ferrailage.....	109
Vérification.....	112

Chapitre VIII : VOILE PERIMÉTRIQUE..... 113

Chapitre VIII : LONGUEURS..... 114

Chapitre X : FONDACTIONS..... 119

-RESUME-

Notre projet de fin d'études porte sur l'étude et le calcul des éléments résistants d'un bâtiment à usage d'habitation (R+4) qui sera implanté dans une zone de moyenne séismicité (à BOUMERDES) sur un sol de taux de travail $2,04 \text{ Kg/cm}^2$. L'ossature sera composée de huit portiques, les planchers sont en corps creux, et en table de compression (16+4) avec quelques dalles pleines, les murs seront en doubles cloisons, les fondations sont choisies isolées et superficielles.

Our project of final studies is about the analysis of the proof ingredient in a building used for housing (5 levels).
This building will be implanted in an area of average seismicity (BOUMERDES), on a soil of about a work rate equal to ($2,04 \text{ Kg/cm}^2$).
The skeleton will be composed of 8 bents.
The floors are of hollow body and of compression table with few solid reinforced slabs, the walls are of a double bulkhead, the foundations are chosen isolated and superficial.

إن هذا البحث الذي أقدمه عند نهاية الدراسات يتلخص في دراسة وحساب
العناصر المقاوسة في البناء، الذي سوف يستعمل للسكن و المتكون من الطبق
(السفلي) و (اريحة طبقات)، سوف ينشأ في منطقة معتدلة الزلازلية (بمقدار)
على أرضية حيث معدل تحمل تربتها يقدر ب (304 كم/ث³)
و يتكون هذا البناء من 8 هيكل حاملة، و تتكون السقوف من القرميد المفرع
و بدقة الصغر (1604)، مع بعض البلاطات الصغيرة، و تتكون الجدران من حواجز
مفرعة

و تم اختيار أساسات هذا البناء لتكونه متحركة و سطحية

D E D I C A C E

A la mémoire de mon père

A ma mère

A mes frères et mes neveux

A mes amis (les) en particulier à TALEB qui m'a aidé.

REMERCIEMENTS

Je tiens à remercier mon promoteur Mme pour son aide.

Je tiens à exprimer ma sincère reconnaissance à tous ceux qui ont contribué de près ou de loin à l'élaboration de ce projet de fin d'étude et en particulier Mr NAIT et Mr ZITOUFI du BEREG, ainsi que le Centre National d'Animation des Entreprises et de Traitement des Informations du Secteur de la Construction : CNAT.

Toute ma gratitude à mes professeurs qui m'ont guidés au cours de ma formation, mes respects aux membres du jury qui me feront l'honneur d'apprécier ce modeste travail et à l'honorale assistance qui sera présente.

- (Lourad) -

Présentation de l'ouvrage

Generalités

Notre projet de fin d'études porte sur l'étude et le calcul des éléments résistants d'un bâtiment à usage d'habitation (R + 4) qui sera implanté (dans une zone de moyenne sismicité) à Boumerdes il comporte un bloc .

Taux de travail du sol :

- le taux de travail du sol est de 2 bars pour une profondeur d'ancrage de (deux) mètres

Ossature

Longeur totale 21,34 m

Largeur totale 10,19 m

hauteur totale avec acrotère : 16,36 m

- l'ossature sera composée de :
 - 3 portiques Longitudinaux
 - 8 portiques Transversaux .

Planchers

- ils seront constitués par des corps creux et une table de compression (16 + 5)
- le plancher terrasse comporte en plus une isolation thermique et une forme de pente .

Escaliers

Ce bâtiment sera muni d'une cage d'escaliers les escaliers seront en béton armé avec paillasse porteuse et seront construites () indépendamment du blocs .

Caractéristiques des matériaux

1) le béton

Le béton constituant cet ouvrage sera conforme aux règles CC BA 68 et à tous les règlements en vigueur applicable en Algérie

il est dosé à 350 Kg/m³ de Cpa 325 à contrôle attenué
le sable doit être propre ; il ne doit comporter ni terre
ni matières organiques ni argiles .

- dosage pour 1 m³ de Beton :
 - " 800l de gravillons
 - " 400l de sable
 - " 350 Kg de Cpa 325
 - " 175 l d'eau .

- grosseur des granulats Cg = 5/15 mm .

2) aciérs

nous utiliserons de l'aciérs doux(ronds et tressé) et des aciers
à haute adhérence .

3) maçonnerie : en brique creux :

- murs double cloisons :- mur exterieurs 15 cm
- un vide d'air 5 cm
 - mur interieur 5 cm

4) revetements : - Carrelage .

Caractéristiques mécaniques des matériaux

1) Béton

Résistance nominale de compression à 28 j $f_{28} = 270$ bars

Résistance nominale de traction à 28 j $t_{28} = 23,2$ bars

a) Contrainte de compression admissible CC BA 68 Art(9-4)

$$f_b = f_b^{'} \quad \text{avec} \quad f_b^{'} = \alpha \beta \gamma \varepsilon .$$

α : dépend de la classe de ciment utilisé $\alpha = 1$ (CpA 325)

β : dépend de l'efficacité du contrôle $\beta = \frac{5}{6}$ (contrôle atténué)

γ : dépend des épaisseurs relatives des éléments et des dimensions des granulats Cf. voir à la fin de la page

ε : dépend de la nature de la sollicitation

$\varepsilon = 0,3$ en compression simple

$\varepsilon = 0,6$ en flexion simple

- en flexion composée

si l'effort normal est de traction :

$\varepsilon = 0,6$

si l'effort normal est de compression :

$$\varepsilon = \begin{cases} 0,3(1 + \frac{eo}{3e_1}) & \text{si } \xi < 0,6 \\ 0,6 & \text{si } \xi > 0,6 \end{cases}$$

avec ; eo : excentricité de la résultante des forces extérieures par rapport au centre de gravité du béton seul .

e_1 : distance de la limite noyau central au C.D.G de la section du béton seul dans le plan radial passant par le centre de pression .

$$\xi = \begin{cases} = 1 & \text{pour } hm > 4 C_g \\ = \frac{hm}{4C_g} & \text{si } hm < 4 C_g \end{cases}$$

(3)

.../...

avec :

h_m épaisseur mini de la pièce

C_g : grosseur d'un granulat c.a.d le diamètre minimal des trous d'une passoire susceptible de livrer passage à 90 % de ce granulat .

Quand il s'agira d'une sollicitation pondérée du 2^{eme} genre les valeurs de ξ sont multipliées par 1,5 .

: dépend de la forme de la section et la position de l'axe neutre

$$\xi = \begin{cases} \xi = 1 & \text{en compression simple} \\ 0,5 < \xi < 1 & \text{dans les autres cas} \end{cases}$$

en compression simple

$$\text{sous } sp_1 \quad \sigma'_{bo} = 1 \cdot \frac{5}{6} \cdot 1 \cdot 0,3 \cdot 1.270 = 67,5 \text{ bars} \\ = 68,8 \text{ Kg/cm}^2$$

$$\text{sous } sp_2 \quad \sigma'_{bo} = 1,5 \cdot 68,8 = 103,2 \text{ Kg/cm}^2.$$

en flexion simple

$$\text{sous } sp_1 : \quad \sigma'_b = 135 \text{ bars} = 137,6 \text{ Kg/cm}^2$$

$$\text{sous } sp_2 : \quad \sigma'_b = 1,5 \cdot 137,6 = 206,4 \text{ Kg/cm}^2$$

b) * Contrainte de traction de référence (CCBA 68 Art 95)

$$\tau_b = \alpha_B \cdot \gamma \cdot \Theta \cdot \sigma'_{28} \quad ; \quad \alpha, \beta, \gamma \text{ même que précédemment .}$$

$$\Theta = 0,018 + \frac{2,1}{\sigma'_{28}} \quad (\sigma'_{28} \text{ en bars})$$

$$\text{sous } sp_1 \quad \tau_b = 5,8 \text{ bars} = 5,9 \text{ Kg/cm}^2$$

$$\text{sous } sp_2 \quad \tau_b = 1,5 \cdot 5,9 = 8,85 \text{ Kg/cm}^2$$

c) Module de déformation du béton

1) module de déformation longitudinale

- Dans le cas des charges d'une durée d'application inférieure à 24h le module de déformation instantanée E_i est égal à :

.../...

$$E_i = 21000 \sqrt{\epsilon_j} \text{ (bars)} \quad (\text{CCBA 68 Art 9.61})$$

ϵ_j : représente la résistance du béton à j jours et exprimée en bars .

- le module de déformation longitudinale du béton sous des contraintes permanentes ou de longue durée d'application, ou module de déformation différencielle

E_v est égal à :

$$E_v = 7000 \sqrt{\epsilon_j} \text{ (bars)}$$

- lorsqu'on ne dispose que des résultats à 28 j pour la résistance des bétons; on peut admettre que ; pour les grandes valeurs de j ; on a sensiblement :

$$\epsilon_j = 1,2 \quad \epsilon_{28} \text{ pour les bétons à base de ciment classe 325 .}$$

$$\epsilon_j = 1,10 \quad \epsilon_{28} \text{ pour les bétons à base de ciment supérieur}$$

2) les Aciers

a) aciérs doux : rond lisse :

aciérs		Fe E 22	FeE 24	FeE 34
contrainte	σ_{en}	2160 bars (2200Kg/cm ²)	2350 bars (2400 Kg/cm ²)	3340 bars (3400 Kg/cm ²)
Sp1	$\sigma_a = 2/3 \sigma_{en}$	1440Kg/cm ²	1600 Kg/cm ²	2270 Kg/cm ²
Sp1	$\sigma_a = \sigma_{en}$	2200 Kg/cm ²	2400 Kg/cm ²	3400 Kg/cm ²

b) aciérs à haute adhérence

Ce sont des armatures qui ont subi un traitement mécanique leur conférant une limite d'élasticité élevée. La haute adhérence est généralement obtenue par des fentes ensaillie sur le corps de l'armature ou par torsion d'un profil circulaire ou par les deux procédés à la fois .

Les armatures à haute adhérence sont : FeE 40 A ; FeE 40 B ; FeE 45, FeE 50 généralement on utilise FeE 40 A .

FeE 40 A	$\phi \leq 20 \text{ mm}$	$\phi > 20 \text{ mm}$
σ_{en}	4120 bars = 4200 Kg/cm ²	3920 bars = 4000 Kg/cm ²
Sp ₁ : $\bar{\tau}_a$	$\frac{2}{3} \sigma_{\text{en}} = 2800 \text{ Kg/cm}^2$	2667 Kg/cm ²
Sp ₂ : $\bar{\tau}_a$	4200 Kg/cm^2	4000 Kg/cm ²

Le coefficient de fissuration désigné par γ est égal à $\gamma = 1,6$

Le coefficient de scellement désigné par $\psi_d = 1,5$.

3) Treillis soudés :

Sont des grillages en fil écrouis se croisant perpendiculairement et soudés électriquement à leur point de croisement. Leurs caractéristiques mécaniques sont :

* coefficient de fissuration : $\gamma = 1,6$

Treillis soudés	$\phi \leq 6 \text{ mm}$	$\phi > 6 \text{ mm}$
σ_{en}	5200 bars (5300 Kg/cm ²)	4420 bars (4500 Kg/cm ²)
Sp ₁ : $\bar{\tau}_a = \frac{2}{3} \sigma_{\text{en}}$	3465 bars (3533 Kg/cm ²)	2940 bars (3000 Kg/cm ²)
Sp ₂ : $\bar{\tau}_a$	5200 bars (5300 Kg/cm ²)	4410 bars (4500 Kg/cm ²)

* Condition de fissuration du béton et contrainte de traction :

La théorie de fissuration permet le calcul de répartition et l'ouverture des fissures en flexion et en traction.

On définit le pourcentage de fissuration par :

$$\tilde{w}_f (\%) = \frac{A}{B_f} \quad \text{avec} \quad A: \text{section d'acier}$$

B_f: section d'enrobage des barres tendues.

Suivant les valeurs de \tilde{w}_f , deux types de fissuration sont susceptibles de se produire

- fissuration systématique
- fissuration non systématique (accidentelle)

() - fissuration systématique: lors de la mise en traction;



l'effort transmis au béton est supérieur à son effort de rupture .

Les contraintes de traction admissibles sont données par :

$$\sigma_1 = K \cdot \frac{\gamma}{\phi} \cdot \frac{w_f}{1 + 10 w_f}$$

- fissuration non systématique (accidentelle)

Elle est dûe aux effets de retrait ; de variation de température

$$\tau_2 = 2,4 \sqrt{K - \frac{\gamma}{\phi}} \sigma_b$$

ϕ : diamètre nominal (en mm) de la plus grosse barre tendue

γ = coefficient de fissuration

$\gamma = 1$ pour les ronds lisses

$\gamma = 1,6$ pour les H.A

K : coefficient numérique dépendant des conséquences de la fissuration sur le comportement de l'ouvrage

$K = 1,5 \cdot 10^6$ fissuration peu nuisible

$K = 10^6$ fissuration préjudiciable

$K = 0,5 \cdot 10^6$ fissuration très préjudiciable .

- la contrainte de traction des aciers à considérer

$$\sigma_a = \min \left\{ \sigma_a, \max (\sigma_1, \tau_2) \right\}$$

Coefficient d'équivalence

On suppose que l'adhérence béton-acier est non rompue sous la force (F) d'où déformation acier-béton identique c.a.d $\epsilon_a = \epsilon_b$

Loi de Hooke $\frac{\sigma_a}{E_a} = \frac{\sigma_b}{E_b}$ en posant $n = \frac{E_a}{E_b} \Rightarrow$

$$\sigma_a = n \sigma_b$$



.../...

σ_a et σ_b contraintes dans l'acier et dans le beton
n : coefficient d'équivalence .

$$E_a \approx 21000 \text{ Kg/mm}^2 \quad \text{et} \quad 1000 \text{ Kg/mm}^2 \leq E_b \leq 5000 \text{ Kg/mm}^2$$

d'où n varie $4,5 \leq n \leq 21$

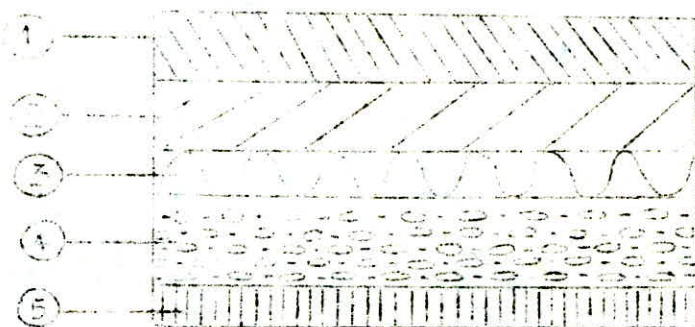
CCBA 68 fixe pour un beton moyen

$$n = 15$$

Charges et Surcharges

I) Charges permanentes

a) plancher terrasse :



(1)	Etancheité multicouches	30 Kg/m^2
(2)	Béton de pente (1 %)	198 Kg/m^2
(3)	Isolation (liege) (5cm)	10 Kg/m^2
(4)	Hourdis + Table de compression (10 + 5)	250 Kg/m^2
(5)	plâtre enduit (1cm)	17 Kg/m^2
	+	
		$G = 505 \text{ Kg/m}^2$

b) plancher niveau courant :



(1)	gravito Carrelage (1,5cm)	33 Kg/m^2
(2)	Mortier(1,5 cm) (2000 x 0,015)	30 Kg/m^2
(3)	Sable (1,5 cm) 1600 x 0,015	24 Kg/m^2
(4)	Hourdis + Table de compression	250 Kg/m^2
(5)	enduit platre (1 cm) ; (1700 x 0,01)	17 Kg/m^2
	+ cloison 75 kg /m ²	15 Kg/m^2
		$G = 429 \text{ Kg/m}^2$

⑨

.../...

II) Surcharges :

- plancher terrasse (non accessible)	$100 \times 1,2 = 120 \text{Kg/m}^2$
- plancher niveau courant	$1,2 \times 175 = 210 \text{Kg/m}^2$
- Escalier	

III) Balcons - etage courant

1 Dalle pleine 0,15 x 2500	375 Kg/m^2
2 Sable	27 Kg/m^2
3 Crepi de ciment(1,5 cm)	30 Kg/m^2
4 Carrelage (1,5 cm)	33 Kg/m^2
5 Surcharge 350 x 1,2	420 Kg/m^2
	<hr/> $G + 1,2p = 885 \text{ Kg/m}^2$

- Etage courant $G + 1,2p = 639 \text{ Kg/m}^2$

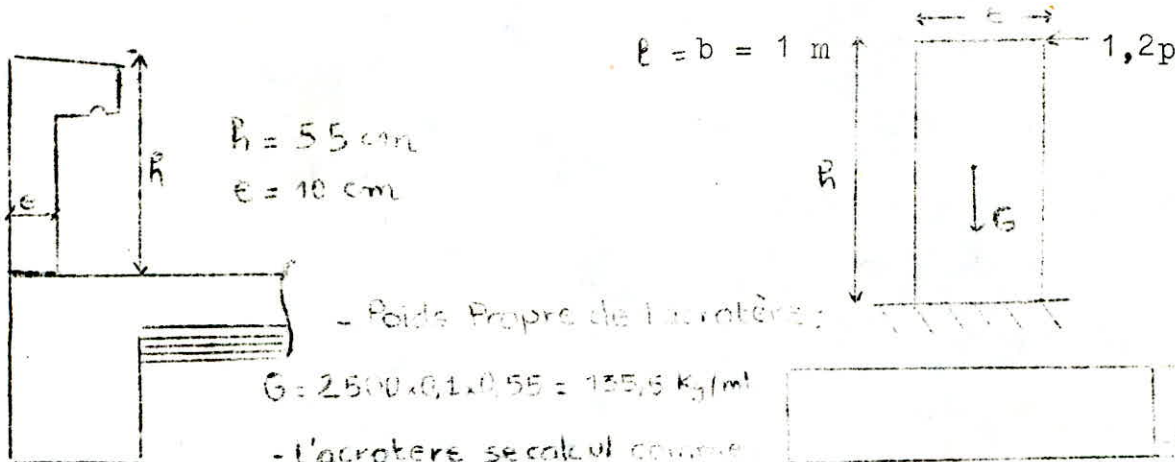
- Terrasse $G + 1,2p = 625 \text{ Kg/m}^2$

Vu que la surcharge (P) est faible par rapport à (G)

(charge permanente) On neglige les combinaisons et on prend

$$q = G + 1,2 p .$$

ACROTERE



Console encastrée au niveau du plancher ; la section dangereuse est celle d'encastrement dans laquelle agissent les efforts suivants

- effort normal : $N = G \times 1\text{m} = 135,5 \cdot 1 = 135,5 \text{ kg}$
- moment de flexion $M = 1,2 \cdot 100 \times h \cdot 1 = 120 \times 0,55 \times 1 = 66 \text{ Kg m}$
- effort tranchant $P = 1,2 \times 100 = 120 \text{ Kg}$

Le calcul de l'acrotère se fera en flexion composée

On utilisera la méthode de p. Charon .

* Excentricité

$$e_0 = \frac{M}{N} = \frac{6600}{135,5} = 48,7 \text{ cm} \Rightarrow \frac{ht}{6} = \frac{55}{6} = 9,17 \text{ cm} = e_1$$

$e_0 > e_1 \Rightarrow$ la section est partiellement comprimée .

La détermination des sections d'armatures se fera par la méthode du moment fictif (M_f) en flexion simple par rapport au C.D G des armatures tendues puis on se rapporte à la flexion composée .

Détermination des armatures (méthode p. Charon)

l'enrobage sera pris égal à 2 cm

$d = 2 \text{ cm} ;$

$h_t = 10 \text{ cm}$

$h = 8 \text{ cm}$

$$M_f = M + N \cdot f \quad \text{avec } f = \frac{ht}{2} - d = \frac{10}{2} - 2 = 3 \text{ cm}$$

(44)

.../...

$$M_f = 6600 + 135,5 \times 3 = 7006,5 \text{ Kg cm} .$$

$$\gamma = \frac{n M_f}{\sigma_a \cdot b \cdot h^2} \quad \text{avec} \quad n = 15 \\ \sigma_a = 2800 \text{ Kg/cm}^2 \\ b = 100 \text{ cm}$$

$$\gamma = \frac{15 \cdot 7006,5}{2800 \cdot 100 \cdot 8} = 0,0059 \Rightarrow \epsilon = 0,9650 \\ K = 128$$

Contrainte de compression dans le béton

$$\sigma_b = \frac{\sigma_a}{K} = \frac{2800}{128} = 21,87 \text{ Kg/cm}^2 < 137 \text{ Kg/cm}^2 = \sigma_b'$$

⇒ les armatures comprimées ne sont pas nécessaires.

Section d'armatures tendues

$$A = \frac{M_f}{\sigma_a \cdot h} = \frac{7006,5}{2800 \cdot 0,9650 \cdot 8} = \frac{135,5}{2800} = 0,276 \text{ cm}^2$$

Vérification de non fragilité

$$\text{On doit avoir } A \geq 0,69 \cdot b \cdot h \quad ; \quad \frac{\sigma_b}{\sigma_{en}} = 4200 \text{ Kg/cm}^2 \\ \sigma_b = 5,9 \text{ Kg/cm}^2$$

$A \geq 0,69 \cdot 100 \cdot 8 \cdot \frac{5,9}{4200} = 0,78 \text{ cm}^2$ or ce n'est pas vérifier
donc on adoptera un ferrailage de construction (T6) tous les 20cm

Condition de non fissuration :

$$\text{fissuration peu nuisible} \quad K = 1,5 \cdot 10^6$$

$$\text{acier haute adhérence} \quad \gamma = 1,6$$

$$\varnothing = 6 \text{ mm}$$

$$w_f = \frac{A}{B_f} = \frac{1,7}{4 \times 100} = 0,00415$$

$$\sigma_1 = K \frac{\gamma}{\varnothing} \frac{w_f}{1 + 10w_f} = 1,5 \cdot 10^6 \frac{1,6}{6} \frac{0,00425}{1+10 \times 0,00425} = 1630,65 \text{ Kg/cm}^2$$

$$\sigma_2 = 2,4 \sqrt{\frac{K_p \sigma_b}{\varnothing}} = 2,4 \sqrt{\frac{1,5 \cdot 10^6 \cdot 1,6 \cdot 5,9}{6}} = 3686,95 \text{ Kg/cm}^2$$

$$\bar{\sigma}_a = \min \begin{cases} \bar{\sigma}_a = 2300 \text{ Kg/cm}^2 \\ \bar{\sigma}_{fiss} = \max(\bar{\sigma}_1, \bar{\sigma}_2) = \bar{\sigma}_2 \end{cases} \Rightarrow \bar{\sigma}_a = \bar{\sigma}_a = 2800 \text{ Kg/cm}^2$$

Verification à l'effort tranchant

On doit avoir

$$A \bar{\sigma}_a \geq T - \frac{M}{z} \quad \text{art } 35 - 32 \text{ CCBA 68 .}$$

$$z = \frac{7}{8} h = 7 \text{ cm}$$

$$M = 6600 \text{ Kg cm}$$

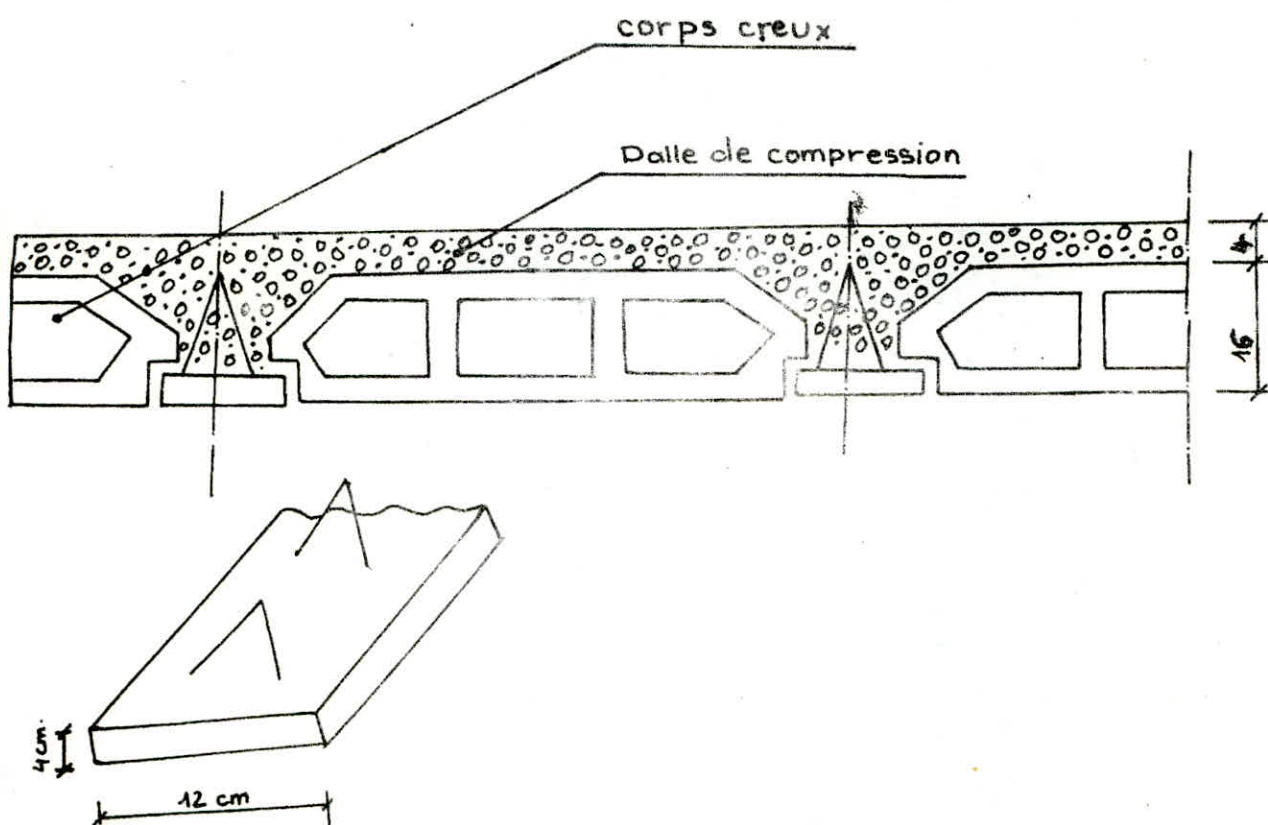
$$T = 1,2 \cdot 100 = 120 \text{ Kg .}$$

$$A \bar{\sigma}_a = 1,7 \cdot 2800 = 4760 \text{ Kg .}$$

$$T - \frac{M}{z} = 120 - \frac{6600}{7} = 822,857 \text{ Kg}$$

$A \bar{\sigma}_a > T - \frac{M}{z}$ vérifiée à l'effort tranchant .

CALCUL DES POUTRELLES



Plancher à corps creux (16+4)

Les poutrelles sont préfabriquées elles sont calculées sous les sollicitations du premier genre $G + 1,2P$

La surface revenant à chaque poutrelle est $0,65L = S$

Les poutrelles seront disposées dans le sens de la plus petite portée

Le calcul des poutrelles se fait en deux étapes :

Première étape :

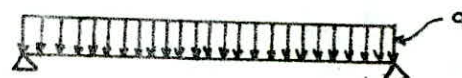
Avant le coulage du béton (Table de compression), la poutrelle est considérée comme simplement appuyée; sous l'effet de son poids propre du hourdis et de la charge due à l'ouvrier

Deuxième étape

Après le coulage et durcissement de la table de compression la poutrelle travaillera comme une poutre en "Té" et continue; reposant sur plusieurs appuis

1. Calcul des poutrelles du plancher terrasse :

Première étape



- hourdis @ table de compression : 250 Kg/ml

- Surcharge ouvrier: $(1,2 \times 100)$: 120 Kg/ml

$$q = G + 1,2 p = 370 \text{ Kg/ml}$$

Moment fléchissant : $M_o = q l^2 / 8 = \frac{370 \times 3^2}{8} = 416,25 \text{ Kg m}$

- Efforts tranchant : $T = q \frac{l}{2} = \frac{370 \times 3}{2} = 555 \text{ Kg.}$

2. Calcul des armatures:

$$\lambda = \frac{\pi M}{\sigma_a b h^2} = \frac{15 \cdot 416,25 \cdot 10^2}{2800 \cdot 12 \cdot 3^2} = 2,0647 \Rightarrow K = 2,3 \Rightarrow \sigma_b' = \frac{\sigma_a}{K}$$

$$\sigma_b' = \frac{2800}{2,3} = 1217,39 \text{ Kg/cm}^2 > \bar{\sigma}_b' = 137 \text{ Kg/cm}^2$$

$\sigma_b' > \bar{\sigma}_b'$, les armatures comprimées sont nécessaires, mais à cause de la faible hauteur de la poutrelle (4 cm) ces armatures ne pourront pas être placées, on prévoit alors des échafaudages destinés à aider les poutrelles à supporter les charges et les surcharges avant le coulage du béton.

Deuxième étape

Calcul de la poutrelle en section en "Té" continue

- Calcul de la largeur de la table de compression : (CCBA Art 23.3)

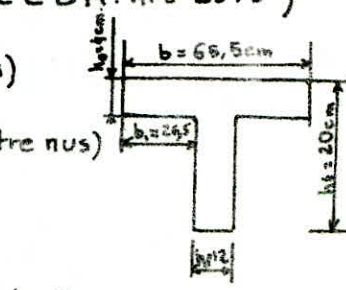
$$1. b_1 = \frac{b - b_o}{2} \leq \frac{L}{2} = \frac{53}{2} = 26,5 \text{ cm. } (L: \text{distance entre Poutrelles})$$

$$2. b_1 = \frac{b - b_o}{2} \leq \frac{L}{10} = \frac{275}{10} = 27,5 \text{ cm. } (L: \text{Portée de la poutrelle entre nus})$$

$$3. b_1 = \frac{b - b_o}{2} \leq (6 \div 8) h_o = (30 \div 40) \text{ cm.}$$

On voit que la 1^{er} condition est plus restrictive

On prendra donc : $b_1 = 26,5 \text{ cm}; b = 2b_1 + b_o = 65 \text{ cm.}$



La comparaison entre la charge q (terrasse) et q (étage courant) donne une faible différence donc on calcule une seule fois avec la charge (q_{\max})

Etude des poutrelles.

- la charge qui revient à la poutrelle

$$P = q_{\max} \times 0,65 = 639 \times 0,65 = 415,35 \text{ Kg/ml} \quad P = 415,35 \text{ Kg/ml.}$$

- Pour le calcul des poutrelles on utilise la formule des trois moments.

"CLAPEYRON"

a) Pour la poutrelle à 3 travées on fait l'étude complète

b) Pour la Poutrelle à 3 travées on se sert de coef. de "CLAP"

Hypothèse de la formule.

L'origine des coordonnées est l'appui de gauche.

- L'élasticité de la poutre continue ne peut présenter qu'une seule pente sur un appui

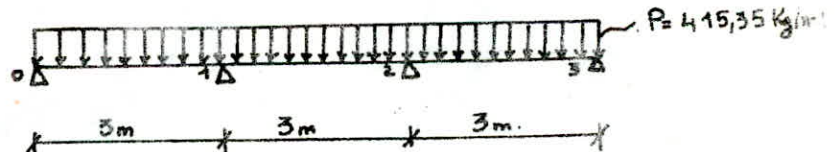
Notation

M_i : Moment fléchissant sur appui "i"

Équation de CLAPEYRON (Poutrelle à trois travées)

$$4M_0 + 16M_1 + 4M_2 + 5P\ell^2 = 0 \quad \text{avec } S = 2P; p = q \text{ dans note 10.}$$

Poutrelle à trois travées.



On tient compte de la symétrie : $16M_1 + 4M_2 + 2P\ell^2 = 0$

$$M_0 = M_3 = 0; M_1 = M_2$$



$$\boxed{M_1 = M_2 = -\frac{P\ell^2}{10}}$$

Termes additifs des efforts tranchants "dus aux moments aux appuis"

Première travée : $\frac{M_1 - M_2}{\ell} = \frac{M_1}{\ell} = -\frac{P\ell}{10}$

Deuxième travée : $\frac{M_2 - M_1}{\ell} = 0$

Efforts tranchants aux appuis

$$T_0^d = \frac{P\ell}{2} - \frac{P\ell}{10} = \frac{4}{10} P\ell$$

$$T_1^d = \frac{P\ell}{2} - 0 = \frac{P\ell}{2}$$

$$T_1^g = -\frac{P\ell}{2} - \frac{P\ell}{10} = -\frac{6}{10} P\ell$$

$$T_2^g = -\frac{P\ell}{2} - 0 = -\frac{P\ell}{2}$$

Moment en travée

$$M(x) = \int_0^x T \, dx$$

$$\text{Première travée : } M(x) = T_0^d \cdot x - P \cdot \frac{x^2}{2} = \frac{4}{10} P\ell x - \frac{P\ell^2}{2}$$

$$\text{Deuxième travée : } M(x) = T_1^d \cdot x - P \cdot \frac{x^2}{2} + M_1 = \frac{P\ell}{2} [5\ell x - 5x^2 - \ell^2]$$

$$\text{Troisième travée : Symétrique de la première : } T_2^d = \frac{6P\ell}{10}; \quad T_3^g = -\frac{4}{10} P\ell$$

Réactions aux appuis

$$R_0 = \frac{4}{10} P\ell$$

$$R_1 = \frac{P\ell}{2} + \frac{6P\ell}{10} = \frac{11}{10} P\ell$$

$$R_2 = \frac{11}{10} P\ell$$

$$R_3 = \frac{4}{10} P\ell$$

Efforts tranchant en travée

$$\text{Première travée : } T(x) = T_0^d - P \cdot x = \frac{4P\ell}{10} - P \cdot x.$$

$$\text{Deuxième travée : } T(x) = T_1^d - P \cdot x = \frac{P\ell}{2} - P \cdot x$$

$$\text{Troisième travée : } T(x) = T_2^d - P \cdot x = \frac{6}{10} P\ell - P \cdot x.$$

Moment max Pour effort tranchant nul

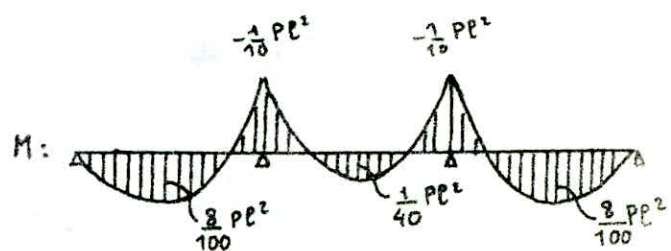
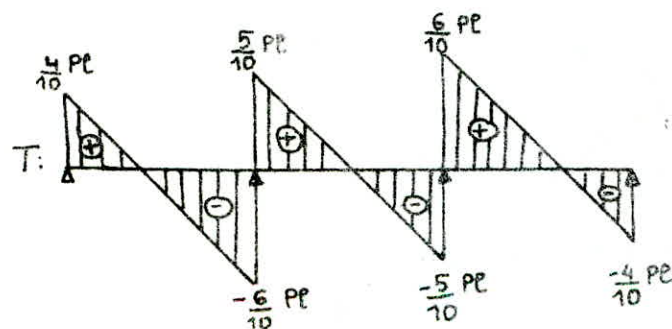
$$\text{Première travée : } T=0 \Rightarrow x_0 = \frac{4}{10} \ell \Rightarrow M_{1,\max}^{\oplus} = \frac{(T_0^d)^2}{2} = \frac{8}{100} P\ell^2$$

$$\text{Deuxième travée : } T=0 \Rightarrow x_0 = \frac{1}{2} \ell \Rightarrow M_{2,\max}^{\oplus} = \frac{P\ell^2}{40}$$

$$\text{Troisième travée : } T=0 \Rightarrow x_0 = \frac{6}{10} \ell \Rightarrow M_{3,\max}^{\oplus} = \frac{8}{100} P\ell^2 \text{ (symétrie de 1ère)}$$

Efforts	Résultats	Résultats numériques
I) Moments fléchissants		
-a) aux appuis	0	0
$M_a = M_3$	0	0
$M_{1\max}^{\oplus} = M_{3\max}^{\ominus}$	$-\frac{1}{10} \text{ P} \ell^2$	-373,8 Kg.mP
-b) en travée		
$M_{1\max}^{\oplus} = M_{3\max}^{\ominus}$	$\frac{3}{100} \text{ P} \ell^2$	299,0 Kg.mP.
$M_{2\max}^{\oplus}$	$\frac{1}{40} \text{ P} \ell^2$	93,4 Kg.mP
II) Efforts tranchants.		
-a) aux appuis		
$T_{0\max}^d = -T_3^g \max.$	$\frac{4}{10} \text{ P} \ell$	498,4 Kg
$T_1^g \max = -T_2^d \max.$	$-\frac{6}{10} \text{ P} \ell$	-747,6 Kg.
$T_1^d \max = -T_2^g \max.$	$\frac{5}{10} \text{ P} \ell$	629,0 Kg
III Reactions aux appuis		
$R_a = R_3$	$\frac{4}{10} \text{ P} \ell$	498,4 Kg
$R_1 = R_2$.	$\frac{11}{10} \text{ P} \ell$	1370,6 Kg.

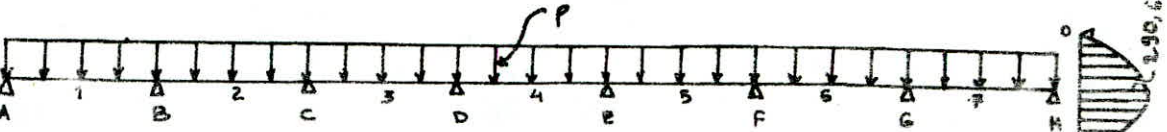
Diagrammes des efforts



Poutrelle à sept travée

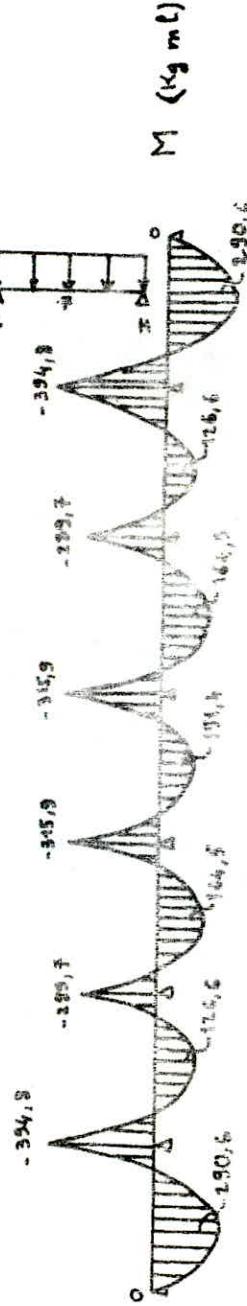
$P = 415,35 \text{ Kg/ml}$

$l = 3 \text{ m}$



Schema de sollicitation

Facteur de charge	coef de CLAPPEYRON	Moment d'appui			Moment de travée [max]			Réactions d'appui				Efforts tranchants aux appuis							
		M_B	M_C	M_D	M_0	M_1	M_2	M_3	M_4	A	B	C	D	T_A	$T_{B_1}^g$	$T_{C_1}^g$	$T_{D_1}^g$	$T_{B_2}^d$	$T_{C_2}^d$
		-0,845	-0,620	-0,676	0,622	0,271	0,352	0,324	0,384	0,134	0,365	1,007	0,394	0,606	0,472	0,507	0,528	0,493	0,500
		$M_0 = \frac{1}{8} P l^2$																	
		$M_0 = 467,26 \text{ Kgf}$																	
Valeur des efforts(Kg)																			
-354,8		-354,8	-289,7	-315,9	250,6	426,6	464,5	451,6	490,9	444,0	4202,4	1254,9	490,9	755,4	588,1	631,7	657,9	614,3	623,0



19

Caractéristiques géométriques

$$b_0 = 12 \text{ cm}$$

$$h_0 = 5 \text{ cm}$$

$$b_1 = \min \left\{ \begin{array}{l} \frac{b_0}{2} = \frac{53}{2} = 26,5 \text{ cm} \\ \frac{L}{10} = \frac{300}{10} = 30 \text{ cm} \end{array} \Rightarrow b_1 = 26,5 \text{ cm} \right.$$

$$(6,8) h_0 = (30 \div 40) \text{ cm}$$

$$\Rightarrow b = 2b_1 + b_0 = 65 \text{ cm}$$

$$h = \frac{1}{22,5} l = 13,5 \text{ cm} \Rightarrow h_t = 20 \text{ cm} = (16 + 4) \text{ cm}$$

On prend $d = 2 \text{ cm}$ (enrobage)

I) Calcul des armatures longitudinales

a) Aux appuis : La section est rectangulaire $\rightarrow b_0 \times h_t$

a) Poutrelle à sept travées

$$|M_B| = 394,3 \text{ Kg.m}^2$$

$$M_B = \frac{15 M_B}{\sigma_a \cdot I_{h^2}} = \frac{25 \cdot 0,3943 \cdot 10^5}{2800 \cdot 12 \cdot 15^2} = 0,0732$$

$$\left\{ \begin{array}{l} \alpha = 0,3409 \\ K = 29 \\ E = 0,8864 \end{array} \right.$$

$$M_C = M_D = \frac{15 \cdot 0,3159 \cdot 10^5}{2800 \cdot 12 \cdot 15^2} = 0,07627$$

$$\left\{ \begin{array}{l} \alpha = 0,3106 \\ K = 33,3 \\ E = 0,8965 \end{array} \right.$$

$$A_{\min} = (1,3\%) B_f = (0,3\%) \cdot 12 \cdot 4 = 0,78 \text{ cm}^2$$

$$A_B = \frac{M_B}{\sigma_a E} = \frac{0,3943 \cdot 10^5}{2800 \cdot 0,8864 \cdot 15} = 1,06 \text{ cm}^2 > A_{\min}$$

On prend $A_B = 1,5 \text{ cm}^2 \rightarrow 3 T_8$

$$A_c \approx A_D = \frac{0,3159 \cdot 10^5}{2800 \cdot 15 \cdot 0,8965} = 0,84 \text{ cm}^2 > A_{\min}$$

On prend

$$A_c \approx A_D = 1,5 \text{ cm}^2 \rightarrow 3 T_8$$

$$\sigma_b' = \frac{280}{29} = 96,5 \text{ Kg/cm}^2 < 137 \text{ Kg/cm}^2 \Rightarrow \text{Pas d'acières comprimés}$$

b) Poutrelles à trois travées

$$M_1 = M_2 : \frac{15 \cdot 0,3738 \cdot 10^5}{2800 \cdot 12 \cdot 15^2} = 0,074 \rightarrow (\alpha = 0,3333 ; K = 30 ; E = 0,8889)$$

$$\sigma_b' = \frac{280}{30} = 93,3 \text{ Kg/cm}^2 < 137 \text{ Kg/cm}^2$$

Les aciers comprimés ne sont pas nécessaires

$$A_{\text{min}} = \frac{0,3738 \cdot 10^5}{2800 \cdot 15 \cdot 0,9889} = 1 \text{ cm}^2 > A_{\text{min}} \quad \text{On prend } 3T_8 : A = 1,5 \text{ cm}^2$$

2) En travée

a) Poutrelles à sept travées

Première travée

$$M_1 = 0,2906 \text{ Kg} \cdot \text{cm} (10^5)$$

$$M_1 = \frac{15 \cdot 0,2906 \cdot 10^5}{2800 \cdot 65 \cdot 15^2} = 0,0106 \rightarrow (\alpha = 0,1382; K = 93,5; E = 0,9539) \\ A_{\text{min}} = 0,78 \text{ cm}^2$$

$$y = \alpha h = 0,1382 \cdot 15 = 2,07 \text{ cm} < h_0 \Rightarrow \text{Section rectangulaire } b \cdot h_t$$

car l'axe neutre tombe dans la table de compression

$$\bar{\sigma}_b' = \frac{2800}{93,5} = 29,9 \text{ Kg/cm}^2 < \bar{\sigma}_b' = 137 \text{ Kg/cm}^2$$

donc les aciers comprimés ne sont pas nécessaires

$$A = \frac{M_1}{\bar{\sigma}_a E h} = \frac{0,2906 \cdot 10^5}{2800 \cdot 0,9539 \cdot 15} = 0,72 \text{ cm}^2 ; \text{ On prends } 3T_8 = 1,5 \text{ cm}^2$$

Deuxième travée

$$M_2 = 0,1266 \cdot 10^5 \text{ Kg} \cdot \text{cm}$$

$$M_2 = \frac{15 \cdot 0,1266 \cdot 10^5}{2800 \cdot 15 \cdot 65} = 0,0046 \rightarrow (\alpha = 0,0931; K = 146; E = 0,9690)$$

$$y = \alpha h = 0,0931 \times 15 = 1,39 \text{ cm} < h_0 = 5 \text{ cm} \Rightarrow \text{section rectangulaire } b \times h_t$$

$$\bar{\sigma}_b' = \frac{2800}{146} = 19,18 \text{ Kg/cm}^2 < \bar{\sigma}_b' = 137 \text{ Kg/cm}^2$$

Les aciers comprimés ne sont pas nécessaires

$$A = \frac{0,1266 \cdot 10^5}{2800 \cdot 0,9690 \cdot 15} = 0,31 \text{ cm}^2 \quad \text{On adoptera } 3T_8 = 1,5 \text{ cm}^2$$

Troisième et quatrième travée

$$M = 0,1645 \text{ Kg} \cdot \text{cm}$$

$$M = \frac{15 \cdot 0,1645 \cdot 10^5}{2800 \cdot 65 \cdot 15^2} \approx 0,0059 \rightarrow (\alpha = 0,1049; K = 128; E = 0,9650)$$

$$y = \alpha h = 0,1049 \times 15 = 1,57 \text{ cm} < h_0 = 5 \text{ cm} \Rightarrow \text{section rectangulaire } b \times h_t$$

$$\bar{\sigma}_b' = \frac{2800}{128} = 21,87 \text{ Kg/cm}^2 < \bar{\sigma}_b' = 137 \text{ Kg/cm}^2 \Rightarrow \text{Pas d'acières comprimés}$$

$$A = \frac{M}{\bar{\sigma}_a E h} = \frac{0,1645}{2800 \cdot 0,9650 \cdot 15} = 0,406 \text{ cm}^2$$

On prendra comme section d'acier $1,5 \text{ cm}^2 \rightarrow 3T_8$

b) Poutrelles à trois travée

Première et troisième travée

$$M = 0,299 \cdot 10^5 \text{ Kg.cm}$$

$$\alpha = \frac{15 \times 0,299 \cdot 10^5}{2800 \times 65 \times 15^2} = 0,0195 \rightarrow (\alpha = 0,1840 ; K = 66,5 ; E = 0,9387)$$

$$y = \alpha h = 0,1840 \times 15 = 2,75 \text{ cm} < h_0 = 5 \text{ cm} \Rightarrow \text{Section rectangulaire } b \times h_t$$

$$\sigma_b' = \frac{2800}{66,5} = 42,1 \text{ Kg/cm}^2 < \bar{\sigma}_b' \Rightarrow \text{les aciers comprimés ne sont pas nécessaires}$$

$$A = \frac{M}{\bar{\sigma}_a E h} = \frac{0,299 \cdot 10^5}{2800 \times 0,9387 \times 15} = 0,76 \text{ cm}^2 \rightarrow \text{On prend } 3T_8 = 1,5 \text{ cm}^2$$

Deuxième travée

$$M = 93,4 \text{ Kg.m}$$

$$\alpha = \frac{15 \times 0,0934 \cdot 10^5}{2800 \times 65 \times 15^2} = 0,0034 \rightarrow (\alpha = 0,0802 ; K = 172 ; E = 0,9733)$$

$$y = \alpha h = 0,0802 \times 15 = 1,203 \text{ cm} < h_0 = 5 \text{ cm} \Rightarrow \text{section rectangulaire}$$

$$\sigma_b' = \frac{2800}{172} = 16,28 < \bar{\sigma}_b' \Rightarrow \text{Les aciers comprimés ne sont pas nécessaires}$$

$$A = \frac{M}{\bar{\sigma}_a E h} = \frac{0,0934 \cdot 10^5}{2800 \cdot 0,9733 \cdot 15} = 0,23 \text{ cm}^2 \rightarrow \text{On prend } 3T_8 = 1,5 \text{ cm}^2$$

Vérification des contraintes.

En travée

$$\sigma_a = \frac{0,2996 \cdot 10^5}{1,5 \cdot 0,9539 \cdot 15} = \frac{M}{A \cdot h \cdot E} = 1395,9 \text{ Kg/cm}^2 < \bar{\sigma}_a = 2800 \text{ Kg/cm}^2$$

Aux Appuis

$$\sigma_a = \frac{M}{A \cdot h \cdot E} = \frac{0,3948 \cdot 10^5}{1,5 \cdot 0,8864 \cdot 15} = 1979 \text{ Kg/cm}^2 < \bar{\sigma}_a = 2800 \text{ Kg/cm}^2$$

Vérification de la flèche (CCBA Art 58 - 58.4)

$$\frac{h_t}{l} \geq \frac{1}{22,5} \quad \text{soit} \quad \frac{17}{300} = 0,0566 > 0,044 \quad \text{Vérifiée}$$

$$\frac{h_t}{l} \geq \frac{1}{15} \cdot \frac{M_t}{M_o} = \frac{1}{15} \cdot \frac{0,3948 \cdot 10^5}{0,46726 \cdot 10^5} \Rightarrow 0,056 = 0,056 \quad \text{Vérifiée}$$

$$\frac{A}{b_0 \cdot h} \leq \frac{36}{4200} \quad \text{soit} \quad \frac{1,5}{12 \cdot 15} = 0,0083 \leq 0,00857 \quad \text{Vérifiée}$$

Condition de non fragilité

$$A \geq b_0 h \quad \Psi_d \frac{\bar{\sigma}_b}{\bar{\sigma}_a} \left(\frac{h_t}{h} \right)^2 = 12 \cdot 15 \cdot 0,54 \cdot \frac{5,9}{2800} \left(\frac{17}{15} \right)^2 = 0,263 \text{ cm}^2$$

c'est vérifiée en travée et en appui

Condition de non entraînement des barres

Contrainte d'adhérence

$$\bar{\sigma}_d = \frac{T_{\max}}{P \cdot z} = \frac{755,1}{\pi \cdot 0,8 \cdot \frac{7}{8} \cdot 15} = 7,634 \text{ Kg/cm}^2 \Rightarrow \bar{\sigma}_d < \bar{\sigma}_a \quad \text{c'est vérifié}$$

$$\bar{\sigma}_a = 2 \Psi_d \bar{\sigma}_b = 2 \cdot 1,5 \cdot 5,9 = 17,70 \text{ Kg/cm}^2$$

$$\Psi_d = 1,5 \text{ H.A. (coeff. de scellement)}$$

Armatures transversales

$$\text{On a } \bar{\sigma}_b' = 84,08 \text{ Kg/cm}^2 < \bar{\sigma}_b' = 69 \text{ Kg/cm}^2 \Rightarrow \bar{\sigma}_b \leq 3,5 \bar{\sigma}_b$$

$$\bar{\sigma}_b = \frac{T_{\max}}{b_0 z} = \frac{755,1}{12 \cdot \frac{7}{8} \cdot 15} = 4,79 \text{ Kg/cm}^2$$

$$3,5 \bar{\sigma}_b = 3,5 \cdot 5,9 = 20,65 \text{ Kg/cm}^2$$

$$\bar{\sigma}_b < 3,5 \bar{\sigma}_b \quad \text{Vérifié} \quad \text{On prend un cadre } \phi_8 (\text{FeE24})$$

Conditions aux appuis de rives M=0

$$A \geq \frac{T_{\max} + \frac{M}{z}}{\bar{\sigma}_a} = \frac{755,1}{2800} = 0,269 \quad \text{Vérifiée}$$

Contrainte de traction admissible des armatures transversales:

$$\rho_a = 1 - \frac{\bar{\sigma}_b}{9 \bar{\sigma}_b} = 1 - \frac{4,79}{9 \cdot 5,9} = 0,909 > \frac{2}{3} = 0,66$$

$$\Rightarrow \bar{\sigma}_{at} = \rho_a \bar{\sigma}_{en} = 0,909 \cdot 2400 = 2181,6 \text{ Kg/cm}^2$$

Ecartement admissible

$$\bar{t} = \max \left(0,2 h = 3 \text{ cm} \text{ et } h \left(1 - \frac{0,3 \bar{\sigma}_b}{\bar{\sigma}_b} \right) = 11,3 \text{ cm} \right)$$

$$t = \frac{A_t \times \bar{\sigma}_{at} \cdot z}{T} = \frac{0,5 \cdot 2181,6 \cdot \frac{7}{8} \cdot 15}{755,1} = 18,96 \text{ cm.}$$

On prend $t = 10 \text{ cm.}$

Le premier cours se trouve à une distance $\frac{t}{2} = 5 \text{ cm.}$

Vérification à la fissuration du béton

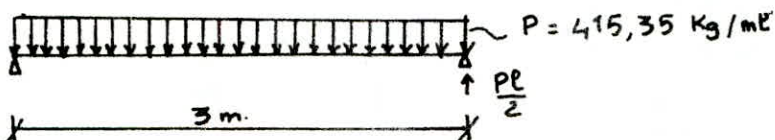
$$\tilde{w}_f = \frac{A}{B_f} = \frac{1,5}{12 \times 4} = 0,03$$

$$\sigma_1 = \frac{K \eta \tilde{w}_f}{\phi(1+10\tilde{w}_f)} = \frac{1,5 \cdot 10^6 \cdot 1,6 \cdot 0,03}{0,8 (1+0,3)} = 0,06923 \cdot 10^6 \text{ Kg/cm}^2$$

$$\sigma_2 = 2,4 \left(\frac{\eta K \bar{\sigma}_b (\text{bars})}{\phi} \right)^{1/2} = 2,4 \left(\frac{1,5 \cdot 10^6 \cdot 1,6 \cdot 5,8}{0,8} \right)^{1/2} = 10037,12 \text{ kg/cm}^2$$

$$\bar{\sigma}_c = 2800 \text{ kg/cm}^2 < \max \{ \sigma_1, \sigma_2 \}$$

Poutrelle à une seule travée



Moment max à $\ell/2$

$$M_{\text{max}} = \frac{P\ell^2}{8} = \frac{415,35 \cdot 9}{8} = 467,27 \text{ kg.m}.$$

Efforts tranchants aux appuis

$$T = \frac{Pe}{2} = 415,35 \cdot \frac{3}{2} = 623,02 \text{ kg}$$

Calcul des armatures longitudinales

$$y = \frac{15M}{\bar{\sigma}_a h^2 b} = \frac{15 \cdot 0,46727 \cdot 10^5}{2800 \cdot 12 \cdot 15^2} = 0,032712 \approx 0,0932$$

$\rightarrow (K = 25,9 ; \alpha = 0,3668 ; E = 0,8777)$

$$A = \frac{M}{\bar{\sigma}_a E h} = \frac{0,46727 \cdot 10^5}{2800 \times 0,8777 \cdot 15} = 1,27 \text{ cm}^2 > A_{\text{min}}$$

$$\sigma'_b = \frac{2800}{25,1} = 108 \text{ kg/cm}^2 < 137 \text{ kg/cm}^2 \Rightarrow \text{les aciers comprimés ne sont pas nécessaires}$$

On prend $A = 1,5 \text{ cm}^2 \rightarrow 3 T_g$.

Verification des contraintes

$$\sigma_a = \frac{M}{A \cdot E h} = \frac{0,4672 \cdot 10^5}{1,5 \cdot 15 \cdot 0,8777} = 2366 \text{ Kg/cm}^2 < \sigma_a = 2800 \text{ Kg/cm}^2$$

Les conditions suivantes sont vérifiées :

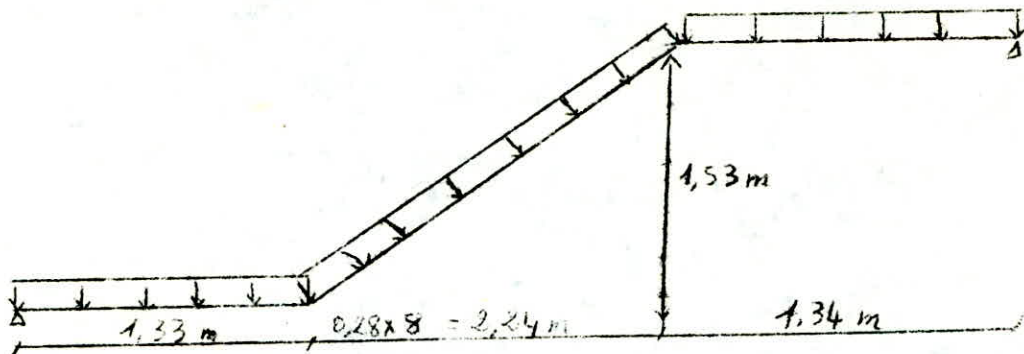
- Vérification de la flèche
- Condition de non fragilité
- Condition de non entraînement des barres.

Armatures transversales.

Même calcul que précédemment :

On prend un cadre \varnothing_8 (Fe E 24) tous les 10cm.

ESCALIERS



Largeur de la marche $g = 28 \text{ cm}$

hauteur de la contre marche $h = 17 \text{ cm}$.

$$\operatorname{tg} \alpha = \frac{h}{g} = \frac{17}{28} \Rightarrow \alpha = 31,25^\circ \Rightarrow \cos \alpha = 0,85$$

Conditions de Blonde

$$\left\{ \begin{array}{l} g > h \\ (59 \leq 2h + g \leq 64) \text{ cm} \end{array} \right. \text{ verifies.}$$

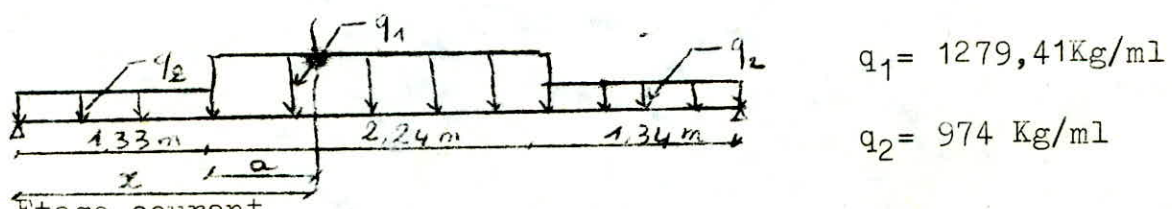
Predimensionnement des paliers et paillasses.

$$l = 1,33 + 2,24 + 1,34 = 4,91 \text{ m}$$

$$\frac{1}{30} \leq e \leq \frac{1}{20} \Rightarrow (16,37 \leq e \leq 24,55) \text{ cm} \Rightarrow e = 18 \text{ cm}$$

Les marches seront considérées comme des charges uniformément reparties sur la paillasse.

Charge et surcharge : le calcul se fera par mètre d'emmarchement et par mètre de projection horizontale.



Etage courant

* paillasse

- poids propre

$$\frac{0,18 \times 2500}{0,85} = 529,41 \text{ Kg/ml}$$

- poids des marches	$\frac{2200 \times 0,17 \times 1 \times 0,28}{2 \times 0,28} =$	187 Kg/ml
- enduit ciment (1,5 cm)	$2000 \times 0,015 =$	30 Kg/ml
- granito (carrelage) (1,5 cm)		33 Kg/ml
- enduit plâtre (1 cm)		20 Kg/ml .
- surcharges majorées 1,2p = 1,2 x 400 =		480 Kg/ml

$$q_1 = 1279,41 \text{ Kg/ml}$$

palier

- poids propre	$2500 \times 0,16 \times 1 =$	400 Kg/ml
- granito (1,5 cm)		33 Kg/ml
- sable (1,5 cm)		24 Kg/ml
- mortier (1 cm)		20 Kg/ml
- enduit plâtre (1 cm)		17 Kg/ml
surcharges majorées 1,2p = 1,2 x 400		480 Kg/ml

$$q_2 = 974 \text{ Kg/ml}$$

3 Calcul des réactions

$$\sum m/B = 0$$

$$R_A = 2733,93 \text{ Kg/ml}$$

$$\sum Y_i = 0$$

$$R_B = 2732,53 \text{ Kg/ml}$$

Calcul des moments maximum

$$T = 0 \Rightarrow M = M_{\max}$$

$$a = 1,13 \text{ m} < a + 2,24 \text{ m}$$

$$T = R_A - q_2 \cdot a - q_1 (x - a) \Rightarrow x = \frac{R_A - q_2 a}{q_1} + a$$

$$x = 2,45 \text{ m}$$

$$M = R_A x - q_2 a (x - \frac{a}{2}) - q_1 (\frac{x-a}{2})^2$$

$$M_{max} = 2795,93 \cdot 2,45 - 974,1,53(2,45 - 1,33) - \frac{1279,41(2,45 - 1,33)^2}{2}$$

$$M_{max} = 3583,36 \text{ Kg/ml}$$

On prend le moment sur appuis
pour metre des Barres constructives

$$M_{ap} = 716,67 \text{ Kg ml}$$

$$M_{ap} = 0,2 M_{max}$$

* le calcul du ferrailage se fera par la méthode.

P. Charon.

en travée

$$M = 3583,36 \text{ Kg/ml}$$

$$d = 2 \text{ cm}$$

$$h_t = 18 \text{ cm}$$

$$h = 16 \text{ cm}$$

$$\mu = \frac{nM}{\sigma_a \cdot bh^2} = \frac{15 \cdot 3583,36 \cdot 10^2}{2800 \cdot 100 \cdot 16^2} = 0,0749$$

$$K = 29,8$$

$$\epsilon = 0,8884$$

$$\sigma_b' = \frac{2800}{29,8} = 9396 \text{ Kg/cm}^2 < \sigma_b' = 137 \text{ Kg/cm}^2$$

⇒ les armatures comprimées ne sont pas nécessaires.

$$A = \frac{M}{\sigma \cdot h} = \frac{3583,36 \cdot 10^2}{2800 \cdot 0,8884 \cdot 16} = 9 \text{ cm}^2$$

On prend 6 T14 = 9,23 cm².

au appuis

$$\mu = \frac{15 \cdot 716,67 \cdot 10^2}{2800 \cdot 100 \cdot 16^2} = 0,01499 = 0,0150 \quad K = 77$$

$$\epsilon = 0,9457$$

$$\sigma_b' = \frac{2800}{77} = 36,36 \text{ Kg/cm}^2 < \sigma_b' \Rightarrow \text{les armatures}$$

283

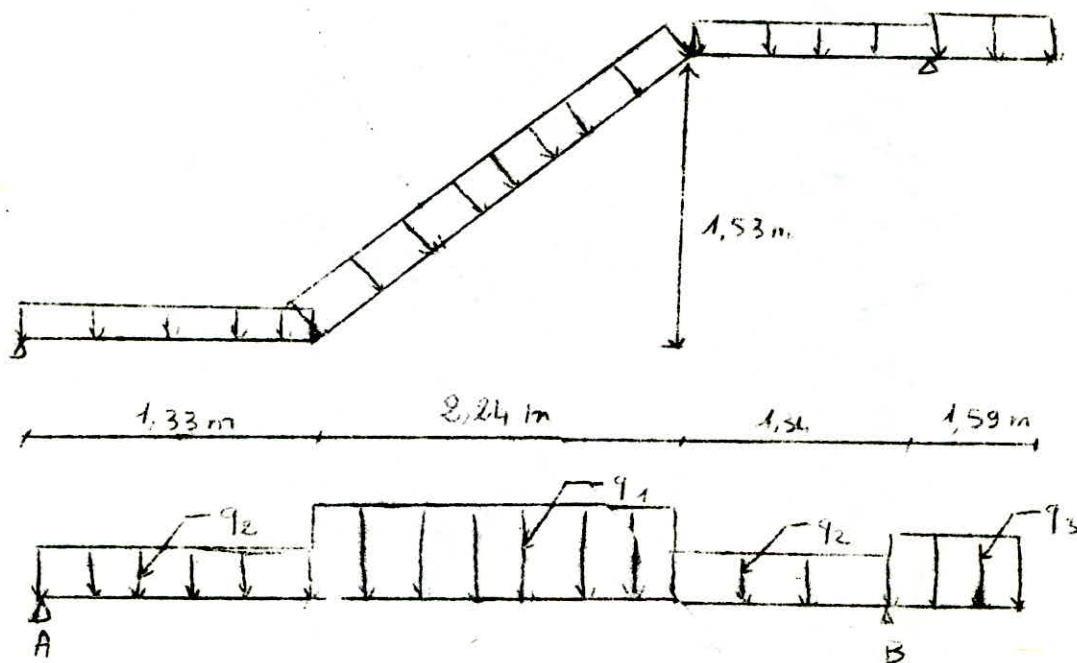
.../...

comprimées ne sont pas nécessaires.

$$A = \frac{716,67 \cdot 10^2}{2800 \cdot 0,9457 \cdot 16} = 1,69 \text{ cm}^2$$

On adoptera 6 t38/ml . (3,01 cm²)

entre R.C et 1^{er} etage



Calcul de q₃

Consol

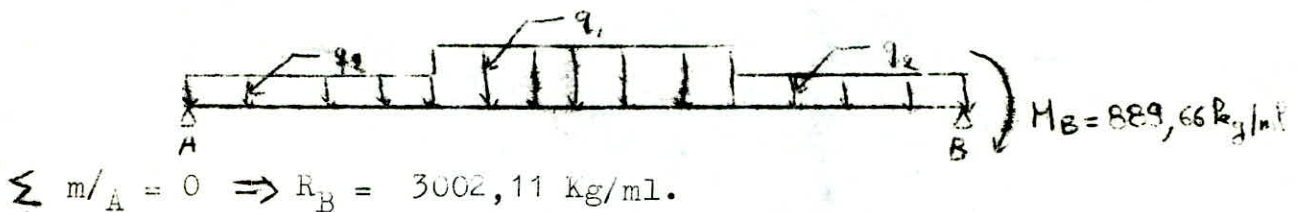
- poids propre .	549,41	Kg/ml
- enduit ciment (1,5 cm)	30	Kg/ml
- enduit plâtre(1,5 cm)	20	Kg/ml
- surcharge majorée 1,2p = 1,2x100 =	120	Kg/ml

$$q_3 = 699,41 \text{ Kg/ml}$$

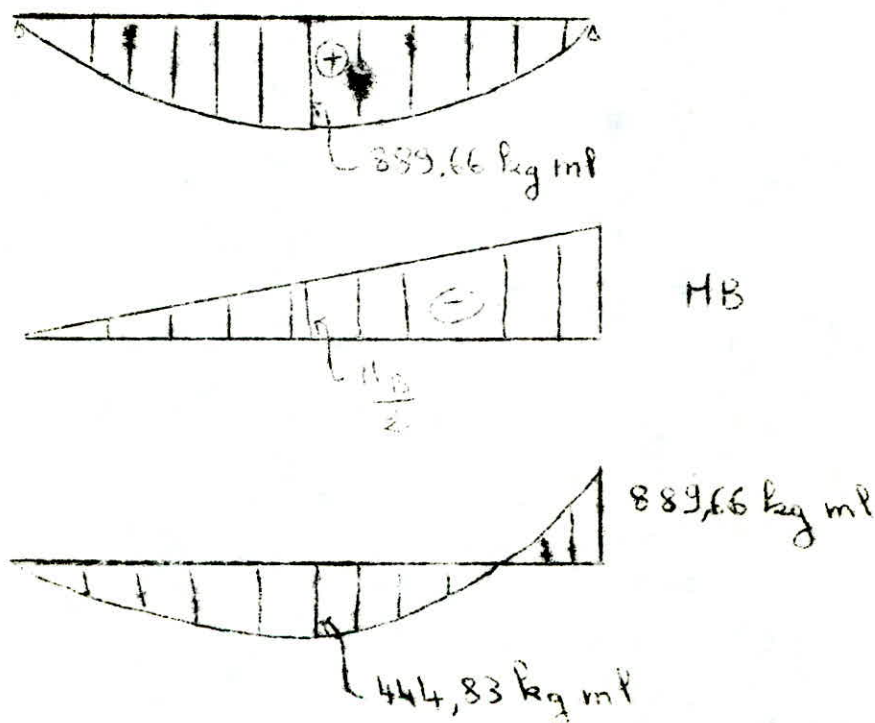
$$M_B = \frac{q_3 l^2}{2} = \frac{699,41 \times 1,595^2}{2} = 889,66 \text{ Kg ml}$$

.../...

la poutre devient



Diagrammes des moments.



en travée

$$\mu = \frac{nM}{\bar{\sigma} a b h^2} = \frac{15 \cdot 444,83 \cdot 10^2}{2800 \cdot 100 \cdot 16^2} = 0,0093 \Rightarrow K = 100$$

$$\varepsilon = 0,9565$$

$$\bar{\sigma}' b = \frac{2800}{100} = 28 \text{ Kg/cm}^2 < \bar{\sigma}' b = 137 \text{ Kg/cm}^2 .$$

les armatures comprimées ne sont pas nécessaires.

$$A = \frac{444,83 \cdot 10^2}{2800 \cdot 0,9565 \cdot 16} = 1,038 \text{ cm}^2$$

On adoptera 6 T8 - (9,01 cm²)

Sur appuis

$$M = 889,66 \text{ Kg ml}.$$

$$\frac{\omega}{\sigma} = \frac{15 \cdot 889,66 \cdot 10^2}{2800 \cdot 100 \cdot 16^2} = 0,0166 \Rightarrow$$

$$K = 68$$

$$\xi = 0,9398$$

$$\frac{\sigma_b}{\sigma} = \frac{2800}{68} = 41,17 \text{ Kg/cm}^2 < 137 \text{ Kg/cm}^2 \Rightarrow$$

les armatures comprimées ne sont pas nécessaires.

$$A = \frac{889,66 \cdot 10^2}{2800 \cdot 0,9398 \cdot 16} = 2,11 \text{ cm}^2$$

On adoptera 6 T8 . (3,01 cm²)

1°) Verification des contraintes

$$A = 9,23 \text{ cm}^2 \quad M = 3583,36 \text{ Kg/ml}$$

en travée

$$\tilde{\omega} = \frac{100 \cdot A}{b \cdot h} = \frac{100 \cdot 9,23}{100 \cdot 16} = 0,577 \Rightarrow \xi = 0,8877$$

$$K = 29,3$$

$$\sigma_a = \frac{M}{A \cdot h} = \frac{3583,36 \cdot 10^2}{9,23 \cdot 0,9398 \cdot 16} = 2735,2 \text{ Kg/cm}^2 < 2800 \text{ Kg/cm}^2$$

Verifiée

aux appuis

$$A = 3,01 \text{ cm}^2 \quad M = 889,66 \text{ Kg ml}$$

$$\hat{\omega} = \frac{100 \cdot 3,01}{100 \cdot 16} = 0,188 \Rightarrow K = 56$$

$$\xi = 0,9296$$

$$\sigma_a = \frac{889,66 \cdot 10^2}{3,01 \cdot 0,9296 \cdot 16} = 1987,2 \text{ Kg/cm}^2 < 2800 \text{ Kg/cm}^2$$

Verifiée

2°) condition de non fragilité

$$A \geq 0,05 \cdot b \cdot h \cdot \frac{\sigma_b}{\sigma} = 0,69 \cdot 100 \cdot 16 \cdot \frac{5,9}{4200} = 1,55 \text{ cm}^2$$

$A > 1,55 \text{ cm}^2$ Verifiée à l'appuis et en travée

3°) condition de flèche : (art . 61-21 CCBA 68)

$$\frac{A}{b \cdot h} = \frac{9,23}{100 \cdot 16} = 0,00577 < \frac{43}{4120(\text{bars})} = 0,0104 \quad \text{Verifiée}$$

4°) Aciers transversaux

Contrainte de cisaillement maximale :

$$Z_b = \frac{T_{\max}}{b \cdot z} = \frac{2733,93}{100 \cdot \frac{7}{8} \cdot 16} = 1,953 \cdot \text{Kg/cm}^2$$

$$Z_b = 1,953 \text{ Kg/cm}^2 < 1,15 \bar{\sigma}_b = 6,78 \text{ Kg/cm}^2$$

les armatures transversales ne sont pas nécessaires
mais nous disposerons des aciers transversaux constructifs .

5°) Verification à l'effort tranchant

$$T + \frac{M}{z} = 2733,93 + \frac{889,66}{7/8 \cdot 16} = 2797,4 \cdot 7 \text{ kg} \quad \bar{\sigma}_a = 8428 \text{ Kg}$$

6°) Verification à la fissuration

$$\bar{\sigma}_1 = \frac{K_n w_f}{\phi (1 + 10 w_f)} \quad K = 1,5 \cdot 10^6$$

$$n = 1,6$$

$$\phi = 14 \text{ mm} .$$

$$w_f = \frac{A}{B_f} = \frac{9,23}{100 \times 4} = 0,023 .$$

$$\bar{\sigma}_1 = \frac{1,5 \cdot 10^6 \cdot 1,6}{14} \cdot \frac{0,023}{(1 + 0,23)} = 3205,57 \text{ Kg/cm}^2$$

$$\bar{\sigma}_2 = 2,4 \sqrt{\frac{K \cdot n \bar{\sigma}_b}{\phi}} = 2,4 \sqrt{\frac{1,5 \cdot 10^6 \cdot 1,6 \cdot 5,9}{14}} = 2413,6 \text{ Kg/cm}^2$$

$$\bar{\sigma}_a = 2800 \text{ Kg/cm}^2 < \max (\bar{\sigma}_1, \bar{\sigma}_2) \quad \text{Verifiée} .$$

$$\Rightarrow \sigma_a = \bar{\sigma}_a$$

Etude des planchers Dalles

On se donne une hauteur de dalle de 15cm ; $h = 15 \text{ cm}$

On calcul la dalle sous $S = G + 1,2 p$

Calcul de G : (pour la loge)

- poids propre $2500 \times 0,15 = 375 \text{ Kg/m}^2$

- Granito (2cm) $2200 \times 0,02 = 44 \text{ Kg/m}^2$

- Mortier (1 cm) $2200 \times 0,01 = 22 \text{ Kg/m}^2$

- Sable (2 cm) $1700 \times 0,02 = 34 \text{ Kg/m}^2$

- enduit plâtre (1 cm) $1700 \times 0,01 = 17 \text{ Kg/m}^2$

$$G = 492$$

Surcharge majorée $1,2p = 1,2 \times 175 = 210 \text{ Kg/m}^2$

pour un mètre de dalle on aura $q = 702 \text{ Kg/ml}$

Calcul du rapport β et des moments M_x et M_y

Dalle 1 (la loge))

$$l_x = 1,54 \text{ m} ; l_y = 2,75 \text{ m}$$

$\beta = \frac{l_x}{l_y} = 0,55 > 0,4$ la dalle porte dans les deux sens
elle sera armée dans les 2 directions d'après CCBA 68 on détermine les moments fléchissants au centre du panneau par bande de largeur unité

$$M_{ox} = \beta x q l_x^2$$

$$M_{oy} = \beta y M_{ox}$$

q = charge uniformément répartie par unité d'aire et couvrant entièrement le panneau

M_x , M_y données en fonction du $\beta = \frac{l_x}{l_y}$

$$M_x = 0,0901$$

$$M_y = 0,3886$$

$$M_{ox} = 0,0901 \cdot 702 \cdot (1,54)^2 = 150 \text{ Kgm/ml}$$

$$M_{oy} = 0,3886 \cdot 97,40 = 58,29 \text{ Kgm/ml}$$

$$\left. \begin{array}{l} M_{tx} = 0,85 \text{ Mox} = 0,85 \cdot 150 = 127,5 \text{ Kg m/ml} \\ M_{ty} = 0,85 \text{ Moy} = 0,85 \cdot 58,29 = 49,55 \text{ Kg m/ml} \\ \text{Max} = 0,3 \text{ Mox} = 0,3 \cdot 150 = 45,00 \text{ Kg m/ml} \\ \text{May} = 0,3 \text{ May} = 0,3 \cdot 58,29 = 17,49 \text{ Kg m/ml} \end{array} \right\}$$

Effort tranchant :

L'effort tranchant arrivant sur chacun des côtes est uniformes a pour valeur :

$$T_x = q \frac{l_x}{2} \frac{\frac{4}{4}}{l_y + l_x} \quad T_y = q \frac{l_y}{2} \frac{\frac{4}{4}}{l_x + l_y}$$

$$\text{On trouve : } T_x = 492,14 \text{ Kg} \quad T_y = 86,4 \text{ Kg} .$$

Moment isostatique

$$M_o = q \frac{l^2}{8} = 702 \frac{2,75^2}{8} = 663,6 \text{ Kg m}$$

* Determinons le moment maximal susceptible d'être équilibré par cette dalle sans armaturer comprimées et pour laquelle les contraintes admissibles pour le béton et l'acier ont pour valeur :

$$\bar{f}_b = 137,7 \text{ Kg/cm}^2 ; \quad \bar{f}_a = 2800 \text{ Kg/cm}^2$$

par la méthode de p. Charon :

$$- \text{Moment résistant pour le béton} \quad M_{rb} = \mu' \bar{w}_b^2 b h^2$$

On doit vérifier $M_{rb} > M_o$

Calcul de M_{rb}

$$K = \frac{\bar{f}_a}{\bar{f}_b} = \frac{2800}{137,7} = 20,33 \Rightarrow$$

$$\mu = 0,1345$$

$$\mu' = 0,1843$$

$$\xi = 0,8585$$

$$\eta = 0,4247$$

$$\text{d'où } M_{rb} = 0,1843 \times 137,7 \times 100 \times \frac{75}{100}^2 = 5648,1 \text{ Kgm} > 663,6 \text{ Kgm}$$

36

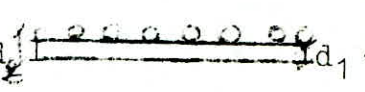
vérifiée .

... / ...

Ferraillage : On a montré que $M_{rb} > M_o$ les moments

M_{tx} et M_{ty} étant faible devant M_o , on ferraillera notre dalle suivant f .

en travée :

On prend $M_t = M_a$ (cas défavorable)  $ht = 15 \text{ cm}$
 $d_1 = 2,5 \text{ cm}$
 $d_2 = 3,5 \text{ cm}$

$$\text{- hauteur utile (sens porteur)} \quad h_1 = 15 - 2,5 = 12,5 \text{ cm}$$

$$\text{- hauteur utile (sens répartition)} \quad h_2 = 15 - 3,5 = 11,5 \text{ cm}.$$

Sens répartition (y, y)

$$\mu = \frac{n \cdot M_t}{\bar{\sigma}_a \cdot b \cdot h_1^2} = \frac{15 \cdot 66360}{2800 \cdot 100 \cdot 12,5^2} = 0,0227 \quad \left. \begin{array}{l} K = 61 \\ \varepsilon = 0,9342 \end{array} \right\}$$

$$A_y = \frac{M_t}{\bar{\sigma}_a \cdot h_1} = \frac{66360}{2800 \cdot 0,9342 \cdot 12,5} = 2,03 \text{ cm}^2$$

Sens porteur (x, x)

$$\mu = \frac{n \cdot M_t}{\bar{\sigma}_a \cdot b \cdot h_2^2} = \frac{15 \cdot 66360}{2800 \cdot 100 \cdot 11,5^2} = 0,027 \quad \left. \begin{array}{l} K = 55 \\ \varepsilon = 0,9286 \end{array} \right\}$$

$$A_x = \frac{M_t}{\bar{\sigma}_a \cdot h_2} = \frac{66360}{2800 \cdot 0,9286 \cdot 11,5} = 2,22 \text{ cm}^2$$

On a $A_x \leq A_y$ on adoptera à 5T8 par mètre

$$A = 2,51$$

$$\bar{\sigma}'_b = \frac{\bar{\sigma}_a}{K} = \frac{2800}{55} = 50,9 \text{ kg/cm}^2 < \bar{\sigma}'_b \text{ pas d'armatures}$$

→ comprimées.

au appuis :

On prendra $M_a = 0,3 \text{ Mo} = 199,08 \text{ Kg m}$

Calcul des chapeaux :

Sens repartition (y, y)

$$\mu = \frac{15 \cdot 199,08}{2800 \cdot 100 \cdot 12,5} = 0,0068 \quad \left. \begin{array}{l} K = 110 \\ \epsilon = 0,9600 \end{array} \right\}$$

$$A_y = \frac{19908}{2800 \cdot 0,9600 \cdot 12,5} = 0,59 \text{ cm}^2$$

Sens porteur (x, x)

$$\mu = \frac{15 \cdot 19908}{2800 \cdot 100 \cdot 11,5} = 0,0081 \quad \left. \begin{array}{l} K = 108 \\ \epsilon = 0,9593 \end{array} \right\}$$

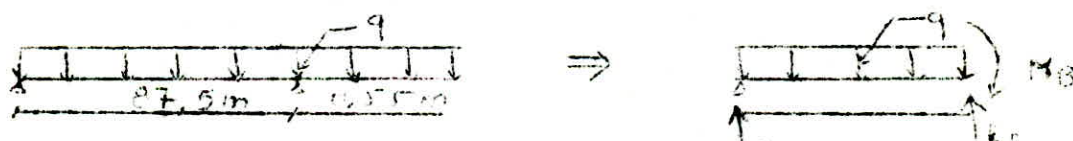
$$A_x = \frac{19908}{2800 \cdot 0,9593 \cdot 11,5} = 0,64 \text{ cm}^2$$

On a $A_x \approx A_y$ on adoptera à $3x8 = 1,50 \text{ cm}^2$

$$\sigma_b' = \frac{\sigma_a}{K} = \frac{2800}{108} = 25,9 \text{ kg/cm}^2 < \sigma_b' \Rightarrow \text{pas d'armatures}$$

comprimées.

Balcon en dalle pleine



$$G = 428 \text{ kg/m}^2 \text{ (même que dalle N° 1)}$$

$$1,2 p = 1,2 \cdot (350) = 420 \text{ kg/m}^2$$

$$q = G + 1,2 p = 848 \text{ kg/m}^2$$

$$M_B = q \frac{l^2}{2} = 848 \cdot \frac{0,55^2}{2} = 128,26 \text{ kgm/}$$

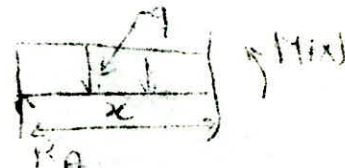
$$\sum m / A = 0 \Rightarrow R_B \cdot 0,875 - 848 \cdot \frac{0,875^2}{2} - 128,26 = 0$$

$$R_B = 517,58 \text{ kg} \cdot 36$$

.../...

$$\sum m /_B = 0 \Rightarrow R_A + 0,875 - 848 \cdot \frac{0,875}{2} + 128,26 = 0$$

$$R_A = 224,42 \text{ kg}$$



$$M(x) = R_A x - q \frac{x^2}{2}$$

$$\frac{dM(x)}{dx} = R_A - qx = 0 \quad x = \frac{R_A}{q} = \frac{224,42}{848} = 0,26 \text{ m}$$

$$M(0,26) = 224,42 \cdot 0,26 - 848 \cdot \frac{0,26^2}{2} = 29,68 \text{ Kg m}$$

donc on prend $M = 128,26 \text{ Kg m}$.

$$\mu = \frac{15 M}{\sigma_a \cdot b h^2} = \frac{15 \cdot 128,26}{2800 \cdot 100 \cdot \frac{15}{13}^2} = 0,0030 \quad \left\{ \begin{array}{l} K = 184 \\ \varepsilon = 0,9749 \end{array} \right.$$

$$Ax = \frac{M}{\sigma_a \cdot \varepsilon \cdot h} = \frac{12826}{2800 \cdot 0,9749 \cdot 15} = 0,3 \text{ cm}^2 \quad \text{à } 15,2 \text{ cm de l'axe}$$

$$\sigma_b = \frac{2800}{184} = 15,2 < \sigma_b \quad \text{pas d'acier comprimé.}$$

dans la travée (AB) on met $A_m = (5\phi 6)$ dans le lit inférieur.

Dalle au niveau (V) au dessus d'escalier

$$lx = 65 \text{ cm}$$

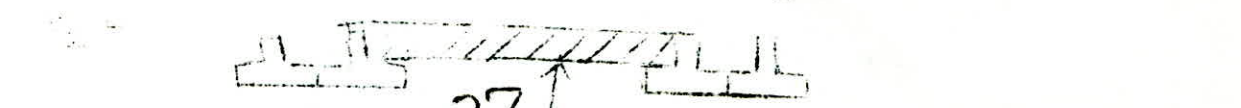
$$ly = 4,8 - 0,7 = 4,1 \text{ m}$$

$$\beta = \frac{lx}{ly} = \frac{0,65}{4,1} = 0,16 < 0,4 \quad \text{se repose sur un seul}$$

câble (xx)

$$M_{ox} = \mu_x \cdot q \cdot l_x^2$$

coupe au niveau de la dalle



dalle plaine poutrelle

.../...

$$M_{tx} = 0,85 \text{ Mox}$$

$$M_{ax} = 0,3 \text{ Mox}$$

$$Mo = q \frac{l_x}{8} = 702 \cdot \frac{0,65}{8} = 37 \text{ kg m}$$

$M_{rb} > Mo$; le moment M_{tx} étant faible devant Mo
on ferraillera notre petite dalle suivant Mo

$$u = \frac{15 \cdot 3700}{2800 \cdot 100 \cdot 11,5} = 0,0015 = 0,9818$$
$$K = 260$$

$$A_x = \frac{3700}{2800 \cdot 0,9818 \cdot 11,5} = 0,12 \text{ cm}^2$$

on prend $\frac{A}{m} = 5T6 = 1,42 \text{ cm}^2$ par metre

Verification de la condition de non fragilité (Art 52 CCBA 68)

souscrit

$$\frac{At_x}{bo \cdot hx} \geq \frac{\psi_4}{2} (2 - \beta) \frac{\bar{\sigma}_b}{\bar{\sigma}_a} \left(\frac{h_o}{h_e} \right)^2$$

$$\frac{2,51}{100 \cdot 11,5} = 0,0022 > \frac{0,54}{2} (2 - 0,56) \frac{5,9}{2800} \frac{(13)}{11,5}^2 = 0,0010 \text{ vérifiée}$$

souscrit

$$\frac{At_y}{bo \cdot hy} \geq \frac{\psi_4}{2} (2 - \beta) \frac{\bar{\sigma}_b}{\bar{\sigma}_a} \left(\frac{h_o}{h_y} \right)^2$$

$$\frac{2,51}{100 \cdot 12,5} = 0,0020 > \frac{0,54}{2} (2 - 0,56) \frac{5,9}{2800} \frac{(13)}{12,5} = 0,0009 \text{ vérifié}$$

Verification à l'effort tranchant

$$T_{max} = 492,14 \text{ kg} \cdot$$

$$Z_b = \frac{T}{bz} = \frac{492,14}{100 \cdot 7 / 8 \cdot 11,5} = 0,49 \text{ kg/cm}^2 \quad Z_b = 1,15 \bar{\sigma}_b = 6,785 \text{ kg/cm}^2$$

donc les armatures transversales ne sont pas nécessaire.

Verification de la fléche Art 61-22- CCBA 68

$$1) \frac{h_0}{l_x} > \frac{1}{20} \quad \underline{\text{Mtx}} \\ \underline{\text{Mox}}$$

$$\underline{\text{AN}} \quad \frac{1310^{-2}}{1,53} > \frac{1}{20} \quad \frac{127,5}{150,0} = 0,04$$

0,085 > 0,04 vérifié la justification des flèches est inutile .

Verification de la fissuration

$$\underline{\sigma}_1 = \frac{K_n}{\phi} \frac{\tilde{w}}{1 + 10 \tilde{w}} ; \quad \underline{\sigma}_2 = 2,4 \sqrt{\frac{K_n}{\phi} \frac{\tilde{w}}{b}}$$

$$K = 1,5 \cdot 10^6$$

$$n = 1,6 \text{ (H A)} \quad w = \frac{A}{2 d b} = \frac{2,51}{2 \cdot 2 \cdot 100} = 6,275 \cdot 10^{-3}$$

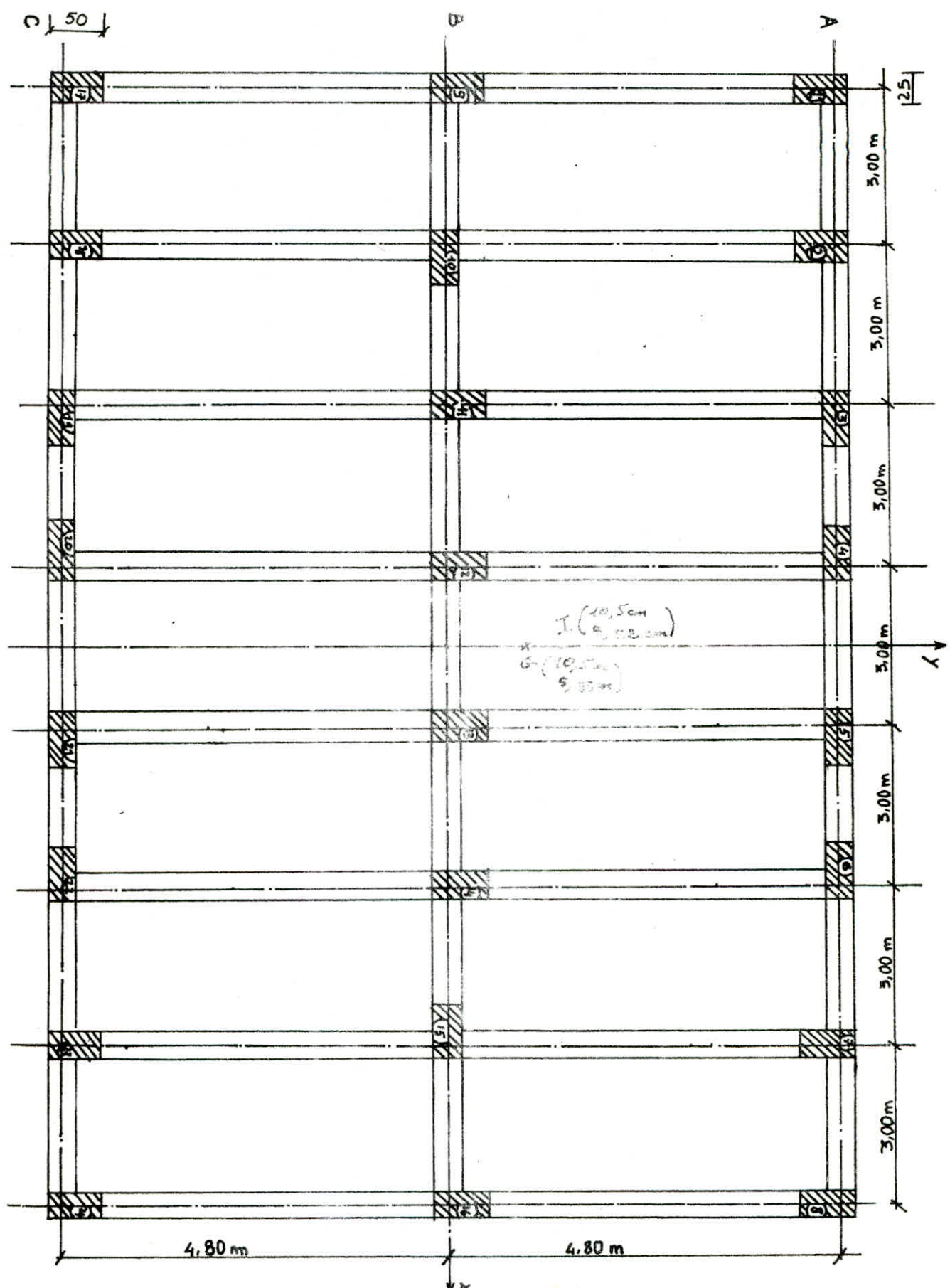
$$b = 5,9 \text{ Kg/cm}^2$$

$$\phi = 8 \text{ mm} .$$

$$\underline{\sigma}_x = \min \left\{ \begin{array}{l} \max \left\{ \begin{array}{l} \underline{\sigma}_1 = 1771,34 \text{ Kg/cm}^2 \\ \underline{\sigma}_2 = 3192,99 \text{ Kg/cm}^2 \end{array} \right\} \\ \underline{\sigma}_{13} \text{ en } = 2800 \text{ Kg/cm}^2 \end{array} \right\}$$

$$\underline{\sigma}_x = 2800 \text{ Kg/cm}^2 . = \underline{\sigma} \text{ a pas de risque de fissuration .}$$

Nomenclature et dimension en Plan



INTRODUCTION

1 - EFFETS DU SE ISME

Les secousses sismiques imposent aux constructions des accélérations particulières pouvant atteindre l'ordre de grandeur de la gravité $g = 9,81 \text{m/s}^2$.

Les efforts qui en résultent peuvent s'exercer suivant des directions quelconques, on peut concevoir (2) deux composantes l'une verticale et l'autre horizontale.

Ces composantes sont caractérisées par la valeur de l'accélération horizontale du mouvement sismique.

- (P.S 69) admettent par simplification que dans les cas des bâtiments courants toutes les masses sont concentrées au niveau des planchers (P.S 69).
- dans les calculs on tiendra compte des charges permanentes et éventuellement de la fraction de surcharges correspondant au plancher considéré.

* Recommandations de conception générale des bâtiments.

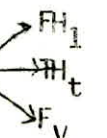
- réduire autant que possible la hauteur des bâtiments et surtout le rapport de cette hauteur à la largeur.
- éviter les grandes ouvertures.
- éviter les éléments de construction mal liés à l'ossature.
- éviter les ensembles mal équilibrés.
- prévoir autant que possible un sous-sol rigide qui ancre la construction dans le sol.
- établir des fondations profondes et soigneusement chainés afin de s'opposer aux efforts de soulement.
- abaisser le plus possible le centre de gravité de la construction.

Calcul sismique :

Ce mode de calcul substitue aux effets dynamiques réels, des sollicitations statiques résultant de la combinaison de systèmes de forces fictives ou systèmes équivalents, qui résultent de la combinaison ;

- d'un système de forces horizontales élémentaires (S I H)
- d'un système de forces verticales élémentaires (S I V)
- d'un système de couples de torsion d'ensemble d'axe vertical (S T)

Notation

$F = \zeta w$:  Force Sismique horizontale longitudinale
Force Sismique horizontale transversale
Force Sismique Verticale.

ζ = : Coef. Sismique

w = : Charge soumise à l'action sismique.

$$w = \begin{cases} G + \frac{P}{5} + M_n & \text{Si } M_n \geq 35 \text{ kg/m}^2 \\ G + \frac{P}{5} & \text{Si } M_n < 35 \text{ kg/m}^2. \end{cases}$$

G = : Charge permanente

P = : Surcharges d'exploitation

M_n : Surcharges de la neige.

Masse soumises à l'action sismique

Niveau terrasse

- acrotère $2500 \times 0,1 \times 0,55 \times 66,50 = 9124,5 \text{ Kg} = \underline{9,1245 \text{ t}}$

./. .

- poids propre du plancher ($0,505 \times 313,9$) = 108,034 t
 - poutre longitudinale ($h_t = 30 \text{ cm}$) ; $2500 \times [0,12 \times 4 \times (0,3 - 0,05) 21] = 6300 \text{ Kg} = \underline{6,300 \text{ t}}$
 - poutre transversale ($h_t = 50 \text{ cm}$) = $2500 \times [0,12 \times 8 \times (0,5 - 0,05) (10,69 - 0,25)] \text{ kg} = \underline{11,275 \text{ t}} \Rightarrow G = 134,74 \text{ t}$
- $P = 313,9 \times 100 = 31390 \text{ kg} = 31,39 \text{ t}$

$$\frac{P}{5} = 6,278 \text{ t}$$

$W = G + \frac{P}{5} = 141,018 \text{ t}$

Etage courant

- Dalle + console : $108,03 \text{ t} + 0,68 \times 5 \times 3 \times 2,500 \text{ t} = 133,53 \text{ t}$
 - poutre longitudinale = $6,3 \text{ t}$
 - poutre transversale = $11,27 \text{ t}$
 - murs $250 \times (2,0) (66,38) = 46466 \text{ kg} = 46,466 \text{ t}$
 - poteaux $24 \times 2500 \times 0,5 \times 0,25 \times 2,35 \text{ kg} = 17,625 \text{ t}$
-
- $G = 215,19 \text{ t}$

$$P = (175 \times 313,9 + 350 \times 3 \times 5 \times 0,68) \text{ kg} = 58,5 \text{ t.}$$

$W = G + \frac{P}{5} = 226,89 \text{ t}$
--

Calcul des coefficients sismiques $\{\alpha, \beta, \gamma, \delta\}$

Coefficient d'intensité α :

On est en présence d'un bâtiment d'habitation qui sera implanté en zone II, d'après le complément aux règles (P S) du CTC

$\alpha = 1$

α a pour but l'ajustement de la résistance d'une construction à l'intensité sismique.

Coefficient de réponse B :

Il caractérise l'importance de la réponse de la structure à une secousse d'intensité de référence "(8.)

Il dépend :

- de la période (T) du mode fondamental de vibrations de la construction dans la direction étudiée,
- du degré d'amortissement de l'ouvrage,
- accessoirement, de la nature du sol de fondation.

Pour un amortissement moyen $\beta = \frac{0,085}{\sqrt{T}}$

avec $0,065 \leq \beta \leq 0,13$ (art 3.112.132 PS 69)

$$T = 0,09 \frac{H}{\sqrt{L_x}} \quad (\text{contreventement par ossature de BA dans le sens longitudinale et transversale}).$$

$H = 16,36 \text{ m}$ hauteur du bâtiment

$L = 21,34 \text{ m}$ longueur du bâtiment

$l = 10,19 \text{ m}$ Largeur du bâtiment.

$$T_t = 0,09 \cdot \frac{16,36}{\sqrt{10,19}} = 0,46$$

$$T_g = 0,09 \cdot \frac{16,36}{\sqrt{21,34}} = 0,3187$$

$B_t = \frac{0,085}{3\sqrt{0,46}} = 0,11$
$B_g = \frac{0,085}{3\sqrt{0,3187}} = 0,12$

Coefficient de fondation g :

Il tient compte de l'incidence des conditions de fondations sur le comportement de l'ouvrage.

Il est en outre indépendant des propriétés dynamiques de la construction.

. / .

Dans notre cas, nous avons utilisé des semelles isolées sur un terrain de consistance moyenne, par conséquent :

$$\delta = 1,15$$

Coefficient de distribution :

Il dépend de la structure et caractérise le comportement de la masse à laquelle il se rapporte.

Dans les constructions courantes, il est permis d'assimiler la déformée du système à une droite.

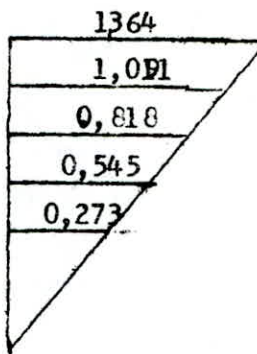
$$\gamma(h) \frac{\sum z M(z)}{\sum z^2 n(z)} h$$

$M(z)$ étant la masse concentrée à la côte z .

- nous prendrons pour origine des côtes, le niveau des semelles de fondations.
- pour les valeurs de (h) voir Tableau ci-après PS 69 P 179.

N = 5	
N°	γ
5	1,364
4	1,091
3	0,818
2	0,545
1	0,273

Distribution triangulaire



Pour le portique C - C

4ème travée est à mi-hauteur, par interpolation : $\gamma(h) \Rightarrow$

./. .

mi - niv	γ	$\alpha_B \gamma \delta$	$G_w (t)$	$S_{1V} (m^2)$
0 - 1	0,136	0,024	0,005	0,0002
1 - 2	0,409	0,074	0,262	0,0008
2 - 3	0,6815	0,122	0,432	0,0013
3 - 4	1,091	0,196	0,694	0,0022

- coefficient sismique horizontal longitudinal

$$\zeta_{HL} = \alpha_B L \gamma \delta (h)$$

- coefficient sismique horizontal transversal

$$\zeta_{HT} = \alpha_B T \gamma \delta (h)$$

- coefficient sismique vertical

$$\zeta_V = \sqrt{\alpha} \max (\zeta_{HL}, \zeta_{HT}); \quad \alpha = 1 \quad \zeta_V = \max (\zeta_{HL}, \zeta_{HT})$$

Forces sismiques horizontales

Le plancher étant indéformable dans son plan, tous les poteaux subissent le même déplacement, par conséquent chaque poteau encaisse un effort proportionnelle ; donc on calcule la force totale agissant sur chaque niveau correspondant à γ total.

(poids total de plancher)

$$\left\{ \begin{array}{l} F_{H1} = \zeta_{HL} W_L \\ F_{H_t} = \zeta_{H_t} W_L \end{array} \right.$$

Forces sismiques verticales

$$F_V = \zeta_V W = \frac{1}{\sqrt{\alpha}} \zeta_{H.W}$$

./.

SOUSS CHARGES HORIZONTALES

METHODE DE BOWMAN

Expose de la méthode de "BOWMAN"

cette méthode permet d'obtenir les résultats très voisins de ceux obtenus par des méthodes exactes.

L'effort tranchant total à chacun des niveaux se partage proportionnellement aux moments d'inertie des poteaux. Les points d'inflexion dans les poteaux de hauteur h , se situent

- Au dernier niveau à $0,6 h$ de la partie supérieure du poteau.
- A l'avant dernier niveau à $0,55 h$.
- Au niveau immédiatement au dessous à $0,5 h$ ainsi qu'à tous les autres niv. Sauf au 1^{er} Niv.
- . Au premier niveau à $0,6 h$ à partir de la base du poteau.

Les moments seront partagés proportionnellement au raideurs des barres situées à droite et à gauche du nœud considéré. La méthode de Bowman comporte certaines hypothèses décalcul, qui sont les suivantes.

Dans le cas où les raideurs des différentes travées des poutres porteuses du plancher parallèles aux forces appliquées et solidaires des poteaux sont supérieur au $\frac{1}{5}$ de la raideur du poteau le plus raide; On admet:

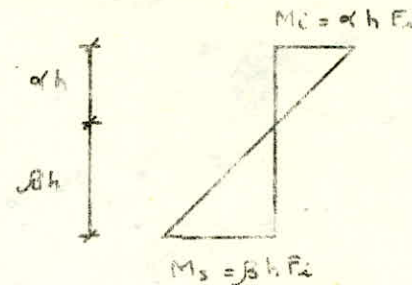
- que les forces horizontales agissant sur une file de poteaux se repartissent proportionnellement aux moments d'inertie des ces poteaux - Les moments d'inertie des poteaux de rive étant toutefois affectés des coefficient 1.
- que les poteaux des étages courants sont encastrés au niveau de chacun des planchers, et articulés aux hauteurs qui ont été définies plus haut

La force sismique cummulee' agissante sur toutes planchers, pour chaque niveau est repartie suivant l'rigidité du poteau.

moments en tête, et à la base du poteau.

$$M_i = \alpha h F_i$$

$$M_s = \beta h F_i$$



Moments dans les poutres

Ces forces créent aussi des moments fléchissants dans les poutres au droit d'un nœud et seront proportionnelles au rigidité des poutres.

Les moments dans les poutres doivent équilibrer les moments des poteaux appartenant au nœud considéré

Exemple :

$$M_w = (M_{i,i} + M_s) \frac{K_w}{K_e + K_w}$$

Niveau	S.α	α	β_L	σ_HL	W(t)	F_H = σ_EW (t)	B_T	σ_HT	F_H = max(F_HL, F_HT) (t)	σ_V = σ_E (t)	F_V (t)	T = F_H com (t)	SIV t/m²
II	1,75	1,364	0,12	0,188	141,018	26,5	0,11	0,172	26,5	0,188	26,5	26,5	0,0844
III	1,75	1,091	0,12	0,150	216,09	32,4	0,11	0,138	32,4	0,150	32,4	50,9	0,1032
IV	1,15	0,918	0,12	0,113	216,09	24,4	0,11	0,123	24,4	0,113	24,4	83,3	0,077
V	1,15	0,845	0,12	0,075	216,09	16,2	0,11	0,069	16,2	0,075	16,2	99,5	0,0516
I	1,15	0,273	0,12	0,036	216,09	0,2	0,11	0,034	0,2	0,036	0,2	107,7	0,0261

Efforts horizontaux agissant sur les portiques

Sens longitudinal

$$F_x = \frac{\sqrt{H} W I_{y_i}}{\sum I_{y_i}}$$

avec $\sqrt{H} = \sqrt{V} = \sqrt{}$

I_{x_i} = moment d'inertie de tous les poteaux composant le portique au niveau considéré.

Sens transversal

$$F_y = \frac{\sqrt{W} I_{x_i}}{\sum I_{x_i}}$$

I_{x_i}, I_{y_i} = moment d'inertie de tous les poteaux composant le plancher du niveau considéré.

Portiques longitudinales

Portique	Niveau	I_{y_i} (cm^4)	I_{y_i} (cm^4)	W (t)	Fx (t)	Fx com (t)
A et C	V	1302083,3	3515625	26,5	9,815	9,815
	IV	1302083,3	3515625	32,4	12	21,815
	III	1302083,3	3515625	24,4	9,037	30,852
	II	1302083,3	3515625	16,2	6,741	37,593
	I	1302083,3	3515625	8,2	3,412	41,05
B	V	911458,33	3515625	26,5	6,870	6,870
	IV	911458,33	3515625	32,4	8,400	15,270
	III	911458,33	3515625	24,4	6,326	21,596
	II	911458,33	3515625	16,2	4,200	25,796
	I	911458,33	3515625	8,2	2,126	27,922

Portiques transversales

Portiques	Niveaux	I_{xi} (cm^4)	$\sum I_{xi}$ (cm^4)	W (t)	F_y (+)	F_y cum (t)
2 et 7	V	585937,5	4296875	26,5	3,614	3,614
	IV	585937,5	4296875	32,4	4,418	8,032
	III	585937,5	4296875	24,4	3,327	11,359
	II	585937,5	4296875	16,2	2,209	13,568
	I	585937,5	4296875	8,2	1,118	14,686
3 et 4	V	390625	4296875	26,5	2,409	2,409
	IV	390625	4296875	32,4	2,945	5,354
5 et 6	III	390625	4296875	24,4	2,218	7,572
	II	390625	4296875	16,2	1,473	9,045
	I	390625	4296875	8,2	0,745	9,79
A et 8	V	781250	4296875	26,5	4,818	4,818
	IV	781250	4296875	32,4	5,091	10,009
	III	781250	4296875	24,4	4,436	15,445
	II	781250	4296875	16,2	2,945	18,09
	I	781250	4296875	8,2	1,491	19,581

Portiques transversaux (symétrie) (F_t)_y

Portique	1-1	2-2	3-3	4-4				
Niveau	Poteau	effort	Poteau	eff	Poteau	eff	Poteau	eff
	1	1,606	2	1,606	3	0,268	4	0,268
II	9	1,606	10	0,322	11	1,285	12	1,285
	17	1,606	18	1,606	19	0,268	20	0,268
	1	1,964	2	1,963	3	0,327	4	0,327
IV	9	1,964	10	0,327	11	1,571	12	1,571
	17	1,964	18	1,963	19	0,327	20	0,327
	1	1,479	2	1,479	3	0,246	4	0,246
III	9	1,479	10	0,295	11	1,183	12	1,183
	17	1,479	18	1,479	19	0,246	20	0,246
	1	1,982	2	0,982	3	0,764	4	0,164
II	9	0,982	10	0,982	11	0,786	12	0,786
	17	0,982	18	0,982	19	0,164	20	0,164
	1	0,497	2	0,497	3	0,083	4	0,083
I	9	0,497	10	0,029	11	0,397	12	0,397
	17	0,497	18	0,497	19	0,083	20	0,083

Portiques transversaux (symétrie) (F_t)_y cummules.

Portique	1-1	2-2	3-3	4-4				
Niveau	Poteau	eff _{tran}						
	1	1,606	2	1,606	3	0,268	4	0,268
II	9	1,606	10	0,322	11	1,285	12	1,285
	17	1,606	18	1,606	19	0,268	20	0,268
	1	3,570	2	3,569	3	0,595	4	0,595
IV	9	3,570	10	0,649	11	2,856	12	2,856
	17	3,570	18	3,569	19	0,595	20	0,595
	1	5,049	2	5,049	3	0,841	4	0,841
III	9	5,049	10	0,944	11	4,039	12	4,039
	17	5,049	18	5,049	19	0,841	20	0,841
	1	6,031	2	6,030	3	1,005	4	1,005
II	9	6,031	10	1,142	11	4,825	12	4,825
	17	6,031	18	6,030	19	1,005	20	1,005
	1	6,528	2	6,527	3	1,088	4	1,088
I	9	6,528	10	1,168	11	5,222	12	5,222
	17	6,528	18	6,529	19	1,088	20	1,088

On tient compte de la position du poteau.

: Poteau extrême. (coef = 1)

: Poteau interne. (coef = 1,2)

Portiques longitudinaux (F_t)_x

Portique	A-A		B-B		C-C	
Niveau	Pot	eff	Pot	eff	Pot	eff
VI	1-2	0,492	11-12	0,594	14-15	0,491
	2-3		13-14		23-24	
	3-4	1,963	10-15	2,358	19-20	1,963
V	4-5		21-22			
	5-6					
	9-16	0,495				
IV	1-2	0,600	11-12	0,726	14-15	0,600
	2-3		13-14		23-24	
	3-4	2,400	10-15	2,892	21-22	2,400
III	4-5					
	5-6					
	9-16	0,605				
III	1-2	0,452	11-12	0,546	14-15	0,452
	2-3		13-14		23-24	
	3-4	1,807	10-15	2,174	19-20	1,807
II	4-5					
	5-6					
	9-16	0,455				
II	1-2	0,339	11-12	0,362	13-14	0,337
	2-3		15-16		23-24	
	3-4	1,348	10-15	1,461	19-20	1,348
I	4-5					
	5-6					
	9-16	0,455				

Portiques longitudinaux (F_t)_x cummules.

Portique	A-A		B-B		C-C	
Niveau	Pot	eff _{tran}	Pot	eff _{tran}	Pot	eff _{tran}
VI	1-2	0,491	11-12	0,594	14-15	0,491
	2-3		13-14		23-24	
	3-4	1,963	10-15	2,358	19-20	1,963
V	4-5				9-16	0,495
	5-6					
	9-16	1,920				
IV	1-2	1,092	11-12	1,320	14-15	1,092
	2-3		13-14		23-24	
	3-4	4,364	10-15	5,340	19-20	4,364
III	4-5				9-16	1,400
	5-6					
	9-16	1,543	11-12	1,966	14-15	1,543
III	3-4		13-14		23-24	
	5-6					
	9-16	6,170	10-15	7,494	19-20	6,170
II	4-5				9-16	1,575
	5-6					
	9-16	1,880	11-12	2,228	14-15	1,880
II	3-4		13-14		23-24	
	5-6					
	9-16	7,518	10-15	9,852	19-20	7,518
I	4-5				9-16	2,090
	5-6					
	9-16	2,051	11-12	2,412	14-15	2,051
I	3-4		13-14		23-24	
	5-6					
	9-16	8,200	10-15	9,585	19-20	8,200

Les efforts sont donnés en tonnes (t)

Etude de la Torsion

Dans le cas de batiments dissymétriques ; il arrive que les efforts horizontaux ne passent pas par le centre de gravité du niveau qui sera donc entraîné dans une rotation autour du centre la résultante des forces horizontales est remplacé par une force F appliquée au centre de Torsion et par un couple de Torsion ($M=F.d.$ d'axe vertical passant par le centre de Torsion (d'excentrement de la résultante par rapport au centre de gravité des éléments résistants) le couple de Torsion à pour fait de produire une rotation du plancher supérieur par rapport au plancher inférieur.

Les poteaux vont subir des déplacements dans les 2 sens transversal et longitudinal ;

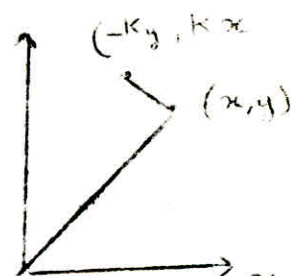
on peut considérer que ces déplacements sont provoqués par des forces appliquées aux extrémités des poteaux

le calcul des forces est basée sur 2 hypothèses

1- l'effort est proportionnel au déplacement de l'extrémité supérieure du poteau .

2- les déplacements des extrémités supérieures sont proportionnels à la distance ; à la distance de l'extrémité du poteau au centre de Torsion .

le déplacement subi par la tête du poteau y de coordonnées x et y a pour composantes $(-K y)$ et $(K x)$; K étant une constante de proportionnalité .



$$I_x = 14 \times \frac{25 \times 50^3}{12} + 10 \times \frac{50 \times 25^3}{12} = 42968,75 \text{ cm}^4 \quad \text{des poteaux}$$

$$I_y = 14 \times \frac{50 \times 25^3}{12} + 10 \times \frac{25 \times 50^3}{12} = 3,5 \cdot 1 \cdot 5 \cdot 6 \cdot 25 \text{ cm}^4$$

Deformation horizontale

On vérifie pour les poteaux les plus chargés : $I > \frac{Th^2}{12E} \frac{1000}{1,3}$

$$(T_x \text{ max}, I_y \text{ poteau}) ; T_y \text{ max} \quad I_x \text{ poteau})$$

poteaux : 10, 15

$$T_x = 9582,1 \text{ kg}$$

$$I_y = 260416,67 \text{ cm}^4$$

$$I_y > \frac{9582,1 \cdot 280}{12 \cdot 2 \cdot 10^6} \cdot \frac{1000}{1,3} = 240078,097 \text{ cm}^4 \text{ vérifié}$$

poteau 17

$$T_y = 6558,7 \text{ kg}$$

$$I_x = 65104,16 \text{ cm}^4$$

$$I_x > \frac{6558,7 \cdot 280}{12 \cdot 2 \cdot 10^6} \cdot \frac{1000}{1,3} = 16480,8 \text{ cm}^4 \text{ vérifié}$$

** Deformation horizontale du plancher

$$\bar{\Delta} = \frac{1,3 h (\text{mm})}{1000} [\text{cm}]$$

$$\Delta = \frac{T h^3}{12 E I_{\min}} \quad I_{\min} = I_y = 3515625 \text{ cm}^4$$

$$\Delta = \frac{107700 \times 280}{12 \cdot 210^6 \cdot 3515625} = 0,028 = 0,03 \text{ cm}$$

$$\bar{\Delta} = \frac{1,3 \times 2800}{100} = 3,64 \text{ cm}$$

$$\Delta = 0,03 \text{ cm} \quad \bar{\Delta} = 3,64 \text{ cm} \cdot$$

vérifiée.

**

Centre de masse

$$x_M = \frac{\sum m_i x_i}{\sum m_i} \quad y_M = \frac{\sum m_i y_i}{\sum m_i}$$

* les charges et surcharges étant uniforme ; on peut remplacer les masse m_i par les surface (A_i)

$$x_G = \frac{\sum A_i x_i}{\sum A_i} \quad y_G = \frac{\sum A_i y_i}{\sum A_i}$$

$x_G = 10,5 \text{ m}$

" symetrie "

$$y_G = \frac{21,34 \cdot 10,19 + \frac{10,19}{2} + 5 \times 3 \times 0,675 \cdot 10,19 + \frac{0,675}{2}}{0,675 \times 3 \times 5 + 21,34 \times 10,19} = 5,33 \text{ m}$$

$y_G = 5,33 \text{ m}$

Centre d'inertie des poteaux

$$x_I = \frac{\sum I_i x_i}{\sum I_i} \quad y_I = \frac{\sum I_i y_i}{\sum I_i}$$

$$x_I = \frac{\frac{25 \times 50}{12} \cdot (147) + \frac{50 \times 25}{12} \cdot (105)}{4296875} = 10,5 \text{ m}$$

$$y_I = \frac{\frac{25 \times 50}{12} \cdot (0,125 \times 4 + 6 \times 4,925 + 4 \times 9,475) + \frac{50 \times 25}{12} \cdot (2 \times 4,8 + 4 \times 9,6)}{3515625} = 5,92 \text{ m}$$

Torsion

C.T.C : Suppose qu'à chaque niveau et dans chaque direction la résultante des forces horizontales à une excentricité par rapport au centre de Torsion égale à 5 % de la plus grande dimension du bâtiment à ce niveau . $e_o = (5\%) 21,69 = 1,08m$

$$y_I = 5,92 \text{ m}$$

Calcul des excentricités

$$e_x = x_T - x_G = 0 < e_o \Rightarrow \text{on prend } \{ e_o, e_o \}$$

$$e_y = y_T - y_G = 0,59 < e_o \quad \text{X}$$

On prendra pour l'excentricité dans les 2 directions et à chaque niveau . $\boxed{e_o = 1,08 \text{ m}}$

* Calcul de K . (constante de proportionnalité) $K = \frac{1}{\sqrt{I_x^2 + I_y^2}}$

$$M_t K = \frac{M_t}{\sqrt{I_x^2 + I_y^2}}$$

I_x = moment d'inertie de la section du poteau par rapport à un axe parallèle à $x-x'$

i_y = moment d'inertie par rapport à un axe parallèle à $y-y'$.

M_t = moment de Torsion s'appliquant sur le niveau considéré .

$$\sqrt{I_x^2} = \left(\frac{0,50 \times 0,25}{12}^3 + 2 \times \frac{0,25 \times 0,50}{12}^3 \right) (3^2 + 18^2)$$

$$+ \left(\frac{2 \times 0,50 \times 0,25}{12}^3 + \frac{0,25 \times 0,50}{12}^3 \right) (6^2 + 9^2 + 12^2 + 15^2)$$

$$+ 3 \times 21^2 \frac{0,25 \times 0,50}{12}^3 = 7,295 \text{ m}^6$$

$$\begin{aligned}
 \sum I_y y^2 &= 4,80^2 \left[6 \times \frac{0,50 \times 0,25}{12} + 2 \times \frac{0,25 \times 0,50}{12} \right] \\
 &+ x 4,80^2 \left[16 \times \frac{0,50 \times 0,25}{12} + 16 \times \frac{0,25 \times 0,50}{12} \right] \\
 &= 4,80^2 \left[\frac{0,50 \times 0,25}{12} \left(\frac{6+16}{22} \right) + \frac{0,25 \times 0,50}{12} \frac{(16+2)}{18} \right] \\
 &= 1,410 \text{ m}^6
 \end{aligned}$$

$$\boxed{\sum I_x^2 + \sum I_y^2 = 8,705 \text{ m}^6}$$

1 Pour chaque niveau

NIV	F _{Mt} (t)	E _s (m)	M _t (k ₁₂)	$\frac{E}{I} I_x^2 + \frac{E}{I} i_y^2$ (m ²)	K M _{Mt}
5	26,5	1,08	29,62	8,705	3,298
4	32,4	1,08	34,99	8,705	4,019
3	24,4	1,08	26,35	8,705	3,027
2	16,2	1,08	19,50	8,705	2,010
1	8,2	1,08	8,86	8,705	1,019

Force due à l'torsion sur chaque poteau

Poteau	$i_y 10^3$	$I_x 10^3$	Poteau	$i_y 10^3$	$I_x 10^3$
1	8,307	39156	13	4,193	5,1034
2	9,307	22,394	14	4,193	8,906
3	2,077	3,633	15	4,048	4,180
4	2,077	1,679	16	4,193	1,775
5	2,077	0,283	17	16,693	39,156
6	2,077	2,226	18	16,693	22,394
7	8,307	16,716	19	4,193	3,633
8	9,307	7,775	20	4,193	1,679
9	4,193	39156	21	4,193	0,273
10	1,048	5,586	22	4,193	0,226
11	4,193	16,531	23	16,693	16,716
12	4,193	6,779	24	16,693	1,775

$$F_x = \frac{M_t}{\frac{E}{I} I_x^2 + \frac{E}{I} i_y^2} i_y$$

$$F_y = \frac{M_t}{\frac{E}{I} I_y^2 + \frac{E}{I} i_y^2} I_x$$

$$\frac{M_t}{\frac{E}{I} I_x^2 + \frac{E}{I} i_y^2} = K M_t = \frac{M_t}{\frac{E}{I} I_x^2 + \frac{E}{I} i_y^2}$$

i_y , I_x , sont donnés en m²

Portiques transversaux (Fr)_y

Portique	1-2	2-2	3-3	4-4				
Niveau	Pot	eff	Pot	eff	Pot	eff	Pot	eff
II	1 0,9915	2 0,0735	3 0,0068	4 0,0055				
	9 0,9915	10 0,0735	11 0,0735	12 0,0221				
	17 0,9915	18 0,0735	19 0,0068	20 0,0055				
III	1 0,91212	2 0,0898	3 0,0093	4 0,0067				
	9 0,91212	10 0,0824	11 0,0584	12 0,0230				
	17 0,91212	18 0,0898	19 0,0093	20 0,0067				
IV	1 0,9128	2 0,0676	3 0,0063	4 0,0052				
	9 0,9128	10 0,0169	11 0,0400	12 0,0205				
	17 0,9128	18 0,0676	19 0,0063	20 0,0052				
V	1 0,0606	2 0,0449	3 0,0042	4 0,0034				
	9 0,0606	10 0,0112	11 0,0202	12 0,0135				
	17 0,0606	18 0,0449	19 0,0042	20 0,0034				
I	1 0,0307	2 0,0223	3 0,0021	4 0,0017				
	9 0,0307	10 0,0057	11 0,0148	12 0,0068				
	17 0,0307	18 0,0223	19 0,0021	20 0,0017				

Portiques transversaux $F_y = (F_e)_y \text{ cum} + (F_r)_y$

Portique	1-4	2-2	3-3	4-4				
Niveau	Pot	eff tran	Pot	eff tran	Pot	eff tran	Pot	eff tran
V	1 2,5975	2 1,6795	3 0,7348	4 0,7755				
	9 2,5975	10 0,5056	11 1,3329	12 1,3073				
	17 2,5975	18 1,6795	19 0,7348	20 0,7755				
IV	1 3,6912	2 3,6588	3 0,6033	4 0,6117				
	9 3,6912	10 0,6973	11 2,9144	12 2,993				
	17 3,6912	18 3,6588	19 0,6033	20 0,6117				
III	1 5,9618	2 5,1156	3 0,8473	4 0,8461				
	9 5,9618	10 0,9607	11 4,0830	12 4,0830				
	17 5,9618	18 5,1156	19 0,8473	20 0,8461				
II	1 6,0916	2 6,0749	3 1,0092	4 1,0084				
	9 6,0916	10 1,1518	11 4,9544	12 4,9387				
	17 6,0916	18 6,0749	19 1,0092	20 1,0084				
I	1 6,5587	2 6,5497	3 1,0302	4 1,0307				
	9 6,5587	10 1,1682	11 5,2332	12 5,2292				
	17 6,5587	18 6,5497	19 1,0302	20 1,0307				

Portiques Longitudinaux (Fr)_x

Portique	A-A	B-B	C-C			
Niveau	Pot	eff	Pot	eff	Pot	eff
V	1-2 0,0273	4-4 0,0199	19-19 0,0549			
	2-3 0,0273	15-14 0,0199	23-24 0,0549			
	3-4 0,0068	10-15 0,0034	19-20 0,0137			
IV	1-2 0,0337	4-4 0,0169	19-19 0,0691			
	2-3 0,0337	15-14 0,0169	23-24 0,0691			
	3-4 0,0084	10-15 0,0042	19-20 0,0168			
III	1-2 0,0277	4-4 0,0129	19-19 0,0505			
	2-3 0,0277	15-14 0,0129	23-24 0,0505			
	3-4 0,0063	10-15 0,0032	19-20 0,0126			
II	1-2 0,0167	4-4 0,0129	19-19 0,0335			
	2-3 0,0167	15-14 0,0129	23-24 0,0335			
	3-4 0,0042	10-15 0,0021	19-20 0,0094			
I	1-2 0,0085	4-4 0,0043	19-19 0,0165			
	2-3 0,0085	15-14 0,0043	23-24 0,0165			
	3-4 0,0021	10-15 0,0011	19-20 0,0042			

Portiques longitudinaux

$$F_x = (F_e)_x \text{ cum} + (F_r)_x$$

Portique	A-A	B-B	C-C			
Niveau	Pot	eff	Pot	eff	Pot	eff
V	1-2 0,5183	4-4 0,6079	19-19 0,5183			
	2-3 0,5183	15-14 0,6079	23-24 0,5183			
	3-4 1,9693	10-15 2,3614	19-20 1,9693			
IV	1-2 1,9294	4-4 1,7358	19-19 1,9294			
	2-3 1,9294	15-14 1,7358	23-24 1,9294			
	3-4 4,3723	10-15 5,2442	19-20 4,3723			
III	1-2 1,5682	4-4 1,8297	19-19 1,5682			
	2-3 1,5682	15-14 1,8297	23-24 1,5682			
	3-4 6,1263	10-15 7,04142	19-20 6,1263			
II	1-2 1,5677	4-4 1,9135	19-19 1,5677			
	2-3 1,5677	15-14 1,9135	23-24 1,5677			
	3-4 8,2222	10-15 9,8541	19-20 8,2222			
I	1-2 2,0184	4-4 2,0184	19-19 2,0184			
	2-3 2,0184	15-14 2,0184	23-24 2,0184			
	3-4 8,2021	10-15 9,5821	19-20 8,2021			

Les efforts sont donnés en tonnes (t)

Moments fléchissants dans les poteaux

Portique	A-A		B-B		C-C	
Niveau	Pot	M	Pot	M	Pot	M
II	1(T) 4,36	2(T) 2,82	3(T) 0,46	4(T) 0,46		
	9(T) 4,36	10(T) 0,85	11(D) 2,24	12(T) 2,19		
	17(T) 4,36	18(T) 2,82	19(D) 0,46	20(T) 0,46		
	1(b) 2,92	2(T) 1,88	3(T) 0,32	4(b) 0,32		
	9(b) 2,92	10(T) 0,57	11(b) 1,49	12(b) 1,46		
	17(b) 2,92	18(b) 1,88	19(b) 0,32	20(b) 0,32		
	1(T) 5,68	2(T) 5,63	3(D) 0,93	4(T) 0,93		
III	9(T) 5,68	10(D) 1,06	11 4,49	12(D) 4,44		
	17(T) 5,68	18(T) 5,63	19 4,93	20(T) 0,93		
	1(b) 4,65	2(b) 4,62	3 0,76	4(b) 0,76		
	9(b) 4,65	10(b) 0,86	11 3,67	12(b) 3,63		
	17(b) 4,65	18(b) 4,62	19 0,76	20(b) 0,76		
	1(T) 8,35	2(T) 7,16	3 1,19	4(b) 1,18		
	9(T) 8,35	10(D) 1,34	11 5,72	12(T) 5,68		
IV	17(T) 8,35	18(T) 7,16	19 1,19	20(D) 1,18		
	1(T) 8,35	2(b) 7,16	3 1,19	4(b) 1,18		
	9(b) 8,35	10(b) 1,34	11 5,72	12(b) 5,68		
	17(b) 8,35	18(b) 7,16	19 1,19	20(b) 1,18		
	1(T) 8,53	2(D) 8,50	3 1,42	4(T) 1,42		
	9(T) 8,53	10(D) 1,61	11 6,79	12(D) 6,77		
	17(T) 8,53	18(D) 8,50	19 1,42	20(D) 1,42		
V	1(b) 8,53	2(b) 8,50	3 1,42	4(b) 1,42		
	9(b) 8,53	10(b) 1,61	11 6,79	12(b) 6,77		
	17(b) 8,53	18(b) 8,50	19 1,42	20(b) 1,42		
	1(T) 7,34	2(T) 7,33	3 1,22	4(D) 1,22		
	9(T) 7,34	10(T) 1,32	11 5,86	12(D) 5,86		
	17(T) 7,34	18(T) 7,37	19 1,22	20(D) 1,22		
	1(b) 11,02	2(b) 11,00	3 1,83	4(b) 1,83		
I	9(b) 11,02	10(b) 1,96	11 8,99	12(b) 8,78		
	17(b) 11,02	18(b) 11,00	19 1,83	20(b) 1,83		

Portique	A-A		B-B		C-C	
Niveau	Pot	M	Pot	M	Pot	M
I	T 1-2 3-8	0,37	11-16 13-14	1,02	17-18 23-24	0,152
	T 3-4 5-6	3,31	10-16	3,167	19-20 21-22	3,32
			9-18	0,85		
			11-12 13-14	0,68		
	b 1-2 3-8	0,58	10-15	2,64	19-18 23-24	0,61
	b 3-4 5-6	2,20	9-16	0,57	19-20 21-22	2,21
	T 1-2 3-8	1,73	11-16 13-14	2,06	19-18 23-24	1,78
II	T 3-4 5-6	6,73	10-15	8,07	19-20 21-22	6,74
			9-16	1,72		
			11-12 13-14	1,68		
	b 1-2 3-8	1,42	10-15	6,62	19-18 23-24	1,46
	b 3-4 5-6	5,51	9-16	1,41	19-20 21-22	5,52
	T 1-2 3-8	2,13	11-16 13-14	2,63	19-18 23-24	2,23
	T 3-4 5-6	8,65	10-15	10,38	19-20 21-22	8,65
III			9-16	2,19		
			11-12 13-14	2,63		
	b 1-2 3-8	2,19	10-15	10,38	19-18 23-24	2,23
	b 3-4 5-6	8,65	9-16	2,19	19-20 21-22	8,65
	T 1-2 3-8	9,65	11-16 13-14	3,13	19-18 23-24	2,68
	T 3-4 5-6	10,53	10-15	12,37	19-20 21-22	10,54
			9-16	2,82		
IV			11-12 13-14	3,13		
	b 1-2 3-8	8,65	10-15	12,37	19-18 23-24	2,68
	b 3-4 5-6	10,53	9-16	2,82	19-20 21-22	10,54
	T 1-2 3-8	2,31	11-12 13-14	2,70	19-18 23-24	2,32
	T 3-4 5-6	9,19	10-15	10,73	19-20 21-22	9,19
			9-16	2,43		
			11-12 13-14	4,06		
I	b 1-2 3-8	3,46	10-15	16,09	19-18 23-24	3,47
	b 3-4 5-6	13,78	9-16	3,64	19-20 21-22	13,79

Portiques transversaux.

Portiques longitudinaux.

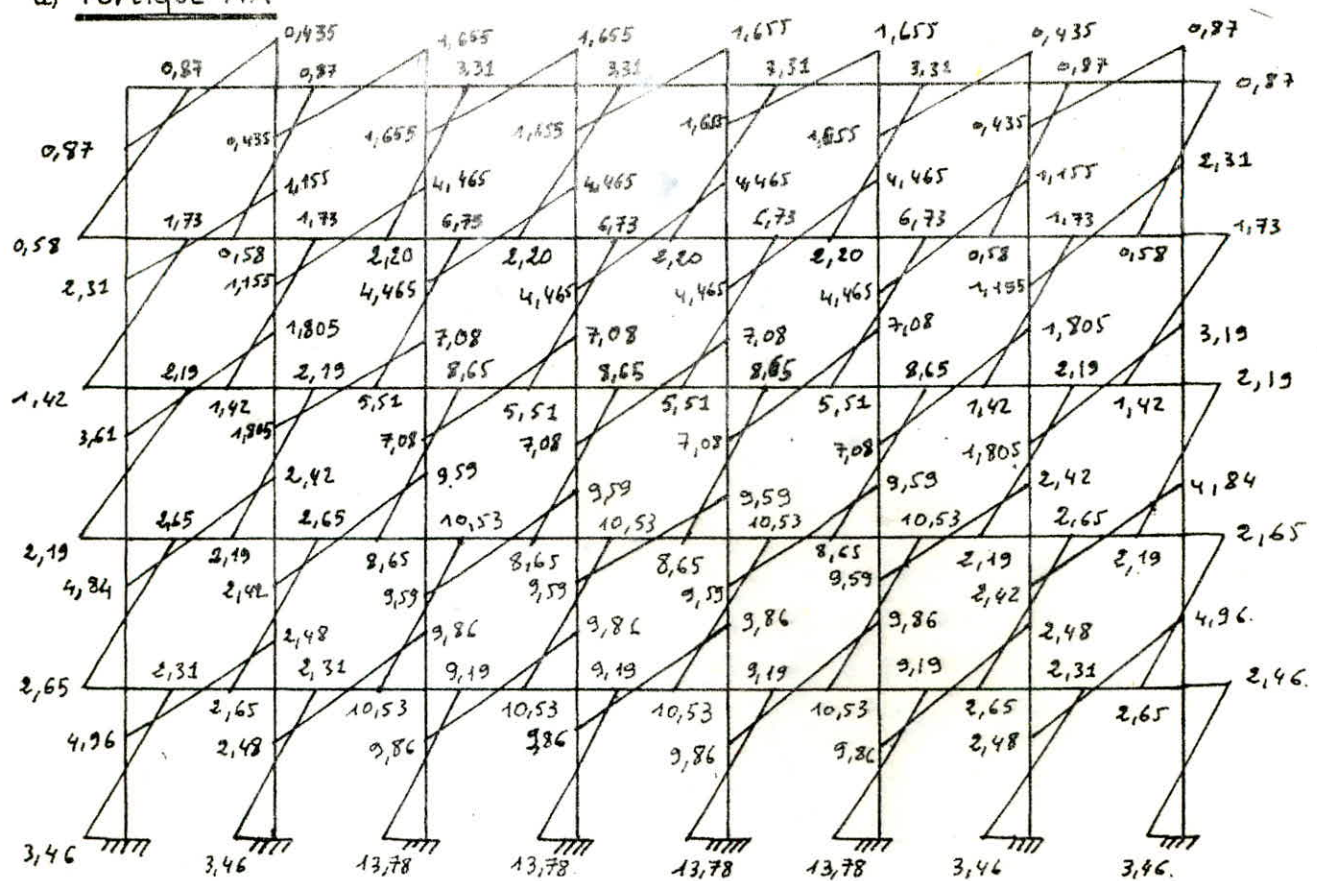
(T) = en tête

(b) = à la base

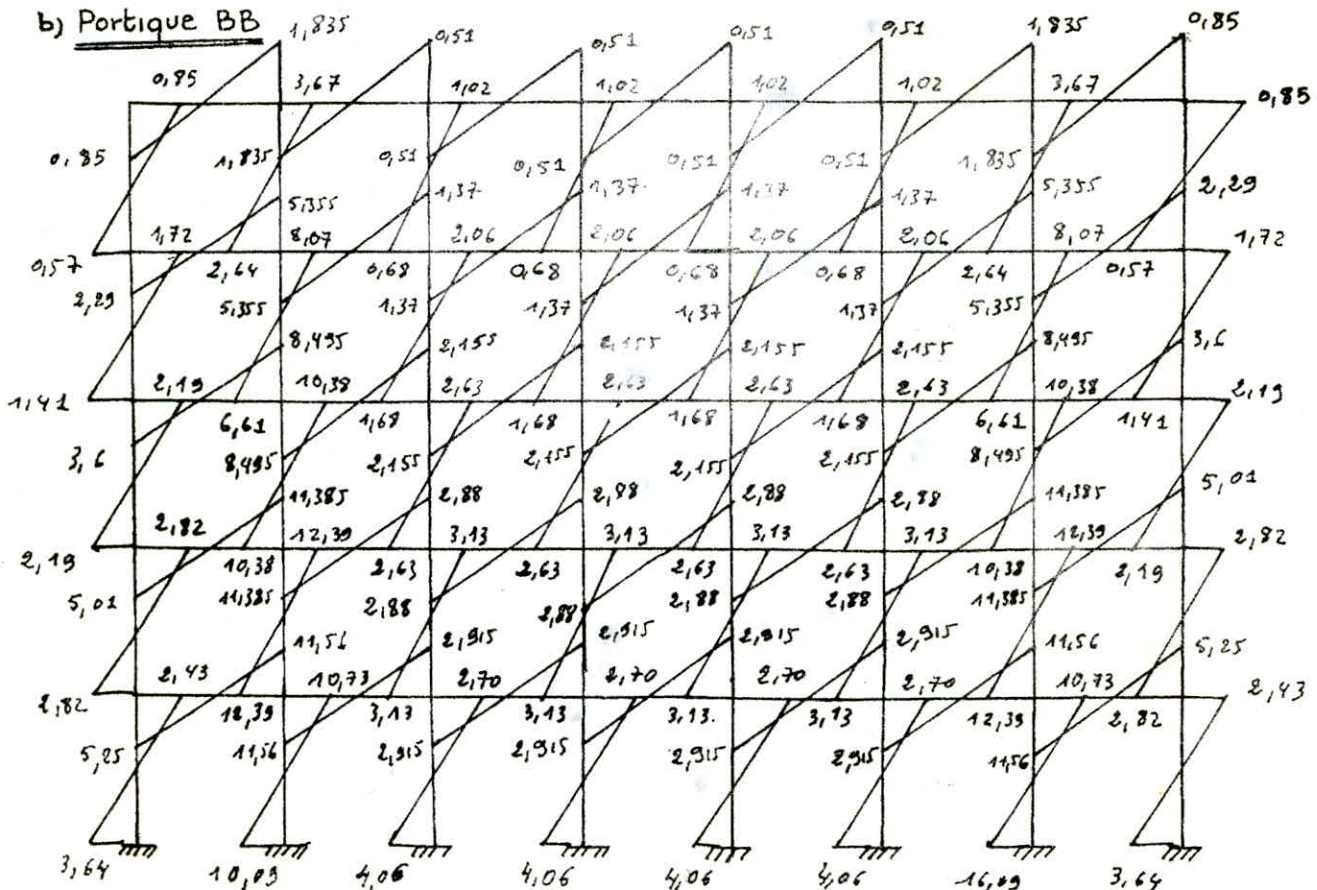
Les moments fléchissants sont donnés en tonne-mètres (t.m)

MOMENTS DANS LES POTAUX ET POUTRES DUS AU SEISME

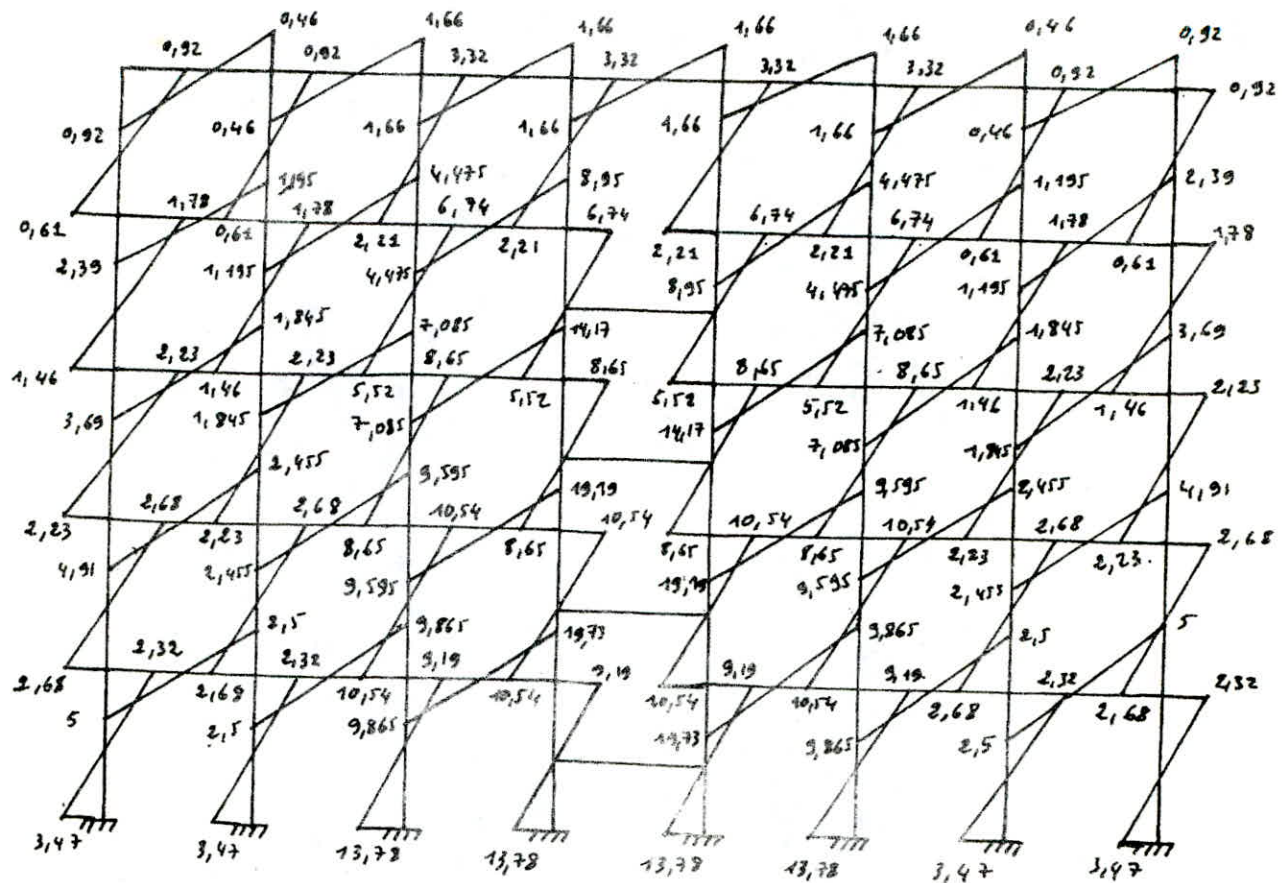
a) Portique AA



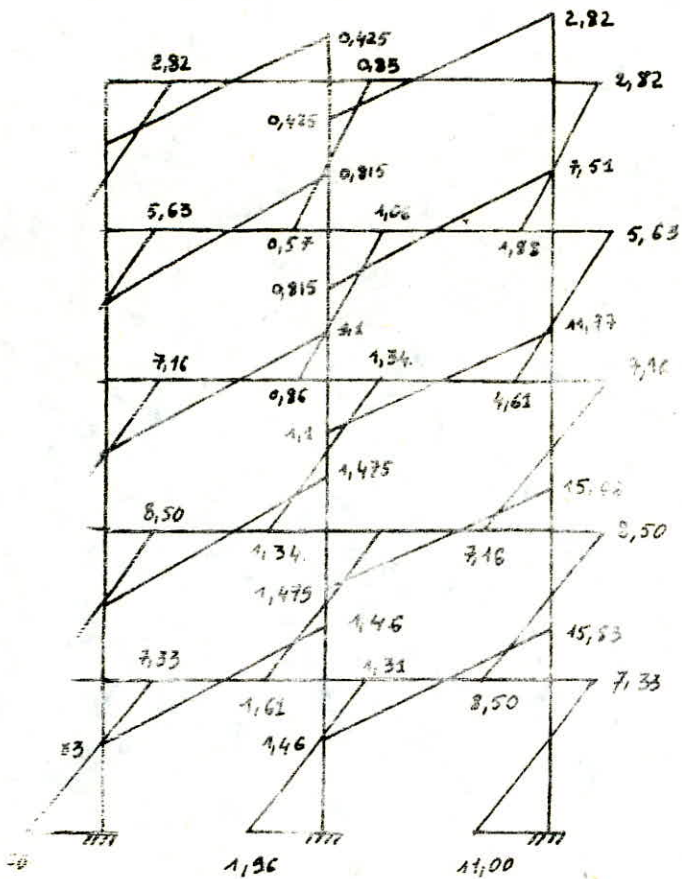
b) Portique BB



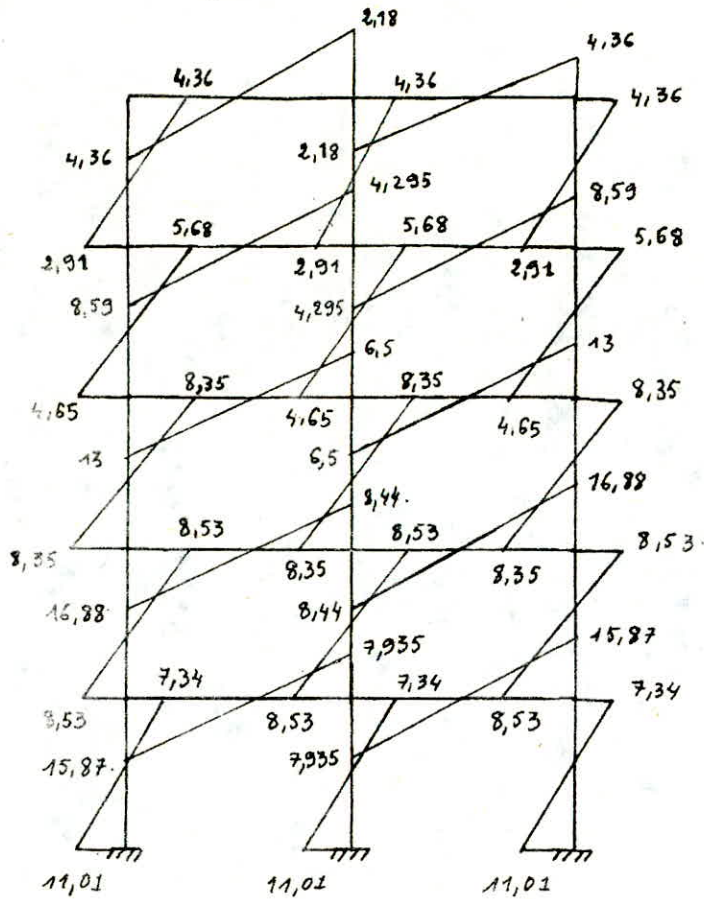
c) Portique CC



Portique transversal 2-2

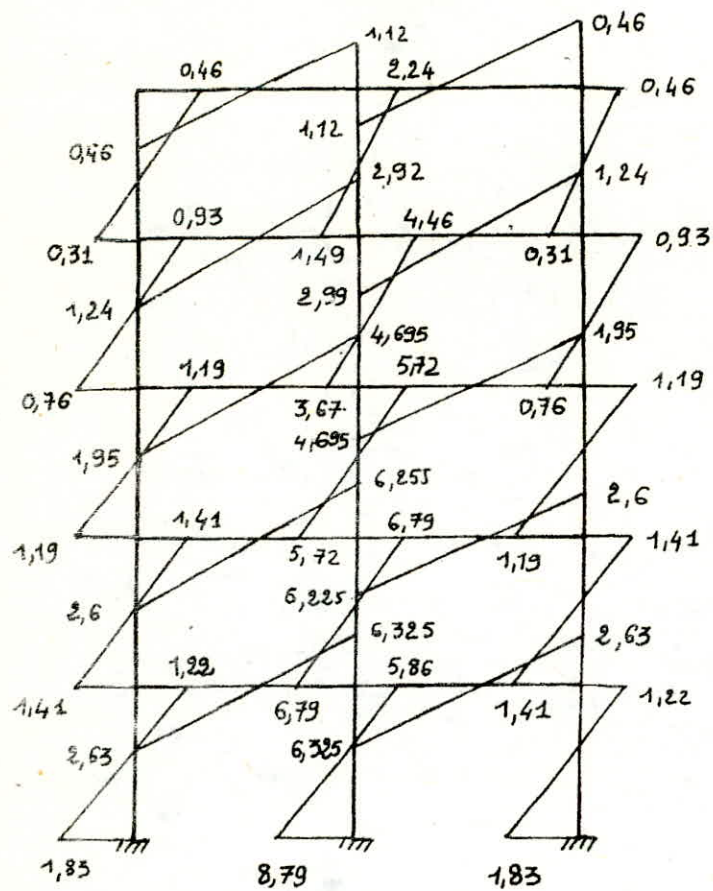


Portique transversal 1-1

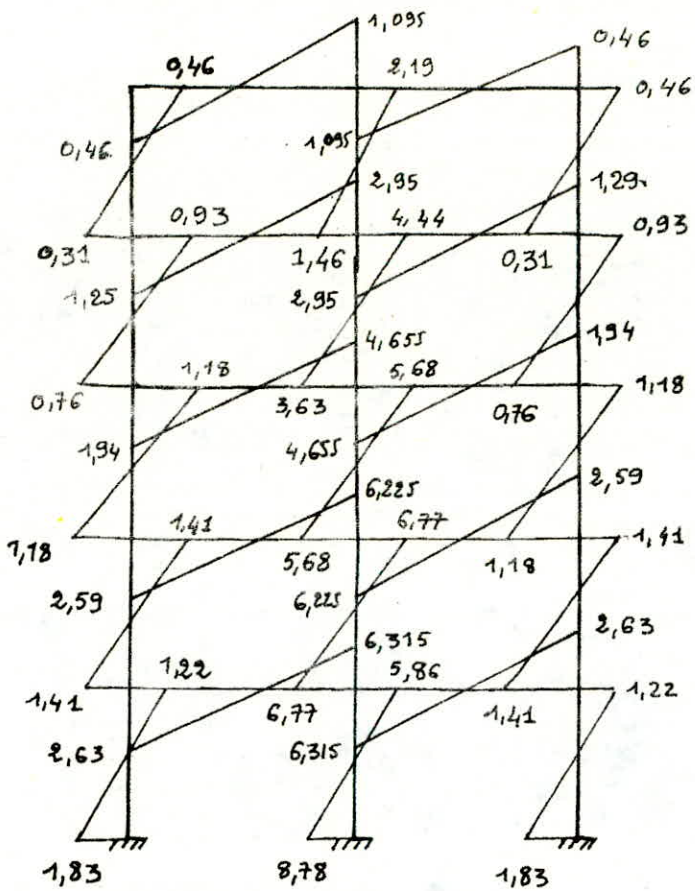


61

Portique transversal 3-3



Portique transversal 4-4



Descente de charge verticale sur les portiques

Descente de charge sur chaque portique

A) portique longitudinal .

Toute les travées sont identique ($l = 3m$)

I portique C C

Niveau V (Terrasse).

- Charges permanentes .

1^{er} et 3^{eme} Travées

$$\text{Terrasse : } \frac{0,65}{2} \cdot 0,505 = 0,164 = 164 \text{ Kg/ml}$$

$$\text{Acrotère : } 135,5 \text{ Kg/ml}$$

$$\text{Poutre longitudinale : } 187,5 \text{ Kg/ml}$$

$$G_1 = 487 \text{ Kg/ml}$$

2^{eme} travée :

$$\text{dalle pleine : } (0,28 \times 2500 \times 0,15) + 0,15 \times \frac{1,47}{2} \times \frac{(1,53+3)}{2} \times$$

$$\frac{2500}{3} = 208,09 \text{ Kg/ml}$$

$$\text{poutre longitudinale } \frac{3}{3} = 187,5 \text{ Kg/ml}$$

$$\text{Acrotère } \frac{3}{3} = 135,5 \text{ Kg/ml}$$

$$G'_1 = 531,09 \text{ Kg/ml}$$

- 4^{eme} travée :

$$\text{- dalle pleine : } 0,15 \times 2500 \times \frac{1,5}{2} = 281,25 \text{ Kg/ml}$$

$$\text{poids propre de la poutre longitudinale } \frac{2}{2} = 187,5 \text{ Kg/ml}$$

$$G''_1 = 468,75 \text{ Kg/ml}$$

etage courant

1^{ere} et 3^{eme} Travées :

- poutre longitudinale	= 187,5 Kg/ml
- mur	= 700 Kg/ml
- plancher : $\frac{0,65 \times 0,429}{2} = 0,13942$ t/ml	= 139,42 Kg/ml
	<hr/>
	$G_2 = 1026,92$ Kg/ml

2^{eme} Travée :

- Brique en verre 0,03x 2500 x 1,89	= 141,75 Kg/ml
- dalle pâine 0,28 x 2500 x 0,15	= 105 Kg/ml
- poids propre de la poutre	= 312,5 Kg/ml
- Beton 1,17 x 2500 x 0,6	= 292,5 Kg
	<hr/>
	$G_1 = 851,75$ Kg/ml

- 4^{eme} Travée : se trouve à mi-hauteur :

1) Travée entre niveaux(3-4) :

- reaction d'escalier : 2,73253 t/ml	= 2732,53Kg/ml
- mur	- briques en verre 3,82x2500x0,03=286,50Kg/ml
	- beton: 0,68x2500 x 0,1 =170,00Kg/ml
- poutre longitudinal: 0,1875t/ml=187,5Kg/ml	= 187,50Kg/ml

$$G_3 = 3376,53\text{Kg/ml}$$

2) Travée entre niveau(2-3)et(1,2)

- reaction d'escalier :	= 2732,50 Kg/ml
- mur : Brique : 2,38x2500x0,03	= 178,5 Kg/ml
Beton : 0,68x2500x0,1	= 170 Kg/ml
- poutre longitudinale :	= 187,50 Kg/ml

$$G_4 = 3268,5 \text{ Kg/ml}$$

Travée entre niveau (0,1)

- reaction d'escalier : 3,0021 t/ml	= 3002,1 Kg/ml
- mur : Brique: 2,38x2500x0,03	= 178,50 Kg/ml
Beton : 0,68x2500x0,1	= 170,00 Kg/ml
- poutre longitudinale :	= 187,50 Kg/ml

64

G_5

$$= 3538,10\text{Kg/ml}$$

.../...

II Portique A A .

Niveau V (Terrasse)

1^{ère}, 2^{ème}, et 4^{ème} travées :

- dalle pleine : $(0,65 + \frac{0,65}{2}) 0,375 = 0,36562$	t/ml = 365,62 Kg/ml
- poutre longitudinale :	= 187,5 Kg/ml
- acrotère :	= 135,5 Kg/ml
	G ₁ = 688,62 Kg/ml

- 3^{ème} Travée :

- plancher terrasse : $\frac{0,65}{2} \times 505$	= 164,12 Kg/ml
- acrotère :	= 135,5 Kg/ml
- poutre longitudinale :	= 187,5 Kg/ml
	G ₂ = 487,12 Kg/ml

etage courant

1^{ère}, 2^{ème}, et 4^{ème} Travées

- dalle pleine : $(0,65 + \frac{0,65}{2}) 0,375$	= 365,6 Kg/ml
- poutre longitudinale :	= 187,5 Kg/ml
- garde-corps -Beton 0,71x0,1x2500	= 177,5 Kg/ml
- acier 0,8x7x1,21	= 6,776 Kg/ml
2 x1,21	= 2,42 Kg/ml
	G ₁ = 739,79 Kg/ml

3^{ème} Travée :

- poutre longitudinale	= 187,5 Kg/ml
- mur	= 700 Kg/ml
- plancher $\frac{0,65}{2} \times 0,429$	= 139,42 Kg/ml
	G ₂ = 1026,92 Kg/ml
	.../...

III - portique B.B

- Niveau V -(Terrasse) :

- 1^{ère}, 2^{ème}, 3^{ème}, et 4^{ème} Travée

- poutre longitudinale : 312,5 Kg/ml

- Terrasse plancher : $\frac{0,65}{2} \times 505 + 0,15 \times 2500 \times \frac{1,5}{2} = 445,37 \text{ Kg/ml}$

$$G_1 = 757,875 \text{ Kg/ml}$$

- Etage courant :

1^{ère}, 2^{ème} et 3^{ème} Travées :

- poutre longitudinale : 0,3125 t/ml = 312,5 Kg/ml

- plancher $0,65 \times 0,429 = 278,85 \text{ Kg/ml}$

$$G_2 = 591,35 \text{ Kg/ml}$$

- 4^{ème} Travée

- réaction d'escalier R A = 2733,9 Kg/ml

- poids propre de la poutre : = 312,5 Kg/ml

- plancher : $\frac{0,65}{2} \times 429 = 139,42 \text{ Kg/ml}$

$$G_3 = 3185,82 \text{ Kg/ml}$$

portique transversal

- portique Type 1-1

Terrasse :

- poids propre de la poutre 312,5 Kg/ml

- réactions de poutrelles $\left. \begin{array}{l} A \\ B \end{array} \right\} = 755,2 \text{ Kg/ml}$
 $\left. \begin{array}{l} C \end{array} \right\} = 766,7 \text{ Kg/ml}$

- Charge courant :

- poids propre de la poutre : $0,25 \times 0,5 \times 2500 = 312,5 \text{ Kg/ml}$

- réaction des poutrelles $\left. \begin{array}{l} AB : 490,9 \text{ Kg} \rightarrow 0,65 \text{ m} \Rightarrow 755,2 \text{ Kg/ml} \\ BC : 498,4 \text{ Kg} \rightarrow 0,65 \text{ m} \Rightarrow 766,7 \text{ Kg/ml} \end{array} \right\}$

- mur : $250 \times 2,8 = 700 \text{ Kg/ml}$

- Charge concentrée $250 \times 2,8 \times 1,5 = Q = 1050 \text{ Kg}$ (à $x = 0,9 \text{ m}$ de A
sur AB : $G = 1767,7 \text{ Kg/ml}$ et 1050 Kg à $x = 0,9 \text{ m}$ de A
sur BC : $G = 1779,2 \text{ Kg/ml}$

- portique Type 2.2,

- Terrasse :

- poids propre de la poutre $312,5 \text{ Kg/ml}$
- réactions des poutrelles $\left\{ \begin{array}{l} \text{AB : } 2173,8 \text{ Kg/ml} \\ \text{BC : } 2108,6 \text{ Kg/ml} \end{array} \right.$

Etage courant :

- poids propre de la poutre $= 312,5 \text{ Kg/ml}$
- réactions des poutrelles $\left\{ \begin{array}{l} \text{AB : } 2173,8 \text{ Kg/ml} \\ \text{BC : } 2108,6 \text{ Kg/ml} \end{array} \right.$
- charge concentrées $\left\{ \begin{array}{l} \text{AB : } 2100 \text{ Kg à } 0,9 \text{ m de "A"} \\ \text{BC : } 1050 \text{ Kg à } 0,9 \text{ m de "C"} \end{array} \right.$
- \Rightarrow sur $\left\{ \begin{array}{l} \text{AB : } 2486,3 \text{ Kg/ml ; } 2100 \text{ Kg à } 0,9 \text{ m de A} \\ \text{BC : } 2421,1 \text{ Kg/ml ; } 1050 \text{ Kg à } 1,47 \text{ m de C} \end{array} \right.$

- portique Type 3-3

- Terrasse :

- poids propre de la poutre $312,5 \text{ Kg/ml}$
- réaction des poutrelles $\left\{ \begin{array}{l} \text{AB : } 1849,8 \text{ Kg/ml} \\ \text{BC : } 2108,6 \text{ Kg/ml} \end{array} \right.$

- \Rightarrow sur $\left\{ \begin{array}{l} \text{AB : } 2162,3 \text{ Kg/ml} \\ \text{BC : } 2421,1 \text{ Kg/ml} \end{array} \right.$

- plancher courant :

- poids propre de la poutre 312,5 Kg/ml
- réaction des poutrelles AB : 1202,4 → 0,65 ⇒ 1849,8 Kg/ml
 BC : 1370,6 → 0,65 ⇒ 2108,6 Kg/ml
- mur : = 700 Kg/ml
- charge concentrées : AB 1050Kg à x = 0,9 m de A
 BC : 1050 Kg à x = 1,47 m de C
- ⇒ sur AB : 2862,3 Kg/ml ; 1050Kg à x = 0,9m de A
 BC : 3121,1 Kg/ml , 1050 Kg à x = 1,47 m de C

portique type 4-4

- Terrasse :

- poids propre de la poutre : 312,5 Kg/ml
- réaction des poutrelles AB : 1254,8Kg → 0,65m ⇒ 1930,4Kg/ml
 BC { 766,77Kg/ml
 dalle: $\frac{(4,8+1,8)1,5 \times 0,15 \times 2500}{2} = 4,8$ }
 1153,47Kg/ml.
- ⇒ AB : 2242,9 Kg/ml
 BC : 1465,97 Kg/ml

- Etage courant :

- poids propre de la poutre : 312,5 Kg/ml
- réaction des poutrelles AB : 1930,4 Kg/ml
 BC : 766,77 Kg/ml

683

.../...

- mur 700 Kg/ml
- charge concentrées : $1050 \text{ Kg à } x = 0,9 \text{ m de "A"}$

$$\Rightarrow \left\{ \begin{array}{l} AB : 2942,9 \text{ Kg/ml; } 1050 \text{ Kg à } x = 0,9 \text{ m de "A"} \\ BC : 1779,27 \text{ Kg/ml} \end{array} \right.$$

Surcharges: (P)

A) portiques transversals

<u>portique Type 1-1</u>	Terrasse: $100 \times 1,5 = 150 \text{ Kg/ml}$
	étage : courant $1,5 \times 175 = 262,5 \text{ Kg/ml}$
<u>portique Type 2-2</u>	Terrasse: $100 \times 3 = 300 \text{ Kg/ml}$
	étage courant $175 \times 3 = 525 \text{ Kg/ml}$
<u>portique Type 3-3</u>	Terrasse: $100 \times 3 = 300 \text{ Kg/ml}$
	étage courant $175 \times 3 = 525 \text{ Kg/ml}$
<u>portique Type 4-4</u>	Terrasse: $100 \times 3 =$
	étage courant: $0,65 \times 100 = 65 \text{ Kg/ml}$

B) portiques longitudinaux

<u>portique A-A</u>	$\frac{0,65 \times 100}{2} = 32,5 \text{ Kg/ml}$
<u>Terrasse</u>	Travées (1,2,4) $100 \times (\underline{0,65} + 0,65) = 97,5 \text{ Kg/ml}$
	Travée (3) $100 \times (\underline{0,65}) = 32,5 \text{ Kg/ml}$
<u>étage courant :</u>	Travée (1,2,4) $350(\underline{0,65} + 0,65) = 341,25 \text{ Kg/ml}$
	Travée (3) $100 \times \underline{0,65} = 32,5 \text{ Kg/ml}$
<u>portique B-B</u>	Terrasse: $100 \times 0,65 = 65 \text{ Kg/ml}$
	étage courant: $175 \times 0,65 = 113,75 \text{ Kg/ml}$

portique C-C

Terrasse : || Travées (1,3) $100 \times \frac{0,65}{2} = 32,5 \text{ Kg/ml}$
 || Travée (2) $100(0,28 + \frac{0,65}{2}) = 60,5 \text{ Kg/ml}$
 || Travée (4) $100 \times \frac{1,5}{2} \times 0,15 = 11,25 \text{ Kg/ml}$.

etage courant : || Travées (1,3) $175, \frac{0,65}{2} = 113,7 \text{ Kg/ml}$.
 || Travée (2) $350(0,28 + \frac{0,65}{2}) = 211,7 \text{ Kg/ml}$
 || Travée (4) $350, \frac{1,5}{2}, 0,15 = 39,37 \text{ Kg/ml}$.

RESULTATS DE LA DESCENTE DE CHARGE SUR LES PORTIQUES

Portique transversal

Niveau	Position	1				2			
		G	P	Q	\propto	G	P	Q	\propto
II	1-1	0,955	0,150	/	/	0,766	0,150	/	/
	2-2	2,173	0,300	/	/	2,108	0,300	/	/
	3-3	2,162	0,300	/	/	2,421	0,300	/	/
	4-4	2,243	0,300	/	/	1,466	0,300	/	/
III	1-1	1,767	0,262	1,05	0,9	1,779	0,262	/	/
	2-2	2,486	0,525	2,10	0,9	2,421	0,525	1,05	3,33
	3-3	2,862	0,525	1,05	0,9	3,121	0,525	1,05	3,33
	4-4	2,943	0,065	1,05	0,9	1,779	0,032	/	/
IV	1-1	1,767	0,262	1,05	0,9	1,779	0,262	/	/
	2-2	2,486	0,525	2,10	0,9	2,421	0,525	1,05	3,33
	3-3	2,862	0,525	1,05	0,9	3,121	0,525	1,05	3,33
	4-4	2,943	0,065	1,05	0,9	1,779	0,032	/	/
V	1-1	1,767	0,262	1,05	0,9	1,779	0,262	/	/
	2-2	2,486	0,525	2,10	0,9	2,421	0,525	1,05	3,33
	3-3	2,862	0,525	1,05	0,9	3,121	0,525	1,05	3,33
	4-4	2,943	0,065	1,05	0,9	1,779	0,032	/	/
VI	1-1	1,767	0,262	1,05	0,9	1,779	0,262	/	/
	2-2	2,486	0,525	2,10	0,9	2,421	0,525	1,05	3,33
	3-3	2,862	0,525	1,05	0,9	3,121	0,525	1,05	3,33
	4-4	2,943	0,065	1,05	0,9	1,779	0,032	/	/

Portique longitudinal

Il existe une symétrie

Niveau	Position	1		2		3		4	
		G	P	G	P	G	P	G	P
I	A-A	0,639	0,097	0,628	0,097	0,487	0,032	0,639	0,097
	B-B	0,758	0,065	0,758	0,065	0,758	0,065	0,758	0,065
	C-C	0,487	0,032	0,521	0,060	0,497	0,032	0,468	0,071
II	A-A	0,739	0,341	0,739	0,341	1,026	0,032	0,739	0,341
	B-B	0,591	0,114	0,591	0,114	0,591	0,114	0,591	0,114
	C-C	1,026	0,113	0,851	0,211	1,026	0,113	3,376	0,039
III	A-A	0,739	0,341	0,739	0,341	1,026	0,032	0,739	0,341
	B-B	0,591	0,114	0,591	0,114	0,591	0,114	0,591	0,114
	C-C	1,026	0,113	(0,851)	0,211	1,026	0,113	3,268	0,039
IV	A-A	0,739	0,341	0,739	0,341	1,026	0,341	0,739	0,341
	B-B	0,591	0,114	0,591	0,114	0,591	0,114	3,183	0,114
	C-C	1,026	0,113	0,851	0,211	1,026	0,113	3,268	0,039
V	A-A	0,739	0,341	0,739	0,341	1,026	0,032	0,739	0,341
	B-B	0,591	0,114	0,591	0,114	0,591	0,114	3,183	0,114
	C-C	1,026	0,113	0,851	0,211	1,026	0,113	3,268	0,039
VI	A-A	0,739	0,341	0,739	0,341	1,026	0,341	0,739	0,341
	B-B	0,591	0,114	0,591	0,114	0,591	0,114	3,183	0,114
	C-C	1,026	0,113	0,851	0,211	1,026	0,113	3,528	0,039

G, P, sont données en (t/m^2)

Q, est donné en (t)

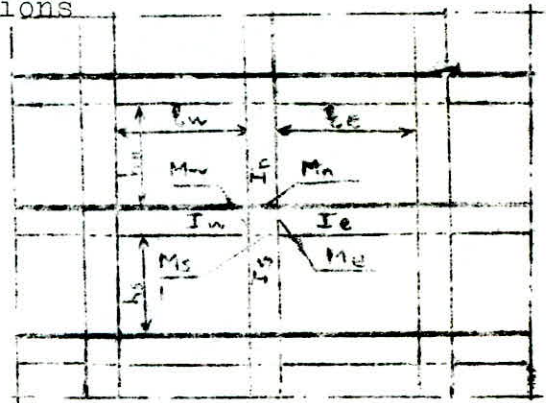
\propto , est donné en (m)

Charges verticales

Le calcul des portiques sous les charges verticales sera fait par la méthode de capuot exposée en annexe A du CCBA 68

Expose de la methode de capuot :

Les moments de continuité agissant dans les sections des nus d'un appui considérées comme sections dangereuse; sur les éléments qui se rencontrent en formant un noeud peuvent être évalués en ne tenant compte que des charges des travées encadrant l'appuis considéré (travée de gauche indice(w) et travée de droite indice (e)) et la résistance offerte par les trançons inférieur et supérieur des poteaux aboutissant au noeud considéré (trançon supérieur indice (n) et trançon inférieur indice (S))



On considère des hauteurs fictives des poteaux

$h'n = 0,9 h_n$ Si le noeud considéré appartient à l'avant dernier plancher

$h'n = 0,8 h_n$ pour les autres cas .

$h'_S = 0,8 h_S$ dans tous les cas ; hormis le cas exceptionnel où les poteaux seraient articulés sur leurs fondations .

On prendra alors $h'_S = h_S$

On considère également des travées fictives l'_C et l'_W

pour les travées intermédiaires on aura $l'_W = 0,8 l_W$

$$l'_e = 0,8 l_e$$

avec l_W = portée libre de la travée de gauche

l_e = portée libre de la travée de droite

q_w : la charge uniformément répartie par unité de longueur sur la travée de gauche (q_e sur celle de droite)

Q_w : charge concentrée appliquée sur la travée de gauche à la distance a_w du nu de l'appui (Q_e ; a_e pour la travée de droite)

On pose :

R_w et R_e sont donnés
poutre à section
constante) par l'échelle
fonctionnelle en fonction

$$M'w = \frac{q_w \cdot l_w^2}{8,5} + l_w R_w Q_w.$$

$$M'e = \frac{q_e \cdot l_e^2}{8,5} + l_e R_e Q_e$$

soient I_w , I_e , I_s et I_n désignant respectivement les moments d'inertie de la travée de gauche, de la travée de droite, du poteau inférieur et du poteau supérieur.

On pose : $K_w = \frac{I_w}{l_w}$; $K_e = \frac{I_e}{l_e}$; $K_s = \frac{I_s}{h's}$; $K_n = \frac{I_n}{h'n}$

$$\text{et } D = K_w + K_e + K_n + K_s.$$

les moments dans les sections dangereuses (nus des appuis) sont en valeur absolue :

- au nu de l'appui dans la travée de gauche :

$$M_w = M'e \frac{K_w}{D} + M'w \left(1 - \frac{K_w}{D} \right)$$

- au nu de l'appui dans la travée de droite :

$$M_e = M'e \left(1 - \frac{K_e}{D} \right) + M'w \frac{K_e}{D}$$

- au nu inférieur des poutres dans le poteau inférieur :

$$M_s = \frac{K_s}{D} (M'e - M'w)$$

- au nu supérieur du plancher dans le poteau supérieur :

$$M_n = \frac{K_n}{D} (M'e - M'w)$$

pour les traverses ; les moments M_e et M_w sont negatifs, pour les poteaux la face tendue du trançon superieur est du côté correspondant à la plus grande des deux valeurs absolues $M'w$ et $M'e$; la face tendue du trançon inferieur est du côté opposé .

Travée de rive

- noeud de rive (sans console)

$$M_e = M'e \left(1 - \frac{K_e}{D} \right)$$

$$M_s = M'e \left(\frac{K_s}{D} \right)$$

$$M_n = M'e \left(\frac{K_n}{D} \right)$$

- noeud voisin du noeud de rive

La longueur $l'w$ de la travée fictive du rive est prise égale à λl_w avec $\begin{cases} \lambda = 0,8 & \text{si } K_s + K_n \geq 1,5 K_e \\ \lambda = 1 - \frac{K_s + K_n}{7,5 K_e} & \text{si } K_s + K_n < 1,5 K_e \end{cases}$

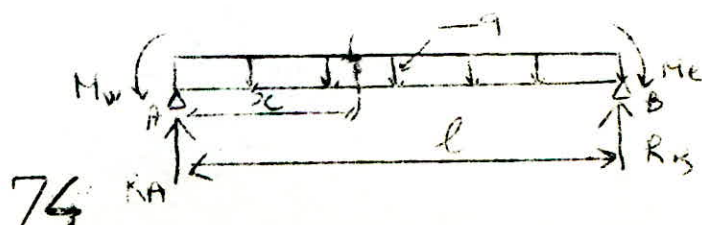
moment dans les poteaux

On admet que les points de moment nul dans les poteaux se trouvent à $h'n$ au dessus du plancher et à $h's$ au dessous du nu inferieur des poteaux .

Efforts tranchants dans les poutres

Effort tranchants sous les charges verticales dans les poutres :

Conformément à l'annexe A₁₃ du CCBA 68 ; les effort tranchants seront calculés ; en considérant la travée independante et en faisant etat des moment de continuité et de la charge qui lui est appliquée



$$\sum m/B = 0$$

$$R_A \cdot l - M_w + M_e - \frac{q l^2}{2} = 0$$

$$R_A = \frac{M_w - M_e}{e} + \frac{q l}{2}$$

d'où l'équation de l'effort tranchant

$$T = R_A - qx = \frac{q l}{2} + \frac{M_w - M_e}{e} - qx .$$

$$T_w (x=0) \Rightarrow T_w = \frac{q l}{2} + \frac{M_w - M_e}{e}$$

$$T_e (x=l) \Rightarrow T_e = - \frac{q l}{2} + \frac{M_w - M_e}{l}$$

Efforts normaux dans les poutres - Efforts tranchants dans les poteaux

par simplification ; on ne fait pas état ; dans les calculs, des efforts tranchants dans les poteaux ; ni des efforts normaux dans les poutres .

4) Les efforts normaux dans les poteaux :

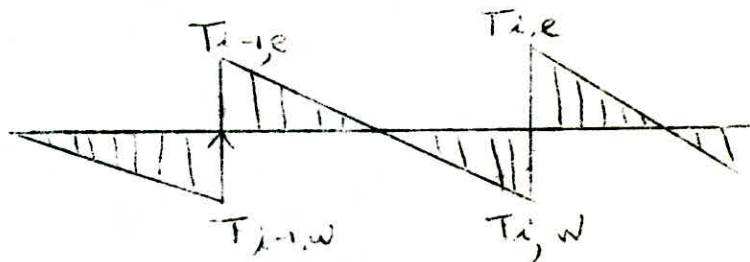
Les efforts normaux dans les poteaux sont engendrés par les efforts tranchants dans les poutres .

Ils seront ainsi déterminés à partir des efforts tranchants définis ci-dessus .

* Pour les traverses , les moments M_e et M_w sont négatifs pour les poteaux , la force tendue du tronçon supérieur est du côté correspondant à la plus grande des 2 valeurs absolues M'_e et M'_w .

La face tendue du tronçon inférieur est du côté opposé

* ainsi pour des charges verticales uniformément réparties provoquant des efforts tranchants schématisés dans les diagramme ci - dessous .



les reactions développées dans les appuis ($i - 1$) et (i) donnent des efforts de compression dans les poteaux ; valant :

$$N_{i-1} = T_{i-1,e} - T_{i-1,w}$$

$$N_i = T_{i,e} - T_{i,w}$$

$T_{i-1,e}$; $T_{i-1,w}$; $T_{i,e}$ et $T_{i,w}$ sont en valeurs algébriques

Superposition Des Efforts

Dans les justifications de calcul relatives à l'équilibre statique à la résistance et à la stabilité de forme ; on prend en compte les sollicitations ; dites sollicitations totales pondérées ; définies ci dessous .

Soient :

G : la sollicitation due à la charge permanente

P : la sollicitation due aux surcharges d'exploitation

Y : la sollicitation due aux surcharges climatiques normales

W : la sollicitation due aux surcharges climatiques extrêmes

T : la sollicitation due aux effets de la température et du retrait

S_I: la sollicitation due aux seisme .

Dans notre cas ; on ne tient pas compte de la sollicitations due aux efforts de la température et du retrait, les effets du seisme horizontale est vertical seront considérés simultanément et combinés de la façon la plus défavorable .

les combinaisons que nous prendrons en compte sont les suivantes :

pour les poutres G + 1,2 p 1^{er} genre

 G + p + (Siv)↑ + (SiH) 2^eme genre.

pour les poteaux G + 1,2 p 1^{er} genre

 G + p + (Siv)↓ + (SiH) 2^eme genre

 G + P/5 + (Siv)↑ + (SiH) 2^eme genre

en signalant de passage que notre bâtiment étant de faible hauteur (h 25 m) la sollicitation développée par les charges pesentées d'exploitation est prépondérante devant celle due au vent :

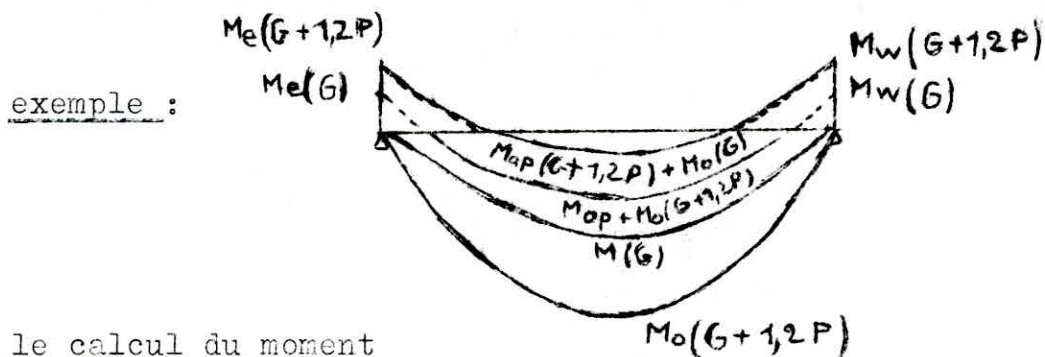
Moments en travée (Art 12 CCBA 68)

pour déterminer les moments en travée; on trace la courbe des moments de la travée indépendante complété de portée (l) avec les charges permanentes ; puis avec les charges permanentes et les

surcharges .

On prend comme ligne de fermeture :

- pour les moments positifs; celle qui joint les moments d'appuis minimaux en valeur absolue .
- pour les moments negatifs ; celle qui joint les moments, **d'appuis maximaux en valeur absolue .**



pour le calcul du moment

$$M_o (G + 1,2 p)$$

en travée sous $G + 1,2 p$; on calcule le moment isostatique M_o sous $(G + 1,2 p)$; le moment en travée sera :

$$M_{tr} = M_o (G + 1,2 p) - \frac{M_w (G) + M_e (G)}{2}$$

le moment aux appuis sera :

$$M_{ap} = M_w (G) + M_a (1,2 p)$$

moments en travée sous \xrightarrow{SiH}

$$M_t = \frac{M_e - M_w}{2}$$

Calcul de M_o :

$$M_o (G + 1,2 p) = (q_G + 1,2 q_p) \frac{l^2}{8}$$

$$M_o (G + P + Siw\downarrow) = (q_G + q_p + q_{Siw\downarrow}) \frac{l^2}{8}$$

moments aux appuis

$$Map(G + 1,2p) = Map(G) + 1,2 Map(P)$$

$$Map(G + P + Siv \downarrow + SiH \rightarrow) = Map(G) + Map(P) + Map(Siv \downarrow) + Map(SiH \rightarrow)$$

moments en travée

$$M_t(G + 1,2p) = M_o(G + 1,2p) - \frac{Mg(G) + Md(G)}{2}$$

$$M_t(G + P + Siv \downarrow + SiH \rightarrow) = M_o(G + P + Siv \downarrow) - \frac{Mg(G) + Md(G)}{2} + M_t(SiH \rightarrow)$$

Efforts tranchants aux appuis

$$Tap(G + 1,2p) = Tap(G) + 1,2 Tap(P)$$

$$Tap(G + P + Siv \downarrow + SiH \rightarrow) = Tap(G) + Tap(P) + Tap(Siv \downarrow) + Tap(SiH \rightarrow)$$

avec Siv et SiH dans les 2 sens .

Caractéristiques géométrique du portique - 2.2 -

Niv	Noeud	ℓ_{w}	ℓ_e	h_m	h_s	I_w	I_e	I_n	I_s	ℓ'_{w}	ℓ'_{e}	h'_m	h'_s	K_{w}	K_e	K_n	K_s	D
I	1	/	4,8	-	2,8	-	26	-	26	3,84	3,84	-	2,24	/	6,77	-	11,61	18,38
	2	4,8	4,8	-	2,8	26	26	-	6,5	3,702	3,702	-	2,24	4,023	3,823	-	2,90	16,95
	3	4,8	/	-	2,8	26	-	-	26	3,84	/	-	2,24	6,77	-	-	11,61	18,38
II	4	/	4,8	2,8	2,8	-	26	26	26	/	3,84	2,52	2,24	/	6,77	10,32	11,61	28,70
	5	4,8	4,8	2,8	2,8	26	26	6,5	6,5	3,84	3,84	2,52	2,24	6,77	6,77	10,32	2,90	86,76
	6	4,8	/	2,8	2,8	26	-	26	26	3,84	/	2,52	2,24	6,77	-	10,32	11,61	28,70

Moment aux appuis sous G

Niv	Noeud	q_w	q_e	M'_w	M'_e	M_w	M_e	M_n	M_s
II	1	/	247,32	/	3,711	-	2,398	/	-7,350
	2	247,32	2,102	3,505	3,400	3,460	-3,492	-	-0,618
	3	2,102	/	3,658	-	-2,311	/	/	2,311
III	4	/	2,4863	-	4,930	-	3,767	-7,773	-7,354
	5	2,4863	2,4211	5,176	4,817	-5,025	4,908	0,138	0,039
	6	2,4211	/	4,817	-	-3,683	-	1,732	1,849

Moment aux appuis sous P

Niv	Noeud	q_w	q_e	M'_w	M'_e	M_w	M_e	M_n	M_s
I	1	/	0,300	/	0,520	/	0,328	/	-0,328
	2	0,300	0,300	0,484	0,484	0,484	-0,484	/	/
	3	0,300	/	0,520	/	-0,328	/	/	0,328
II	4	/	0,525	/	0,944	/	0,686	-0,327	-0,327
	5	0,525	0,525	0,944	0,944	-0,944	0,944	/	/
	6	0,525	/	0,944	/	-0,686	/	0,327	0,327

Moment aux appuis sou Siv

Moment sous S+H

Moment sous G+1,2P

Niv	Noeud	q_w	q_e	M'_w	M'_e	M_w	M_e	M_n	M_s
II	1	/	0,055	/	0,095	/	0,060	/	-0,060
	2	0,055	0,055	0,089	0,089	0,089	-0,089	/	/
	3	0,055	/	0,095	-	-0,060	/	/	0,060
III	4	/	0,067	/	0,116	/	0,089	-0,042	-0,047
	5	0,067	0,067	0,116	0,116	-0,089	0,089	/	/
	6	0,067	/	0,116	-	-0,089	/	0,074	0,0046

Niv	Noeud	M_w	M_e	M_n	M_s
I	1	/	2,820	/	2,820
	2	-0,35	-0,425	/	0,850
	3	-2,82	/	/	2,820
II	4	/	-7,510	4,980	5,630
	5	-0,816	-0,815	0,570	4,060
	6	-7,510	/	4,980	5,630

Niv	Noeud	M_w	M_e	M_n	M_s
I	1	/	-2,784	/	-2,784
	2	4,042	-4,023	/	-0,018
	3	-2,705	/	/	-2,705
II	4	/	4,602	-2,165	-2,437
	5	-6,178	6,00	0,138	0,039
	6	-2,845	/	1,339	1,506

$M'_w, M'_e, M_e, M_w, M_n, M_s$ sont donnés en t.m.

q_w, q_e sont donnés en t/m²

G + P + SiIV↑ + SiH				G + P + SiIV↓ + SiH				G + P + SiIV↑ + SiH				G + P + SiIV↓ + SiH						
N	Noeud	Mw	Me	Mn	Ms	Mw	Me	Mn	Ms	Mw	Me	Mn	Ms	Mw	Me	Mn	Ms	
I	1	-	/	-0,042	/	0,042	/	5,598	/	-5,598	/	-0,162	/	0,162	/	5,475	/	-5,475
	2	3,608	-4,417	/	0,832	4,458	-3,59	/	-0,868	3,43	-4,262	/	0,832	/	/	-		
	3	-5,519	/	/	5,519	0,121	/	/	-0,121	-5,399	/	/	5,399	0,241	/	/	-0,241	
II	4	/	-2,958	-9,262	3,220	/	12,062	-4,082	-8,04	/	-3,156	-0,178	3,314	/	11,984	-3,958	-3,946	
	5	-6,9	5,093	-0,708	4,099	-5,27	6,723	-0,432	-1,021	-6,722	4,915	0,708	1,099	-5,092	6,545	-0,432	-1,021	
	6	-11,975	/	4,013	7,955	3,045	/	0,253	-5,307	-11,795	/	3,865	7,943	3,221	/	0,105	-3,217	

Sous G		G + 1,2 P			G + P + SiIV↑			G + P + SiIV↓ + SiH			SiH	
N	Trav	$\frac{Me+Mw}{2}$	q	M _o	M _t	q	M _o	M _t	M _t	M _t	M _t	
IV	1-2	-2,925	2,554	7,298	4,373	2,589	7,456	4,531	5,718		1,1975	
	2-3	-2,876	2,468	7,108	4,252	2,531	7,538	4,712	3,515		-1,197	
V	4-5	-4,426	3,116	8,974	4,548	3,183	9,167	4,741	8,028		3,347	
	5-6	-4,295	3,051	8,787	4,492	3,118	8,99	4,686	1,337		-3,347	

N	T _{EW}	G		P		S _{IV} ↓		S _{IV} ↑		S _{IH} ↑		S _{IH} ↓		G + 1,2 P			G + P + S _{IV} ↓ + S _{IH} ↑			G + P + S _{IV} ↓ + S _{IH} ↓			G + P + S _{IV} ↑ + S _{IH} ↑			
		Mw	Me	Mw	Me	Mw	Me	Mw	Me	Mw	Me	Mw	Me	Mw	Me	Mw	Me	Mw	Me	Mw	Me	Mw	Me	Mw	Me	Mw
I	N-4	-2,390	-3,460	-0,328	-0,484	-0,060	-0,089	+0,060	0,089	2,784	-4,042	-2,786	4,042	-2,786	4,373	-4,042	0,006	5,718	-8,896	-5,562	3,333	0,009	0,126	-7,897	-5,442	0,187
II	N-2	-3,442	-2,319	-0,489	-0,328	-0,089	-0,060	+0,089	0,060	4,023	-2,705	-4,023	2,705	-4,023	4,232	-2,705	0,008	3,515	-5,404	-8,038	5,909	0,008	0,186	-5,284	-7,86	0,126
III	N-4	-3,767	-5,023	-0,636	-0,311	-0,089	-0,089	+0,089	0,089	4,602	-6,178	-4,602	6,178	-4,602	4,548	-6,178	0,05	8,088	-12,263	-9,154	1,394	0,033	0,228	-12,085	-8,376	0,272
IV	N-5	-4,207	-3,681	-0,911	-0,636	-0,089	-0,088	+0,089	0,088	6,00	-2,845	-6,00	2,845	-6,00	4,492	-2,845	0,092	1,337	-7,310	-11,908	8,031	-4,62	0,270	-3,936	-11,73	-15,46

632

633

N	T _{EW}	G		P		S _{IV} ↓		S _{IV} ↑		S _{IH} ↑		S _{IH} ↓		G + 1,2 P			G + P + S _{IV} ↓ + S _{IH} ↑			G + P + S _{IV} ↓ + S _{IH} ↓			G + P + S _{IV} ↑ + S _{IH} ↑				
		T _W	T _E	T _W	T _E	T _W	T _E	T _W	T _E	T _W	T _E	T _W	T _E	T _W	T _E	T _W	T _E	T _W	T _E	T _W	T _E	T _W	T _E	T _W	T _E		
I	N-4	-5,440	-4,994	0,752	-0,687	0,138	-0,126	-0,138	0,126	1,422	1,422	-1,422	1,422	6,342	-5,818	7,352	-7,229	6,908	-4,385	3,476	-6,577	4,632	-5,133				
II	N-2	4,825	-5,396	0,827	-0,612	0,126	-0,138	-0,126	0,138	1,401	-1,401	-1,401	1,401	5,817	-6,030	7,175	-7,447	6,377	-4,645	6,927	-7,177	4,125	-5,369				
III	N-4	6,242	-5,692	1,305	-1,215	0,160	-0,160	-0,160	0,160	-2,245	-2,245	-2,245	2,245	7,808	-7,850	9,952	-9,312	5,462	-4,822	9,532	-8,992	5,142	-4,502				
IV	N-5	5,555	-6,066	1,215	-1,305	0,159	-0,162	-0,162	0,162	-1,842	-1,842	-1,842	1,842	7,013	-7,620	8,771	-9,375	5,087	-5,5910	8,413	-9,054	4,769	-5,367				

POUTRE

Armatures longitudinales

Les poutres seront étudiées à la flexion simple; car, conformément à l'article A15 du CCBA, il ne sera fait état dans les calculs, ni d'efforts tranchants dans les poteaux, ni d'efforts normaux dans les poutres.

On calculera la section d'acier sous la sollicitation $SP_1 (G + 1,2 P)$ et sous la plus défavorable des sollicitations SP_2 ; Puis on adoptera la plus grande.

La méthode utilisée est celle de Pierre Charon.

On calcul $\mu = \frac{n M}{\bar{\sigma}_a b h^2} \rightarrow$ tableau (charon) $\rightarrow (\varepsilon, K) \rightarrow \bar{\sigma}'_b = \frac{\bar{\sigma}_a}{K}$

-1) Si $\bar{\sigma}'_b \leq \bar{\sigma}'_a$ alors $A' = 0$ et $A = \frac{M}{\bar{\sigma}_a E h}$

-2) Si $\bar{\sigma}'_b > \bar{\sigma}'_a$ les armatures comprimées sont nécessaires

On calcul : $K_1 = \frac{15}{n} \frac{\bar{\sigma}_a}{\bar{\sigma}'_b} ; K_2 = 15 \frac{(h-d')}{\bar{\sigma}'_a h + d'}$

Si $K_1 > K_2 \rightarrow K_1 = K \rightarrow$ Tableau $\rightarrow (\mu', \alpha, \varepsilon)$

$$M_1 = \mu' b \bar{\sigma}_b h^2 \rightarrow \Delta M = M - M_1$$

$$y = \alpha h \rightarrow \bar{\sigma}'_a = \frac{15}{y} (\gamma - d) \bar{\sigma}'_b$$

$$\text{Armatures comprimées : } A' = \frac{\Delta M}{\bar{\sigma}'_a (h-d')}$$

$$\text{Armatures tendues : } A = \frac{M_1}{\bar{\sigma}_a E h} + \frac{\Delta M}{\bar{\sigma}'_a (h-d')}$$

$$\text{Si } K_1 < K_2 \Rightarrow K_2 = K \rightarrow \text{Tableau} \rightarrow (\mu', \varepsilon)$$

$$\bar{\sigma}'_b = \frac{15}{n} \frac{\bar{\sigma}_a}{K_2} \rightarrow M_1 = \mu' \bar{\sigma}'_b b h^2 \quad \Delta M = M - M_1$$

$$\text{Armatures comprimées : } A' = \frac{\Delta M}{\bar{\sigma}'_a (h-d')}$$

$$\text{Armatures tendues : } A = A' + \frac{M_1}{\bar{\sigma}_a \cdot E h}$$

2) Armatures transversales

On calculera les armatures transversales pour l'effort tranchant maximum d'appui
Pour tout le niveau considéré, les armatures et les espacements calculés
seront adoptés pour toutes les travées du niveau.

Contrainte de cisaillement max.

$$\bar{\epsilon}_b = \frac{T_{\max}}{b \cdot z} ; \quad T = \text{effort tranchant max} ; \quad b = \text{largeur de la poutre}$$

$$z = \frac{7}{8} h$$

Contrainte de cisaillement admissible

$$\bar{\epsilon}_{b_1} = 3,5 \bar{\sigma}_b ; \quad \bar{\epsilon}_{b_2} = (4,5 - \frac{\bar{\sigma}_b'}{\bar{\sigma}_{b_0}}) \bar{\sigma}_b ; \quad \bar{\epsilon}_{b_3} = 5 \bar{\sigma}_b$$

$$\text{si } \begin{cases} \bar{\epsilon}_b \leq \bar{\epsilon}_{b_1} & \text{lorsque } \bar{\sigma}_b' \leq \bar{\sigma}_{b_0} \\ \bar{\epsilon}_b \leq \bar{\epsilon}_{b_2} & \text{lorsque } \bar{\sigma}_{b_0}' < \bar{\sigma}_b' \leq 2 \bar{\sigma}_{b_0} \end{cases} \Rightarrow \text{utilisation de cadre + étriers verticaux}$$

$$\text{si } \begin{cases} \bar{\epsilon}_{b_1} < \bar{\epsilon}_b \leq \bar{\epsilon}_{b_3} & \text{lorsque } \bar{\sigma}_b' \leq \bar{\sigma}_{b_0}' \\ \bar{\epsilon}_{b_2} < \bar{\epsilon}_b \leq \bar{\epsilon}_{b_3} & \text{lorsque } \bar{\sigma}_{b_0}' < \bar{\sigma}_b' \leq 2 \bar{\sigma}_{b_0}' \end{cases} \Rightarrow \begin{cases} \text{utilisation de cadres + étriers} \\ \text{verticaux + barres obliques.} \end{cases}$$

$\bar{\epsilon}_b > \bar{\epsilon}_{b_3}$, nous devrions changer la section de béton

$$\text{ou } (\bar{\sigma}_b = 5,9 \text{ Kg/cm}^2 ; \bar{\sigma}_{b_0}' = 68,5 \text{ Kg/cm}^2)$$

Contraintes admissibles des armatures transversales

Armatures en Fe E 24 $\rightarrow \sigma_{en} = 2400 \text{ Kg/cm}^2$

la section ne comporte pas de reprise de bétonnage

$$P_a = \max \left\{ \frac{1 - \frac{T_b}{3 \bar{\sigma}_b}}{\frac{2}{3}} ; \quad \bar{\sigma}_{at} = P_a \sigma_{en} \right.$$

Calcul des espacements

$$t_0 = \frac{A_t \cdot z \cdot \bar{\sigma}_{at}}{T_{\max}} \quad \text{ou } A_t = \text{section des armatures transversales}$$

Espacement admissible \bar{t}

$$\bar{t} = \max \left\{ t_1 = 0,2 h ; \quad t_2 = \left(1 - 0,3 \frac{\bar{\epsilon}_b}{\bar{\sigma}_b}\right) h \right. \quad \text{mais on doit tenir compte du complément du CTC}$$

Armatures longitudinales

$$SP_2 \left\{ \begin{array}{l} \bar{\sigma}_a = 2800 \text{ Kg/cm}^2 \\ \bar{\sigma}_b' = 137,7 \text{ Kg/cm}^2 \end{array} \right.$$

$$SP_2 \left\{ \begin{array}{l} \bar{\sigma}_a = 4200 \text{ Kg/cm}^2 \\ \bar{\sigma}_b' = 206,5 \text{ Kg/cm}^2 \end{array} \right.$$

"les moment M_e et M_w ont été calculés par l'ordinateur"

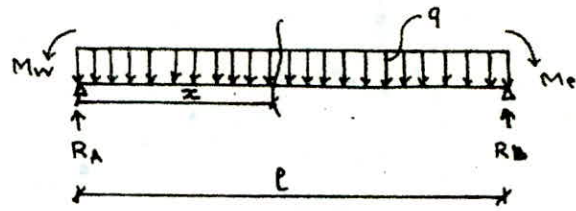
Calcul des moments max en travée

$$R_w(A) = q \frac{L}{2} - \frac{M_e - M_w}{E}$$

$$M(w) + M_w + q \frac{x^2}{2} - R_h x = 0$$

$$\frac{dM(x)}{dx} = 0 \Rightarrow x = \frac{RA}{q}$$

$$\Rightarrow M_{max} = -M_w + \frac{R_h^2}{q}$$



Determination des aciers longitudinaux

SOLICITATION t.m	SP ₂				
	γ	E	K	A ou A'	$\bar{\sigma}_b'$
$M \leq 3$	0,0198	0,9383	66	1,64	
$3 < M \leq 3,95$	0,0261	0,9296	56	2,17	
$3,95 < M \leq 4,82$	0,0318	0,9231	50	2,67	
$4,82 < M \leq 5,84$	0,03858	0,9265	53	3,23	
$5,84 < M \leq 6,94$	0,0453	0,9098	40,4	3,90	
$6,94 < M \leq 7,73$	0,0514	0,9049	37,6	4,41	
$7,73 < M \leq 8,77$	0,0579	0,9000	35	4,95	
$8,77 < M \leq 9,65$	0,0636	0,8558	33	5,50	
$9,65 < M \leq 10,96$	0,0724	0,8899	30,4	6,31	
$10,96 < M \leq 12,11$	0,0800	0,8853	28,6	7,00	
$12,11 < M \leq 12,93$	0,0858	0,8818	27,3	11,31	
$12,93 < M \leq 13,23$	0,0876	0,8807	26,9	11,57	
$13,23 < M \leq 13,87$	0,1147	0,8671	22,6	15,44	
$13,87 < M \leq 14,35$	0,1212	0,8641	21,8	16,31	

$$\bar{K} = \frac{15}{\pi} \frac{\bar{\sigma}_a}{\bar{\sigma}_b'} = 20,23$$

$$K > \bar{K}$$

FERAILLAGE LONGITUDINAL DES POUTRES DU PORTIQUE C-C

Niveau I

Les aciers sont donnés en (cm^2)

N°	Solicitat.	SP ₂		SP ₁		SP ₂	
		M _w	M _w ⁺	M _{max} ⁺	M _{max}	M _e	M _e ⁺
1	Moment t.m	6,94	5,28	0,349	4,12	6,46	4,82
	Acier cm ²	3,9	3,23	2,45	2,67	3,9	2,67
2	Moment t.m	6,46	4,82	0,119	6,09	9,25	7,49
	Acier cm ²	3,9	2,67	2,45	3,9	5,5	4,41
3	Moment t.m	9,25	7,49	0,299	7,25	9,57	8,11
	Acier cm ²	5,5	4,41	2,45	4,42	5,5	4,99

acières:

3,9	2,67	3,9	3,9	5,5	4,41	5,5
Δ	Δ	Δ	Δ	Δ	Δ	Δ
3,23	2,45	2,67	2,45	4,42	2,45	4,99

acières adoptées

3T ₁₄						
Δ	Δ	Δ	Δ	Δ	Δ	Δ
5T ₁₄	3T ₁₄	5T ₁₄	3T ₁₄	3T ₁₄	3T ₁₄	3T ₁₄

Niveau III

N°	Solicitat.	SP ₂		SP ₁		SP ₂	
		M _w	M _w ⁺	M _{max} ⁺	M _{max}	M _e	M _e ⁺
43	Moment t.m	5,59	4,30	0,394	3,37	5,68	4,15
	Acier cm ²	3,23	2,67	2,45	2,17	3,23	2,67
44	Moment t.m	5,68	4,15	0,119	5,33	7,79	5,84
	Acier cm ²	3,23	2,67	2,45	3,23	4,42	3,23
45	Moment t.m	7,79	5,80	0,339	7,13	7,74	6,60
	Acier cm ²	4,42	3,23	2,45	4,41	4,41	3,90

acières

3,23	2,17	3,23	3,23	4,41	4,41	4,41
Δ	Δ	Δ	Δ	Δ	Δ	Δ
3,23	2,45	2,55	2,45	3,23	2,45	3,23

acières adoptées

3T ₁₄						
Δ	Δ	Δ	Δ	Δ	Δ	Δ
3T ₁₄						

Niveau II

N°	Solicitat.	SP ₂		SP ₁		SP ₂	
		M _w	M _w ⁺	M _{max} ⁺	M _{max}	M _e	M _e ⁺
7	Moment t.m	6,94	6,72	1,614	5,44	6,78	6,02
	Acier cm ²	3,9	3,9	2,45	3,23	3,9	3,9
8	Moment t.m	6,78	6,02	0,358	6,42	9,57	7,66
	Acier cm ²	3,9	3,9	2,45	3,9	5,5	4,42
9	Moment t.m	9,57	7,66	0,486	7,78	9,63	8,45
	Acier cm ²	5,5	4,42	2,45	4,42	5,5	4,99

acières

3,9	3,23	3,9	3,9	5,5	4,42	5,5
Δ	Δ	Δ	Δ	Δ	Δ	Δ
3,23	2,45	3,9	2,45	4,42	2,45	4,99

acières adoptées

3T ₁₄						
Δ	Δ	Δ	Δ	Δ	Δ	Δ
3T ₁₄						

Niveau IV

N°	Solicit	SP ₂		SP ₁		SP ₃	
		M _W ⁻	M _W ⁺	M _{max} ⁺	M _{max} ⁻	M _E ⁻	M _E ⁺
19	Moment t.m.	3,95	2,44	0,934	3,93	4,15	2,53
	Acier cm ²	2,17	1,64	1,64	2,17	2,67	1,64
20	Moment t.m.	4,14	2,53	0,152	3,67	5,36	4,12
	Acier cm ²	2,67	1,64	1,64	2,17	3,24	2,67
21	Moment t.m.	5,36	4,12	0,984	4,35	5,18	4,70
	Acier cm ²	3,24	2,67	1,64	2,67	3,24	2,67

Niveau V

N°	Solicit	SP ₂		SP ₁		SP ₃	
		M _W ⁻	M _W ⁺	M _{max} ⁺	M _{max} ⁻	M _E ⁻	M _E ⁺
25	Moment t.m.	1,80	1,06	0,162	1,411	1,93	1,10
	Acier cm ²	1,64	1,64	1,64	1,64	1,64	1,64
26	Moment t.m.	1,93	1,10	0,158	1,83	2,62	1,55
	Acier cm ²	1,64	1,64	1,64	1,64	1,64	1,64
27	Moment t.m.	1,62	1,11	0,156	2,21	2,35	1,77
	Acier cm ²	1,64	1,64	1,64	1,64	1,64	1,64
28	Moment t.m.	2,35	1,72	0,156	2,24	2,45	1,62
	Acier cm ²	1,64	1,64	1,64	1,64	1,64	1,64

aciérs :

3,17 2,17 2,67 2,17 3,24 2,67 3,17
Δ Δ Δ Δ Δ Δ
 1,64 1,64 1,64 1,64 2,67 2,64 2,67

aciérs adopté

3T₁₂ 3T₁₂ 3T₁₂ 3T₁₂ 3T₁₂ 3T₁₂ 3T₁₂
Δ Δ Δ Δ Δ Δ Δ
 3T₁₂ 3T₁₂ 3T₁₂ 3T₁₂ 3T₁₂ 3T₁₂ 3T₁₂

aciérs

1,64 1,64 1,64 1,64 1,64 1,64 1,64 1,64 1,64
Δ Δ Δ Δ Δ Δ Δ Δ
 1,64 1,64 1,64 1,64 1,64 1,64 1,64 1,64 1,64

aciérs adoptés

3T₁₂ 3T₁₂ 3T₁₂ 3T₁₂ 3T₁₂ 3T₁₂ 3T₁₂ 3T₁₂
Δ Δ Δ Δ Δ Δ Δ Δ
 3T₁₂ 3T₁₂ 3T₁₂ 3T₁₂ 3T₁₂ 3T₁₂ 3T₁₂ 3T₁₂

Poutre à mi-hauteur

Nº	Moment k.m	SR		SP ₂		
		M _w	M _w ⁺	M _{max} ⁺	M _{max} ⁻	M _e
32	Moment k.m	4,23	9,30	6,495	-0,619	4,24
	Acier cm ²	4,52	8,64	5,65	3,39	4,52
33	Moment k.m	12,06	7,43	3,243	-8,77	12,11
	Acier cm ²	10,65	6,78	4,52	7,69	10,65
34	Moment k.m	10,96	6,29	4,291	-7,68	11,02
	Acier cm ²	10,65	6,03	3,39	6,78	10,65
35	Moment k.m	8,59	3,81	4,353	-5,20	8,63
	Acier cm ²	7,69	3,39	3,39	5,65	7,69

32)	acières (cm ²)	4,52	3,39	4,52
		8,64	5,65	8,64
	acières adoptées	3T ₁₄	3T ₁₄	3T ₁₄
		3T ₁₆ + 9T ₁₄	3T ₁₆	3T ₁₆ + 2T ₁₄
33)	acières (cm ²)	10,65	7,69	10,65
		6,78	4,52	6,78
	acières adoptées	4T ₁₆ + 2T ₁₄	4T ₁₆	4T ₁₆ + 2T ₁₄
		4T ₁₄ + 2T ₁₂	4T ₁₂	4T ₁₂ + 2T ₁₂
34)	acières (cm ²)	10,65	6,78	10,65
		6,03	3,39	6,03
	acières adoptées	4T ₁₆ + 2T ₁₄	4T ₁₆	4T ₁₆ + 2T ₁₄
		4T ₁₄	4T ₁₂	4T ₁₄
35)	acières (cm ²)	7,69	9,65	7,69
		3,39	3,39	3,39
	acières adoptées	3T ₁₆ + 1T ₁₄	3T ₁₆	3T ₁₆ + 1T ₁₄
		3T ₁₂	3T ₁₂	3T ₁₂

Portique 2-2

Calcul des moments max.

$$\Sigma M/A = 0$$

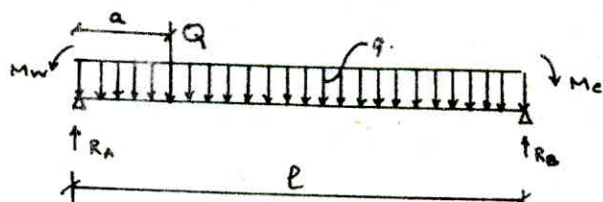
$$\Rightarrow R_B = \frac{M_e - M_w}{l} + \frac{q l}{2} + \frac{Q a}{l}$$

$$M(x) + M_e - R_B x + q \frac{x^2}{2} + Q(x-l+a) = 0$$

$$\frac{dM(x)}{dx} = R_B - qx - Q = 0$$

$$\Rightarrow x = \frac{R_B - Q}{q}$$

$$M_{max} = -M_e + \frac{(R_B - Q)^2}{2q} + Q(l-a)$$



Ferraillages longitudinaux des poutres

Niv	V		IV		III		II		I	
N°	1	2	3	4	5	6	7	8	9	10
M_w t.m	7,16	5,93	13,27	9,21	16,29	11,25	18,35	12,78	13,37	12,60
Acier cm²	4,41	3,90	11,53	5,50	15,44	7,00	16,31	11,57	15,44	11,82
M_w^+ t.m.	—	—	0,28	—	3,82	1,160	6,24	2,23	6,31	1,08
Acier cm²	—	—	1,64	—	2,17	1,64	3,90	1,64	3,90	1,64
$M_{w\max}$ t.m.	7,29	7,10	9,90	9,26	9,90	9,26	9,9	9,26	9,9	9,26
Acier cm²	4,41	4,41	6,31	5,50	6,31	5,50	6,31	5,50	6,31	5,50
$M_{w\max}^-$ t.m.	7,863	8,707	0,226	7,056	11,553	9,525	9,925	11,454	7,910	13,173
Acier cm²	1,64	1,64	1,64	1,64	1,64	5,50	2,17	7,00	2,17	11,57
M_e t.m	6,02	7,15	9,42	12,99	11,49	16,04	13,02	18,10	12,78	17,07
Acier cm²	3,90	4,41	5,50	11,57	7,00	15,44	11,57	16,31	11,31	15,44
M_e^+ t.m	—	—	—	0,52	0,92	4,07	2,00	6,49	0,89	6,62
Acier cm²	—	—	—	1,64	1,64	2,67	1,64	3,90	1,64	3,90

Niveau II Aciers 4,41 1,64 3,80 1,64 5,50 aciers 3 T₁₄ 3 T₁₂ 3 T₁₄ 3 T₁₂ 3 T₁₄
 (cm²) — 5,42 — 5,42 — adoptés 3 T₁₂ 3 T₁₄ 3 T₁₂ 3 T₁₄ 3 T₁₂

Niveau III Aciers 11,57 1,64 5,5 4,41 11,57 aciers (3 T₂₀+2 T₁₀) 3 T₁₂ 3 T₁₆ 3 T₁₄ (3 T₂₀+1 T₁₀)
 (cm²) — 6,32 0 5,50 1,64 adoptés 3 T₁₂ (3 T₁₄+1 T₁₆) 3 T₁₂ 3 T₁₆ 3 T₁₂

Niveau IV Aciers 35,64 3,64 7,00 5,50 15,44 aciers (3 T₂₀+2 T₁₀) 5 T₁₂ 3 T₂₀ 3 T₁₆ (3 T₂₀+2 T₁₀)
 (cm²) 2,39 6,32 1,64 5,50 2,67 adoptés 3 T₁₂ (3 T₁₄+1 T₁₆) 5 T₁₂ 3 T₁₆ 3 T₁₂

Niveau V Aciers 76,31 2,17 11,57 7,00 14,32 aciers 3 T₂₀+2 T₂₀) 3 T₁₂ (3 T₂₀+1 T₂₀) 3 T₂₀ (3 T₂₀+2 T₂₀)
 (cm²) 3,90 6,32 0,744 5,5 3,9 adopté 8 T₁₄ (3 T₁₆+1 T₁₄) 3 T₁₂ 3 T₁₆ 3 T₁₂

Niveau I Acier 15,44 2,17 14,32 11,57 15,44 aciers (3 T₂₀+2 T₂₀) (3 T₂₀+1 T₂₀) (3 T₂₀+1 T₂₀) (3 T₂₀+2 T₂₀)
 (cm²) 3,9 6,32 1,64 5,5 3,90 adoptés 3 T₁₄ (3 T₁₆+1 T₁₄) 3 T₁₂ (3 T₁₆) 3 T₁₄

Vérifications

a) conditions de non fragilité

$$A \geq b h \sqrt{\frac{b}{a}} \left(\frac{ht}{h} \right)^2 = 25 \cdot 46,5 \cdot 0,54 \frac{5,9}{2800} \left(\frac{50}{46,5} \right)^2 = 1,52 \text{ cm}^2$$

Toutes les sections vérifient cette condition.

b) Condition de flèche

On le fait pour la poutre de portée max et de moment max

$$\text{t) } h \geq \frac{1}{16} \cdot l = 1/16 \cdot 480 = 30 \text{ cm}^2 \quad (\text{art 61 - 21 CC BA 68})$$

Vérifiée pour toutes les sections.

$\frac{ht}{I} > \frac{1}{10} \frac{Mt}{Mo}$ n'est pas vérifié donc on doit faire un calcul de flèche.

Calcul de flèche (art 61-2 CC BA 68)

on doit avoir $f_t = f_{g_{\infty}} - f_{j_0} + f_{q_0} - f_{g_0} \leq f_a$

$f_{g_{\infty}}$: flèche dûe à l'ensemble des charges permanentes de longue durée d'application.

f_{q_0} : flèche dûe à l'ensemble des charges permanentes de faible durée d'application.

f_{j_0} : flèche dûe aux charges permanentes appliquées au moment de la mise en oeuvre des cloisons.

f_{g_0} : flèche dûe à l'ensemble des charges et surcharges supportées par l'élément considéré

f_a : $\frac{1}{500}$: flèche admissible (1 portée libre 5 m au plus)

./. .

$f_a = 0,5 \text{ cm}^2 + \frac{\rho}{1000}$ si la portée est supérieure à 5 mètres.

$$f_{go} = \frac{M_g \cdot l^2}{10 E_v I_{fv}}$$

$$F_{jo} = \frac{M_g l^2}{10 E_i I_{fi_1}}$$

$$f_{go} = \frac{M_g l^2}{10 E_v I_{fv}}$$

$$F_{jo} = \frac{M_{qo} l^2}{10 E_i I_{fi_2}}$$

E_i , E_v : Modules de déformations longitudinales.

$$E_i = 21000 \sqrt{1,1 \cdot 270} = 361907 (\text{kg/cm}^2)$$

$$E_v = 7000 \sqrt{1,1 \cdot 270} = 120635 (\text{kg/cm}^2)$$

$$I_f = \frac{I_t}{1 + \lambda_u}; \quad I_t \text{ moment d'inertie de la section totale rendue homogène calculé avec } n = 15$$

$$\lambda = \lambda_i = \frac{\zeta_b}{72 (2' + 3 \frac{b_0}{b})} \quad \text{Pour les charges de faible durée d'application.}$$

$$\lambda = \lambda_w = \frac{\zeta_b}{180 (2' + 3 \frac{b_0}{b})} \quad \text{pour les charges permanentes.}$$

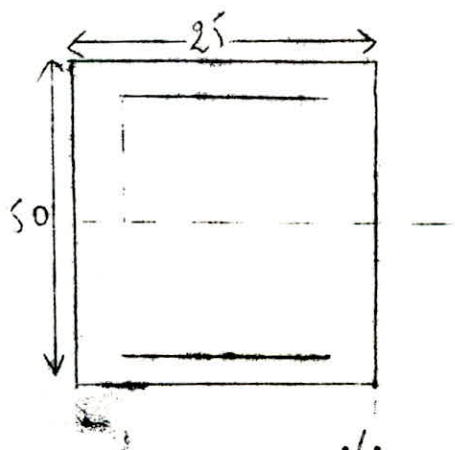
$$M = 1 - \frac{5 \zeta_b}{4 \pi \zeta_a + 3 \zeta_b} \quad \text{Si } \lambda > 0 \quad \text{si non } M = 0$$

calcul de I_t

$$I_t = \frac{B \cdot h^3}{12} + 15 \cdot A \cdot \left(\frac{ht}{2} - d \right)^2$$

$$I_t = \frac{25 \cdot 50^3}{12} + (21,5)^2 \cdot 11,57 \cdot 15$$

$$I_t = 34,1 (10) \text{ cm}^4.$$



Calcul des moments

On obtient pour les charges (non pondérées) les valeurs suivantes.

$$M_g = M_j$$

$$g = 505 \times 4,55 = 2,298 \text{ t / ml}$$

$$q = 120 \times 4,55 = 0,546 \text{ t / ml}$$

$$q_0 = g + q = 2,044 \text{ t / ml}$$

$$M_g = M_j = \frac{2,298 \cdot 4,8}{8} = 6,62 \text{ tm}$$

$$M_{q_0} = \frac{2,044 \cdot 4,8}{8} = 8,19 \text{ tm}$$

$$\sigma_g = \frac{15 M_g}{J_a b h^2} = \frac{15 \cdot 6,62 \cdot 10^5}{2800 \cdot 25,46,5^2} = 0,0656 \quad \left\{ \begin{array}{l} \Sigma = 0,8845 \end{array} \right.$$

$$\sigma_{q_0} = \frac{15 M_{q_0}}{J_a b h^2} = \frac{15 \cdot 8,19 \cdot 10^5}{2800 \cdot 25,46,5^2} = 0,0812 \quad \left\{ \begin{array}{l} \Sigma = 0,8845 \end{array} \right.$$

$$\sigma = \frac{M}{A \Sigma h}$$

Contraintes

$$\sigma_{qq_0} = \frac{8,19 \cdot 10^5}{11,57 \cdot 0,8845 \cdot 46,5} = 1721 \text{ kg/cm}^2$$

$$\sigma_{ag} = \frac{6,62 \cdot 10^5}{11,57 \cdot 0,8845 \cdot 46,5} = 1375 \text{ kg/cm}^2$$

.../..

$$w = \frac{11,57}{25 \cdot 46,5} = 0,0099 = 0,01$$

$$M_{i3} = 1 - \frac{5 \bar{G} b}{\cancel{a} w + \cancel{3} \bar{G} b} = 1 - \frac{5 \times 5,9}{4 \times 0,01 \cdot 1375 + 3 \times 5,9} = 0,594$$

$$M_V = M_{i1} = M_{i2} = 1 - \frac{(5,9) \times 5}{4 \cdot 1721 \cdot 0,01 + 3 \cdot 5,9} = 0,659$$

$$\lambda_V = \frac{5,9}{100 (2+3) 0,01} = 0,655$$

$$\lambda_1 = \frac{5,9}{72(2+3) 0,01} = 1,639$$

$$I_{fv} = \frac{34,1 \cdot 10^4}{1 + 0,655 \cdot 0,659} = 238210^4$$

$$I_{fi_1} = I_{fi_2} = \frac{34,1 \cdot 10^4}{1 + 1,639 \cdot 0,659} = 16,3910^4$$

$$I_{fi_3} = \frac{34,1 \cdot 10^4}{1 + 1,639 \cdot 0,594} = 17,2810^4$$

Calcul des fléches

$$F_g = \frac{6,6210^5 \cdot 4,8^2 \cdot 10^4}{10 \cdot 120635 \cdot 23,02 \cdot 10^4} = 0,537$$

$$F_{j0} = F_{go} = \frac{6,62 \cdot 10^5 \cdot 4,8^2 \cdot 10^4}{10 \cdot 361907 \cdot 16,3910^4} = 0,257$$

C3

$$F_{q0} = \frac{0,1910^5 \cdot 4,8^2 \cdot 10^4}{10 \cdot 361907 \cdot 172810^4} = 0,3017$$

$$\Delta f = 0,537 - 0,257 + 0,3017 - 0,257 = 0,3247 \text{ cm}$$

$$f_x = \frac{1}{500} = \frac{455}{500} = 0,91 \text{ cm}$$

donc $\Delta f < f_a$ la fléche est vérifiée.

Pourcentage d'armatures

Le pourcentage total minimum des aciers longitudinaux, sur toute la longueur de la poutre doit être de 0,3 % pour les aciers de haute adhérence.

$$\bar{w} 1 \text{ min} = \frac{0,3}{100} \cdot 25 \cdot 60 = 3,75 \text{ cm}^2$$

Le pourcentage max doit être de 2,5 %

$$\bar{w} 1 \text{ max} = \frac{2,5}{100} \cdot 25 \cdot 60 = 31,25 \text{ cm}^2$$

Vérifications des contraintes

La section A des armatures tendues étant connue nous calculerons $\bar{w} = \frac{100 A}{bh}$ et nous lirons dans le tableau considéré, sur la ligne correspondante à \bar{w} les valeurs (Σk) d'où $\sigma_a = \frac{M}{A \Sigma h}$; $\sigma_b = \frac{\sigma_a}{K}$

Les valeurs trouvées pour σ_a et σ_b doivent être inférieures aux contraintes admissibles.

c) Condition de non entrainement des barres

La contrainte d'adhérence vis à vis de l'entrainement des armatures

$$\text{est } \bar{\sigma}_d = 2 \psi_d \bar{\sigma}_b \quad \psi_d = 1,5 \text{ (H . A)} \\ \bar{\sigma}_b = 5,9 \text{ kg/cm}^2$$

$$\bar{\sigma}_d = 17,7 \text{ kg/cm}^2 \quad (\text{SP}_1)$$

$$\bar{\sigma}_d = 1.5 \cdot 17.7 = 26,55 \text{ kg/cm}^2 \quad (\text{SP}_2)$$

$$\text{on doit avoir } \bar{\sigma}_d = \frac{T}{a_p z} \leq \bar{\sigma}_d$$

T : effort tranchant max

P : Périmètre utile de l'armature.

$$T = 13,279 \text{ t} \rightarrow A = 16,31 \rightarrow 6 \text{ T 20} = 16,05 \text{ cm}^2 \\ P = 37,70 \text{ cm}^2$$

$$\bar{\sigma}_d = \frac{13279}{37,70 \cdot \frac{7}{8} \cdot 46,5} = 0,6 \text{ kg/cm}^2 < \bar{\sigma}_d \text{ vérifiée}$$

conditions au appuis

a) l'effort tranchant crée des efforts de compression dans des bielles du béton inclinées à 45° = $T\sqrt{2}$, pour que $\bar{\sigma}_{bo}$ on doit avoir :

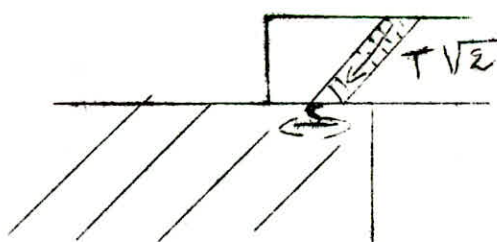
$$c \geq \frac{2T}{b\bar{\sigma}_{bo}} = c_o$$

c_o : étant la largeur de la bieille nécessaire pour transmettre les efforts de la poutre au poteau

T : effort tranchant à l'appui de rive

T : 13,279 t

$\bar{\sigma}_{bo}$: $68,5 \text{ kg/cm}^2$



C : distance du fond de l'appui au point où commence l'encrage de l'armature inférieure.

$$C = a - (d + r) \text{ avec}$$

a = largeur du poteau

d = enrobage

r = rayon de courbure ; barre HA

$$r = 5,5 \varnothing$$

\varnothing : diamètre des barres inférieures = 12 mm

$$C = 50 - (4 + 5,50 \cdot 1,2) = 39,3 \text{ cm}$$

$$C_0 = \frac{2 \cdot 13279}{25 \cdot 68,5} = 15,5 \text{ cm}$$

$C > C_0$ vérifiée

Armatures inférieures

Sur les appuis ; les sections d'armatures inférieures doivent vérifier l'inégalité suivante.

$$A \leq a > T + \frac{M}{Z} \quad (\text{résulter de la combinaison la plus défavorable}),$$

avec $\left\{ \begin{array}{l} M : \text{moment fléchissant en valeur algébrique} \\ T : \text{l'effort tranchant est considéré comme positif} \end{array} \right.$

Condition de non écrasement du béton

Dans une partie courbe d'une barre tendue , le rayon de courbure r doit satisfaire à l'inégalité suivante :

$$r \geq 0,10 \varnothing \frac{\sigma_a}{\sigma_{bo}} \left(1 + \frac{\varnothing}{d} \right)$$

\varnothing : diamètre de barre

d : distance de centre de courbure de la barre à la paroi dont la proximité augmente le danger d'écrasement du béton soit :

$$d = 4 \text{ cm}$$

\exists = 1 barre faisant partie d'un ensemble de barres courbées disposées en seul lit.

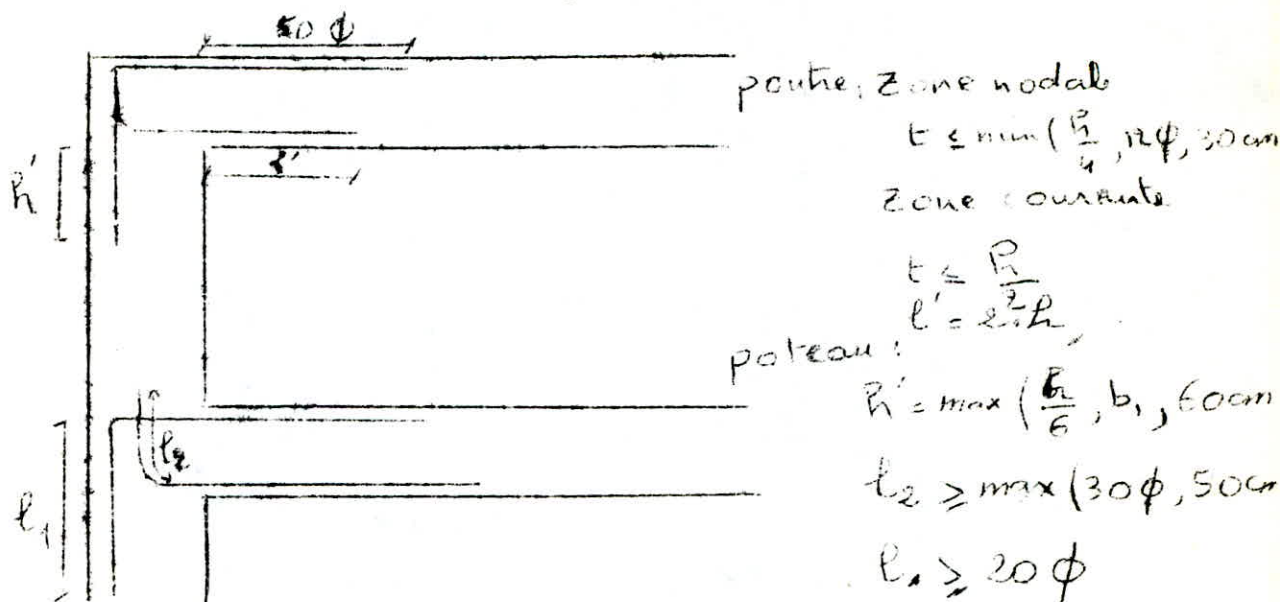
pour $\varnothing = 20 \text{ mm}$

.//.

$$r \geq 0,10 \cdot 2 \cdot \frac{2600}{68,8} \left(1 + \frac{2}{4}\right) \cdot 1 = 16 \text{ cm.}$$

C) Ancrage des armatures

L'ancrage des armatures longitudinales dans les poteaux de rive ou d'angle doit être effectué conformément à la figure suivante.



E) Armatures inférieures Art 35 - 32 CC BA 60

Sur les appuis ; les sections d'armatures inférieures doivent vérifier l'inégalité suivante :

$$A_f \geq T + \frac{M}{Z}$$

M : moment de la section d'appuis pris avec son signe, les différentes appuis seront considérés successivement.

$(T + \frac{M}{Z})$ doit résulter de la combinaison la plus défavorable.

./. .

portique 2-2

	appui	1	2
T (t)	9,505	7,552	
M (tm)	- 7,12	- 5,58	
$\frac{I+M/Z}{\sigma_a}$	< 0	< 0	

	appui	1	2
T (t)	13,279	13,279	
M (tm)	- 18,35 + 6,24	- 13,01	
$\frac{I+M/Z}{\sigma_a}$	< 0	< 0	< 0

$$A > \frac{T + M/Z}{a} \quad \text{vérifiée}$$

Toutes les sections inférieures adoptées sont plus grandes que les valeurs imposées par les conditions aux appuis.

F) Vérification des contraintes

*) La section d'armature adoptée est supérieure à la section calculée

$$\Rightarrow \bar{\zeta}_a < \bar{\zeta}_a \quad (\text{valable pour toutes les sections})$$

$$*) \bar{\zeta}'_b = \frac{\bar{\zeta}_a}{K} \quad M = 18,35 t \Rightarrow M = \frac{15 M}{\bar{\zeta}_{ab} h^2} = 0,1212 \Rightarrow K = 21,8$$

$$\bar{\zeta}'_b = \frac{\bar{\zeta}_a}{K_{im}} = \frac{4200}{21,8} = 192,66 \text{ kg/cm}^2 < 202,6 \text{ kg/cm}^2 \text{ vérifiée donc } \bar{\zeta}'_b < \bar{\zeta}_b \text{ est vérifiée}$$

pour toutes les sections la condition est vérifiée

G) vérification à la fissuration

$$\frac{q_f}{q_g} = \frac{A}{B g} = \frac{A}{2 b d} = \frac{3,39}{2 \cdot 25 \cdot 4} = 0,017$$

. / .

963

$$K = 1 \cdot 10^6$$

$$M = 1,6$$

$$\phi = 12 \text{ mm}$$

$$\sigma_1 = \frac{KM}{\phi} \frac{W_f}{1 + M W_f} = 2906 \text{ kg/cm}^2$$

$$\sigma_2 = 2,4 \sqrt{\frac{M K b}{\phi}} = 2607 \text{ kg/cm}^2$$

$\sigma_a < \max(\sigma_1, \sigma_2)$ vérifié $\Rightarrow \sigma_a = \sigma_2$

Armatures transversales

On calculera les armatures transversales pour l'effort tranchant maximum d'appui, partout le niveau considéré, les armatures et les espacements calculés seront adoptés pour toutes les travées du niveau.

Portique C - C

niv	1		2		3		4		5		mi-hauteur	
appuis	1	2	1	2	1	2	1	2	1	2	1	2
$T(x)$	7,481	7,481	7,703	7,703	6,721	6,721	4,833	4,833	2,240	2,240	11,468	11,468
$M(kN.m)$	-2,65 +8,11	-2,25 +7,19	-3,60 +3,16	-3,27 +2,69	-2,69 +2,63	-2,36 +2,65	-2,36 +2,65	-2,36 +2,65	-2,36 +2,65	-2,36 +2,65	-2,20 +1,72	-2,20 +1,72
$x^2(m)$	<0	<0	<0	<0	<0	<0	<0	<0	<0	<0	<0	<0
b^2	6,5	6,1	6,8	6,3	5,0	5,4	3,1	3,5	1,9	1,6	3,1	3,7

$$A > \frac{T + M/Z}{\sigma_a}$$

vérifiée dans toutes les sections

Mir	1	2	3	4	5					
appuis	1	2	1	2	1	2	1	2	1	2
T(t)	7,402	7,402	11,931	11,931	12,760	12,760	13,273	13,273	12,702	12,702
M(t.m)	7,16	-6,02	-13,23	-9,42	-16,19	-11,19	-18,33	-13,01	-17,37	-12,78
T + M/Z	<0	<0	<0	<0	<0	<0	<0	<0	<0	<0
\bar{f}_a	-	-	3,00	-	5,27	3,57	6,8	4,33	6,7	3,1

Poutres du portique C - C

$$A > \frac{T + M/Z}{\bar{f}_a} \text{ vérifiée pour toutes les sections}$$

$$\mathcal{E}_b = \frac{1,5 T_{\max}}{b z} = 7,57 \text{ kg/cm}^2 < \mathcal{E}_{bl}$$

On utilise des cadres plus étriers verticaux

$$\bar{E} = \left\{ \begin{array}{l} 0,2 h = 9,3 \text{ cm} \\ h \left(1 - \frac{0,3 \mathcal{E}_b}{\mathcal{E}_{bl} 2 - 2} \right) = 46,5 \left(1 - 0,3 \frac{7,57}{5,9} \right) = 20,6 \text{ cm} \Rightarrow t = 14 \text{ cm} \end{array} \right.$$

Poutres du portiques 2-2

$$\mathcal{E}_b = 13,05 \text{ kg/cm}^2 < \mathcal{E}_{bl} \quad \text{on utilise de cadres plus étriers verticaux}$$

$$\bar{E} = \left\{ \begin{array}{l} 0,2 h = 0,2 \cdot 46,5 = 9,3 \text{ cm} \\ h \left(1 - 0,3 \frac{\mathcal{E}_b}{\mathcal{E}_{bl}} \right) = 46,5 \left(1 - 0,3 \frac{13,05}{5,9} \right) = 15,6 \end{array} \right.$$

$$\bar{E} = 15,6 \text{ cm}$$

$$t = 14 \text{ cm}$$

$$\text{On prend } \sigma_{at} = 2800 \text{ kg/cm}^2$$

$$A_t = \frac{T E}{Z \sigma_{at}} = \frac{13273 \cdot 4}{40,7 \cdot 2800} = 1,6 \text{ cm}^2 \Rightarrow t_8 = 2,01 \text{ cm}^2$$

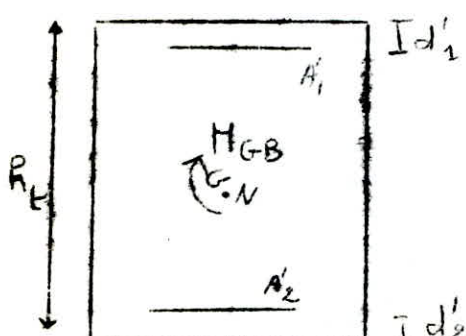
100

Ferraillage des poteaux

Les poteaux seront calculés en flexion composée ; chaque poteau **est** soumis à un effort normal N et à des moments fléchissants en tête et à la base , dans le sens longitudinal et dans le sens transversal .

Le calcul se fera sous la sollicitation du 1^{er} genre ($G + 1,2p$) et sous la plus défavorable des sollicitations du 2^{eme} genre et ils seront ferrailles symétriquement; 2 cas peuvent se présenter exposé de la méthode

a) section rectangulaire entièrement comprimée: $A'_1 = A'_2$



M_{GB} moment de flexion/C.G

du beton seul de la section

la section est entièrement comprimée si

$$e_0 = \frac{M_{GB}}{N'} < \frac{h_t}{6} = e_1$$

N' : effort normal au CDG . du beton seul .

e_0 : excentricité de la charge .

Dans ce cas ; la section sera armée symétriquement: $A'_1 = A'_2 =$

la détermination des armatures se fera par les formules suivantes :

$$\rho = \frac{\bar{\sigma}' b \cdot bht}{N'} ; \quad \alpha = \frac{6 M_{GB}}{N' ht} ; \quad C = 0,27(1 - 2 \beta')^2$$

$$D = 0,30(\beta - \rho) - 0,90(1 - \rho)(1 - 2 \beta')^2 ; \quad E = -(1 + B - \beta)$$

$$\hat{w}' = \frac{-D + \sqrt{D^2 - 4EC}}{2C} ; \quad A'_1 = A'_2 = \frac{\hat{w}' - bht}{100} \quad \dots / \dots$$

Section partiellement comprimée :

b) la section rectangulaire on applique la méthode de charon de détermination des armatures A et A' de manière que $A = A'$ (page 280) au moyen d'abaques .

Exposé de la méthode

M_a^t : moment des forces extérieures situées à gauche de la section par rapport aux armatures tendues .

M_a^c : moment des mêmes forces extérieures par rapport aux armatures comprimées .

$$M_a^t = M + N_a .$$

$$M_a^c = M - N_a .$$

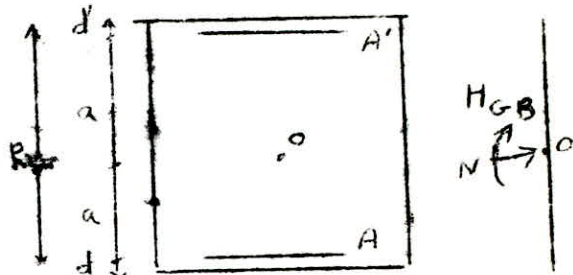
avec $N > 0$ dans les cas d'une compression

$N < 0$ dans le cas d'une traction

posons $d = \xi h$

$$K_0 = \frac{\bar{J}_a}{\bar{J}'_b}$$

$$R_t = R + d$$



$$\mu_1 = \frac{n M_a^t}{\bar{J}_a b h^2} ; \quad \mu_2 = \frac{n M_a^c}{\bar{J}_a b h^2}$$

et on utilisera l'âbaque ; établi à partir de \bar{J}_a correspondant à la valeur de ξ relative à la section étudiée. la valeur de \tilde{w} et w' sera obtenue à l'intersection C des courbes μ_1 et μ_2

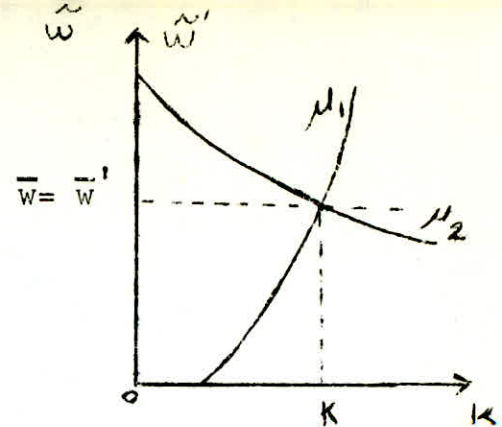
à condition que l'on ait pour

$$\text{l'abscisse } K \text{ du point C . } K > K_0 = \bar{K} \Rightarrow A = \frac{\tilde{w} E F}{100}$$

$$A = w \frac{bh}{100}$$

Si $K < K_0$ on calculerait alors

$$\mu_1' = \frac{M_a^t}{\bar{\sigma}_b' b h^2} ; \quad u_2' = \frac{M_a^c}{\bar{\sigma}_b' b h^2}$$



et on utiliserait l'abaque, établi à partir de $\bar{\sigma}_b'$ et correspondant à la valeur de δ' . et on tire w .

$$A' = A = \hat{w} \cdot \frac{bh}{100}$$

Evaluation de la contrainte admissible du béton

pour une section rectangulaire

$$\bar{\sigma}_b' = \left[1 + \frac{2e_0}{ht} \right] \bar{\sigma}'_{bo} \quad \text{si } e_0 < \frac{ht}{2}$$

$$\bar{\sigma}'_b = 2 \bar{\sigma}'_{bo} \quad \text{si } e_0 > \frac{ht}{2}$$

Sections soumises à la compression simple.

$$A' \geq \frac{1}{n} \left[\frac{N'}{\bar{\sigma}'_{bo}} - B' \right]$$

avec N' = effort de compression.

B' = section du béton comprimé

$\bar{\sigma}'_{bo}$ = contrainte de compression simple

A' = sections d'aciels longitudinaux.

pourcentage minimal

$$\frac{A}{B} = \hat{w} \geq \frac{1,25}{1000} \theta_1 \theta_2 \theta_3 \frac{\bar{\sigma}'_m}{\bar{\sigma}'_{bo}} \quad \text{avec}$$

θ_1 : qui dépend de la position du poteau

- poteau d'angle $\theta_1 = 1,8$
- poteau de rive $\theta_1 = 1,4$
- poteau quelconque $\theta_1 = 1$

$$\theta_2 = 1 + \frac{lc}{\frac{ha}{2} - 2c} : \begin{aligned} lc &: \text{longueur de flambement} \\ a &: \text{la plus petite dimension} \\ &\text{transversale de la section} \\ C &: \text{enrobage.} \end{aligned}$$

$$\theta_3 : 1 + \frac{2160}{\sigma_{\text{en}}} : \begin{aligned} \sigma_{\text{en}} &: \text{contrainte limite des aciers} \\ &\text{longitudinaux.} \end{aligned}$$

$$\sigma'_m = \frac{N'}{B} \quad \text{pour les sections entièrement comprimées ou les sections soumises à la compression simple.}$$

$$B = bht$$

$$\sigma'_m = \frac{N'}{B'} = \frac{N'}{by_1} \quad \text{pour les sections partiellement comprimées}$$

on se referera au diagramme de Navier

$$y_1 = h \frac{\bar{\sigma}'_b}{\bar{\sigma}'_b + \bar{\sigma}_a}$$

- la distance entre les barres verticales sur une face du poteau ne doit pas dépasser 25cm en zone I et II et 20cm en zone III.
- la longueur minimale de recouvrement est de 50 Ø
- les armatures transversales doivent être des cadres et des etriers fermés.

espacement des armatures transversales :

$$\phi_{\min} = 14 \text{ mm}$$

$$\text{zone nodale} \quad t \leq \min (10 \phi ; 15 \text{ cm}) = 14 \text{ cm}$$

$$\text{zone courante} \quad t \leq 12 \phi = 16,8 \text{ cm}$$

c) flambement des poteaux

Tous les poteaux ne sont pas sujet au flambement car :

$$\boxed{\frac{lc}{a} < 14,4}$$



$$l_c = 0,7 l_o$$

l_o : longueur libre du poteau

l_c : longueur de flambement

a : plus petite dimension de la section .

Armatures transversales

- ces armatures sont destinées à s'opposer au gonflement du béton et au flambement des armatures .
- positionner les armatures longitudinales .
- reprendre l'effort tranchant dans les poteaux .
(dans notre cas les armatures Transversales sont cadrées et fermées)

RECOMMANDATIONS DU C.T.C :
Armatures longitudinales : ces barres doivent être des barres à haute adhérence ; *la longueur min de recouvrement = 50f = 70cm*

- diamètre minimum est 12mm en zone I et 14 mm en zone II et III
- pourcentage minimum total des armatures est de :

zone I et II 0,8 % S poteaux intérieurs

 0,9 % S poteaux courant (de façade)

 1,0 % S poteaux d'angle .

zone III 1,0 % poteaux intérieurs .

 1,1 % poteaux courant (de façade)

 1,25 % poteaux d'angle .

pourcentage maximum : dans notre cas :

pour les poteaux :

zone nodale 4 % = 50 cm^2

zone courante 2,5 % = $31,25 \text{ cm}^2$

Aacier min pour { (2, 18, 19, 20) 11,25 cm^2 (façade)
les poteaux (17) 12,5 cm^2 (angle)
 (10) 10 cm^2 (intérieur)

Portique C-C M_x

Pot.	Niv.	SP _z		SP _y		M _{corr}	N _{min}	M _{corr}
		M _{max}	N	M _{max}	N _{corr}			
17	IV	0,44	0,816	1,80	1,649	0,002	0,99	
	III	0,38	2,553	2,73	5,361	0,211	2,04	
	II	0,41	4,278	3,64	10,143	2,056	2,87	
	I	0,34	5,974	3,98	15,703	3,721	3,32	
		0,37	7,653	5,02	20,99	5,69	4,55	
18	IV	0,13	1,674	2,69	1,99	1,205	2,46	
	III	0,02	5,33,6	4,03	395	4,03	3,95	
	II	0,00	8,738	5,58	6,333	5,58	6,333	
	I	0,11	12,155	6,58	8,716	6,58	8,716	
		0,07	15,63	5,81	17,56	11,225	12,44	
19	IV	0,21	13,88	4,15	1,83	1,418	3,79	
	III	0,13	5,583	7,09	3,999	7,09	3,999	
	II	0,24	9,126	9,21	5,859	9,21	5,859	
	I	0,25	12,66	3,98	9,17	7,39	9,94	
		0,38	16,10	17,72	22,02	8,69	4,93	
20	IV	0,11	1,37	4,09	1,27	4,09	1,27	
	III	1,43	8,09	6,66	9,31	6,50	3,81	
	II	1,18	14,66	9,95	16,98	11,67	4,61	
	I	0,77	21,25	6,80	17,35	6,80	17,35	
		1,76	17,70	17,65	14,77	17,65	17,77	

Portiques transversal M_y

Pot.	Niv.	SP _z		SP _y		M _{corr}	N _{min}	M _{corr}
		M _{max}	N	M _{max}	N _{corr}			
17	IV	2,17	2,26	3,58	4,76	0,667	6,90	
	III	2,33	8,19	11,85	14,55	0,64	7,49	
	II	2,20	14,14	12,89	25,71	0,61	8,78	
	I	2,43	20,04	15,17	37,54	0,17	10,64	
		1,92	25,90	25,88	48,35	0,002	24,29	
18	IV	3,23	6,05	716	7,32	3,89	2,86	
	III	34,5	15,55	8,79	19,25	9,42	2,64	
	II	3,39	24,95	10,00	38,09	13,91	3,81	
	I	3,48	34,25	10,35	48,29	17,72	4,11	
		2,58	43,33	14,37	57,99	34,75	5,86	
19	IV	2,56	5,55	3,50	6,32	3,96	1,35	
	III	2,51	14,37	4,15	13,51	3,52	6,58	
	II	2,42	23,11	4,60	27,19	15,36	6,18	
	I	2,34	31,74	4,87	37,99	20,42	6,61	
		1,60	40,10	4,07	48,57	25,14	2,34	
20	IV	2,54	5,73	3,47	6,50	4,22	1,42	
	III	2,83	13,67	3,87	15,99	10,28	6,65	
	II	2,17	23,41	4,08	27,71	15,93	6,26	
	I	2,18	29,13	4,39	35,49	21,44	6,13	
		1,48	36,63	3,32	44,96	26,79	7,49	

Portique longitudinale

Pot.	Niv.	SP _z		SP _y		M _{corr}	N _{min}	M _{corr}
		M _{max}	N	M _{max}	N _{corr}			
10	IV	0,14	2,47	3,50	3,00	2,12	3,24	
	III	0,30	4,60	4,156	4,98	3,59	3,97	
	II	0,70	6,73	5,94	7,28	5,15	4,55	
	I	1,48	8,87	7,25	9,50	6,82	4,74	
		1,87	8,87	7,25	9,50	7,25	9,50	
2	IV	0,13	7,67	2,69	7,99	1,2	3,46	
	III	0,02	5,33	4,03	3,95	4,03	3,95	
	II	0,00	8,74	5,57	6,33	5,58	6,33	
	I	0,44	12,16	6,58	8,72	6,58	8,72	
		0,07	75,63	5,8	17,56	5,8	17,56	

Efforts normaux et moments dans les poteaux.

SP ₂	M _{max}	7,15	8,68	9,88	10,23	14,43
	M _{corr}	2,18	2,74	3,93	4,23	2,05
	M _{min}	3,75	8,13	11,49	14,16	16,98
	N _{min}	7,180	17,962	29,586	41,729	53,272
	N _{corr}	7,180	17,962	29,586	41,729	53,272
SP ₁	N	5,913	14,27	22,53	30,696	38,616
	M _{max}	4,22	3,31	3,28	3,36	2,39
Poteau 2						
SP ₂	M _{corr}	2,69	4,67	6,53	7,63	5,33
	N _{min}	9,412	20,35	31,93	43,929	56,78
	N _{corr}	12,994	28,845	44,528	60,028	75,635
	M _{max}	3,50	4,67	6,53	7,63	8,91
SP ₁	N	12,04	26,93	42,027	53,311	73,064
	M _{max}	0,10	0,12	0,12	0,12	0,07
Poteau 10						
SP ₂	M _{corr}	2,36	2,64	3,82	4,11	12,11
	N _{min}	3,893	9,420	13,514	17,72	21,703
	N _{corr}	7,319	19,250	32,010	45,29	57,992
	M _{max}	7,16	8,79	10,00	10,35	14,37
SP ₁	N	6,051	15,556	24,951	34,253	43,332
	M _{max}	4,23	3,45	3,39	3,48	2,58
Niveau H H H H H						
Poteau						

Poteau	Niv	S'P ₁				S'P ₂					
		M _x ^{max}	N	M _y ^{max}	M _x ^{corr.}	M _y ^{corr.}	N _{max}	N _{min}	M _x ^{corr.}	M _y ^{corr.}	
17	II	0,44	3,06	7,58	1,80	7,58	6,41	0,669	0,99	6,90	
	IV	0,38	10,72	11,85	2,79	11,85	10,92	0,85	2,04	7,49	
	III	0,41	18,42	12,89	3,64	12,89	35,25	2,67	2,87	8,78	
	II	0,34	26,01	15,17	3,98	15,17	53,24	3,89	3,32	10,64	
	I	0,37	33,53	25,88	5,02	25,88	59,69	5,69	4,55	24,89	
18	II	0,13	7,72	7,16	2,69	7,16	9,31	5,09	2,69	2,36	
	IV	0,02	20,88	8,79	4,03	8,79	23,2	13,37	4,03	2,64	
	III	0,00	33,68	10,00	5,58	10,00	38,34	20,24	5,58	3,81	
	II	0,11	46,4	10,35	6,58	10,35	54,00	26,43	6,58	4,11	
	I	0,07	58,96	14,37	5,82	4,37	75,55	32,91	12,11	5,86	
19	II	0,21	7,338	3,50	4,15	3,50	8,15	5,38	3,79	1,35	
	IV	0,13	19,95	4,15	7,09	4,15	17,9	13,92	7,09	0,58	
	III	0,24	32,23	4,60	921	4,60	33,05	21,22	9,21	0,78	
	II	0,25	44,4	4,87	9,98	4,87	43,16	27,81	9,94	0,61	
	I	0,38	52,2	4,07	17,72	4,07	62,59	33,83	4,33	2,34	
20	II	0,11	7,1	3,47	4,09	3,47	7,77	5,49	4,09	1,42	
	IV	1,43	21,7	3,87	6,66	3,87	25,3	16,78	3,82	0,65	
	III	1,18	36,07	4,08	9,95	4,02	42,69	27,14	4,62	0,26	
	II	0,77	50,38	4,39	16,80	4,39	52,84	38,79	6,80	0,73	
	I	1,76	54,33	3,32	17,65	3,32	59,73	41,96	17,65	1,49	
10	II	0,14	14,51	0,10	3,00	3,50	15,58	11,53	3,24	2,69	
	IV	0,30	31,53	0,12	4,56	4,67	33,82	23,98	3,97	4,67	
	III	0,70	48,75	0,12	5,94	6,53	51,80	37,08	4,55	6,53	
	II	1,48	66,18	0,12	7,25	7,63	69,53	50,82	4,74	7,63	
	I	1,87	84,16	0,07	8,33	8,91	87,28	68,13	8,92	5,33	
2	II	0,13	7,58	4,22	2,69	7,15	9,17	8,38	2,46	3,75	
	IV	0,02	19,6	3,31	4,03	8,68	21,91	21,91	4,03	5,13	
	III	0,00	31,27	3,28	5,58	9,88	35,91	35,91	5,58	11,49	
	II	0,11	42,79	3,36	6,58	10,23	50,45	50,45	6,58	14,12	
	I	0,07	54,25	2,39	5,8	14,43	70,83	64,48	5,66	16,98	

100

Ferrailage des poteaux sous σ_{p_2}

Poteau	NIV	$S P_2$		e_0 (cm)	e_1 (cm)	Sollicitat- ion	$\bar{\sigma}_b'$ kg/cm^2	γ_1 cm	K	M_a^t ($\text{cm} \cdot \text{m}$)	M_a^c ($\text{cm} \cdot \text{m}$)	M_2	K	\bar{w}	M_1'	M_2'	\bar{w}	$A'_1 = A'_2$ (cm^2)	A_{\min}	$A'_1 = A'_2$ (cm^2) final		
		$M_{y\max}$ $N(\text{t})$	$N(\text{t})$																			
17	II	7,58	3,06	24,77	8,33	P.C.	137,6	19,73	20,35	8,24	0,0816	6,92	0,068	35	0,48	/	/	/	5,58	12,5	12,5	
	IV	11,85	10,72	110,7	"	P.C.	137,6	19,73	20,35	14,15	0,1402	9,54	0,094	25	0,70	/	/	/	8,13	12,5	12,5	
	III	12,89	18,42	69,38	"	P.C.	137,6	19,73	20,35	16,85	0,1662	8,93	0,088	23	0,64	/	/	/	7,44	12,5	12,5	
	II	15,17	26,01	58,32	"	P.C.	137,6	19,73	20,35	20,76	0,2057	9,58	0,095	21	0,76	/	/	/	8,83	12,5	12,5	
	I	25,88	35,53	77,78	"	P.C.	137,6	19,73	20,35	33,04	0,3274	18,67	0,195	12	/	0,44	0,25	1,30	22,08	12,5	22,08	
18	II	7,16	7,72	92,75	"	P.C.	137,6	19,73	20,35	8,82	0,0874	5,50	0,054	32,5	0,40	/	/	/	4,65	11,25	11,25	
	IV	8,79	20,88	42,20	"	P.C.	137,6	19,43	20,35	13,28	0,1316	4,30	0,042	17	/	0,178	0,06	0,24	2,78	11,25	11,25	
	III	10,00	33,68	29,69	"	P.C.	137,6	19,73	20,35	17,24	0,2708	2,76	0,027	18	/	0,23	0,03	0,38	4,42	11,25	11,25	
	II	10,35	46,4	22,31	"	P.C.	139,19	19,70	23,50	20,32	0,2013	0,37	0,004	16,5	/	0,28	0,005	0,55	6,39	11,25	11,25	
	I	14,35	58,96	24,37	"	P.C.	135,86	19,59	20,6	23,05	0,2680	1,69	0,0036	12,5	/	0,37	0,023	0,95	19,04	11,25	11,25	
19	II	3,50	7,34	47,68	"	P.C.	137,6	19,73	20,35	5,08	0,0503	1,92	0,019	33	0,02	/	/	/	0,23	11,25	11,25	
	IV	4,15	19,95	20,80	"	P.C.	126,04	18,74	22,21	8,44	0,0836	-0,13	0,002	75	0,02	/	/	/	0,23	11,25	11,25	
	III	4,60	32,23	14,27	"	P.C.	108,07	17,05	25,91	11,53	0,1142	-2,33	0,02	24	0,02	/	/	/	0,23	11,25	11,25	
	II	4,87	46,4	10,97	"	P.C.	98,98	16,71	28,79	14,83	0,1429	-4,68	0,046	22,5	0,38	/	/	/	0,38	11,25	11,25	
	I	4,07	52,2	7,79	"	E.C.	90,24	15,15														
20	II	3,47	7,1	48,8	"	P.C.	137,6	19,73	20,35	4,99	0,0454	1,34	0,019	33	0,02	/	/	/	0,23	11,25	11,25	
	IV	3,87	21,7	13,83	"	P.C.	137,87	19,99	23,75	8,53	0,0845	-0,97	0,009	38,5	0,02	/	/	/	0,23	11,25	11,25	
	III	4,08	36,07	11,31	"	P.C.	99,92	16,21	28,02	11,83	0,1172	-3,67	0,036	24	0,03	/	/	/	3,48	11,25	11,25	
	II	4,39	50,38	8,70	"	P.C.	92,74	15,53	30,19	15,22	0,1508	-6,44	0,064	23	0,50	/	/	/	5,8	11,25	11,25	
	I	3,32	54,33	6,11	"	E.C.	85,61	14,62														
2	II	4,22	7,58	55,67	"	P.C.	137,6	19,73	20,35	5,85	0,0579	2,59	0,025	37	0,03	/	/	/	0,35	11,25	11,25	
	IV	3,31	19,6	16,88	"	P.C.	115,25	17,75	24,25	7,52	0,0740	-0,90	0,006	30	0,02	/	/	/	0,23	11,25	11,25	
	III	3,28	33,27	10,49	"	P.C.	97,67	15,95	26,67	10,00	0,0991	-3,40	0,034	25	0,03	/	/	/	0,35	11,25	11,25	
Poteau	NIV	$M_{y\max}$	N	e_0	e_1	Sollicitat.	$\bar{\sigma}_b'$	γ_1	ρ	β	C	E	D	\bar{w}_3	$A'_1 = A'_2$	$A'_1 = A'_2$						
19	I	4,07	52,15	7,79	8,33	E.C.	90,24	15,15	2,16	0,93	0,43	0,33	1,14	<0	<0							
20	I	3,32	54,33	6,11	8,33	E.C.	85,61	14,62	1,96	0,73	0,39	0,23	1,00	<0	<0							
2	II	3,36	42,75	7,85	8,33	E.C.	90,40	15,17	2,64	0,94	0,52	0,70	1,54	<0	<0							
	I	2,39	54,25	4,40	8,33	E.C.	80,90	14,06	1,86	0,53	0,37	0,33	0,97	<0	<0							
	IV	0,94	14,52	0,96	8,33	E.C.	71,44	12,87	6,15	0,11	1,22	5,04	5,24	<0	<0							
	III	0,30	31,53	0,05	8,33	E.C.	71,44	12,86	2,83	0,11	0,56	1,27	2,03	<0	<0							
	II	0,70	48,75	1,43	8,33	E.C.	72,73	13,04	1,86	0,19	0,37	0,49	1,08	<0	<0							
10	I	1,48	66,13	2,23	8,33	E.C.	74,94	13,32	1,14	0,26	0,22	-0,15	0,33	0,36	4,57	10						
	I	1,87	34,16	2,22	8,33	E.C.	74,94	13,32	1,14	0,26	0,22	-0,15	0,33	0,36	4,57	10						

110

Position	N°IV	S' P ₂		e ₀ (cm)	e ₁ (cm)	Sollicitation	D' ₆ kg/cm ²	y ₁ (cm)	K	C _{HC} (cm ²)	H ₁	M _a (cm)	A ₂	K	W	μ ₁	μ ₂ '	W	A ₁ ' = A ₂ '	A ₁ ' = A ₂ '
		N _{min}	N _{corr.}																	
JF M=M _g	V	0,69	6,9	10341	8,33	A.C	26,6	21,2	20,36	7,04	0,0461	6,75	0,049	50,5	0,26	-	-	-	3,024	12,15
	VI	0,85	7,49	991,1	"	"	11	11	11	7,67	0,0504	7,31	0,048	44,1	0,34	-	-	-	3,35	"
	II	2,67	3,78	321,8	"	"	4	4	11	3,35	0,0619	8,20	0,0542	11	0,60	-	-	-	4,65	"
	II	3,88	10,64	273,3	"	"	4	4	11	M ₄₃	0,0757	3,80	0,047	36	0,44	-	-	-	5,11	"
	I	5,63	24,39	426,1	"	"	K	11	11	27,51	0,1633	23,06	0,0524	27	1,14	-	-	-	13,25	13,25
18 M=M _x	V	5,03	2,69	52,1	"	"	4	4	11	3,78	0,0243	1,53	0,046	67,5	0,08	-	-	-	0,93	11,25
	VI	13,31	4,03	80,14	"	"	4	4	11	6,30	0,0456	1,15	0,0036	41	0,12	-	-	-	0,23	"
	III	16,24	5,58	17,56	"	"	10,68	11	11	3,43	0,065	1,73	0,0591	38	0,16	-	-	-	6,97	"
	II	26,43	6,53	24,89	"	"	436,4	305	3,62	12,26	0,0710	2,83	0,0559	23,5	0,03	-	-	-	0,23	"
	I	32,81	14,11	36,79	"	"	266	21,2	20,34	13,16	0,1267	5,03	0,0332	26	0,14	-	-	-	0,23	"
19 M=M _x	V	8,122	3,79	71,71	"	"	26,6	7	20,34	6,94	0,0230	2,63	0,0179	T6	0,08	-	-	-	0,93	"
	VI	23,21	7,03	50,83	"	"	26,6	11	11	10,28	0,0666	4,09	0,027	32	0,21	-	-	-	0,52	"
	II	33,83	9,21	43,0	"	"	26,6	11	11	13,77	0,0803	4,65	0,0302	29	0,25	-	-	-	2,91	"
	II	5,49	9,84	95,74	"	"	26,6	4	11	15,91	0,1051	3,91	0,0461	27	0,20	-	-	-	0,23	"
	I	16,72	4,93	14,57	4	4	163,5	27,10	25,7	12,27	0,1706	1,34	0,0474	29,5	0,12	-	-	-	1,39	"
20 M=M _x	V	5,89	6,03	74,5	"	"	26,6	21,2	20,34	5,80	0,0343	1,81	0,0480	43	0,02	-	-	-	0,23	"
	VI	11,73	3,24	26,7	4	4	19,71	26	21,31	7,42	0,0430	0,29	0,0012	33,5	0,02	-	-	-	0,23	"
	II	27,44	4,61	15,05	4	4	105,5	18,53	25,37	10,55	0,0697	-1,33	0,0033	34,5	"	-	-	-	0,23	"
	II	37,43	6,18	17,53	4	4	19,7	19,3	23,30	15,14	0,0602	-1,14	0,0101	2,5	"	-	-	-	0,23	"
	I	44,69	13,65	42,11	4	11	26,6	24,6	20,34	26,13	0,0378	9,71	0,0376	24,5	0,19	-	-	-	5,53	"
L M=M _x	V	14,53	3,24	13,51	4	11	27,16	24,9	15,13	7,72	0,0602	0,76	0,045	44,3	0,05	-	-	-	0,58	"
	VI	23,11	3,97	16,57	"	"	17,7	19,0	24,66	9,75	0,0821	-1,18	0,0032	36	0,08	-	-	-	0,83	"
	II	37,43	6,55	12,47	"	4	15,29	17,7	27,28	12,58	0,0560	-3,02	0,0315	23,5	1	0,2296	0,035	0,02	0,23	"
	II	50,81	4,74	9,33	4	11	14,13	16,8	29,68	15,66	0,1035	-6,18	0,0408	18,0	1	0,1501	0,0762	0,36	3,72	
	I	61,43	8,91	13,06	"	11	15,79	17,08	26,74	23,82	0,1549	-5,80	0,0332	21,5	1	0,2237	0,0549	0,35	4,07	11,25
10 M=M _y	V	8,31	3,75	44,5	"	"	26,6	21,2	20,34	5,57	0,0306	-4,91	0,0211	61,0	0,08	1	1	1	0,83	10
	VI	24,91	8,13	37,10	"	"	11	11	11	12,41	0,0719	3,42	0,022	23,5	0,04	1	1	1	0,83	"
	II	35,81	14,69	31,03	4	4	11	11	11	12,12	0,1269	3,77	0,0243	23,2	11	1	1	1	0,23	"
	II	54,85	14,16	21,07	"	"	11	11	11	21,01	0,1652	3,34	0,0218	18	-	0,22	0,2	0,68	7,03	"
	I	64,85	16,90	26,33	"	"	11	11	11	20,39	0,2021	3,31	0,0245	13	-	0,445	0,044	0,18	6,03	"

N_{min}, M_{corr.}

Ferrailage sous - SP2 -

Potedu	NIV	SP ₂		Sollicitatie	\bar{F}_b' Kg/cm ²	Y ₁ (cm)	K	M_a^t (Nm)	M ₂ (Nm)	M _{2c} (Nm)	M ₂ (Nm)	K	\bar{w}'	M ₁ '	M ₂ '	w	$A'_1 = A'_2$ (cm ²)	$A'_1 = A'_2$ cm ²	
		N max	M corr																
17 M=M _y	II	6,46	3,58	118,85	8,33	P.C.	206,5	21,22	20,34	8,96	0,0592	6,20	0,0403	39	0,130	-	-	3,48	12,15
	III	19,92	11,85	53,52	8,33	P.C.	206,5	21,22	20,34	16,13	0,1066	7,57	0,0500	29,5	0,132	-	-	3,72	11,15
	III	35,15	12,89	35,95	8,33	P.C.	206,5	21,22	20,34	20,59	0,1360	5,19	0,034	23	0,142	-	-	4,88	12,15
	II	53,24	15,17	28,49	8,33	P.C.	206,5	21,22	20,34	26,61	0,1758	3,79	0,0245	17,5	-	0,240	0,0388	5,49	12,15
	I	69,34	25,88	37,32	8,33	P.C.	206,5	21,22	20,34	40,79	0,2695	10,97	0,074	18	-	0,3652	0,0382	20,9	20,9
18 M=M _y	II	9,32	3,16	46,91	8,33	P.C.	206,5	21,22	20,34	9,16	0,0605	5,16	0,0340	39	0,124	-	-	2,79	11,25
	III	23,2	8,79	37,88	8,33	P.C.	206,5	21,22	20,34	13,78	0,0910	3,80	0,0251	26,5	0,02	-	-	0,23	11,25
	III	38,34	10,00	26,08	8,33	P.C.	206,5	21,22	20,34	18,24	0,1205	1,56	0,0099	22	0,02	-	-	0,23	11,25
	II	54,00	10,35	45,48	8,33	P.C.	182,5	19,73	23,01	21,96	0,1452	-1,86	0,0093	25	0,162	-	-	3,22	11,25
	I	75,55	14,37	19,52	8,33	P.C.	181,9	14,13	23,09	30,61	0,2022	-1,87	0,0123	17	-	0,3113	9,019	0,56	6,52
19 M=M _x	II	8,15	11,15	26,02	8,33	P.C.	206,5	21,22	20,34	5,90	0,0389	2,40	0,0158	45,5	0,02	-	-	0,23	11,25
	II	17,9	7,09	39,60	8,33	P.C.	206,5	21,22	20,34	10,94	0,0723	5,24	0,0214	31	0,02	-	-	0,23	11,25
	III	33,15	9,23	27,86	8,33	P.C.	206,5	21,22	20,34	16,32	0,1077	2,10	0,0139	24	0,02	-	-	0,23	11,25
	II	47,16	9,38	21,16	8,33	P.C.	199,7	20,25	22,02	20,02	0,1326	-0,16	0,0011	20,7	0,02	-	-	0,23	11,25
	I	62,53	17,72	28,91	8,33	P.C.	206,5	21,22	20,34	21,18	0,2060	4,26	0,0251	15,5	-	0,279	0,038	0,44	5,44
20 M=M _x	II	7,77	4,09	52,64	8,33	P.C.	206,5	21,22	20,34	5,76	0,0380	2,42	0,0160	75	0,02	-	0,	0,44	0,23
	II	21,3	6,66	26,32	8,33	P.C.	206,5	21,22	20,34	12,10	0,0799	1,22	0,081	23,5	0,02	-	-	0,23	11,25
	II	42,13	9,95	23,92	8,33	P.C.	199,0	20,91	21,02	19,13	0,1264	0,77	0,0051	21,5	0,02	-	-	0,23	11,25
	II	52,84	16,86	31,32	8,33	P.C.	206,5	21,22	20,34	28,22	0,1864	5,50	0,0363	17	-	0,256	0,019	0,28	3,15
	I	53,73	17,65	29,55	8,33	P.C.	206,5	21,22	20,34	30,49	0,2014	4,82	0,0318	15,5	-	0,230	0,043	0,46	5,35
2 M=M _y	II	9,17	7,15	27,97	8,33	P.C.	206,5	21,22	20,34	9,12	0,0602	5,18	0,0348	34,5	0,02	-	-	0,23	11,25
	III	21,91	8,68	39,62	8,33	P.C.	206,5	21,22	20,34	13,39	0,0895	3,97	0,0260	27	0,025	-	-	0,29	11,25
	III	35,92	9,89	27,51	8,33	P.C.	206,5	21,22	20,34	17,60	0,1163	2,16	0,0308	22,5	0,03	-	-	0,35	11,25
	II	50,45	10,23	20,27	8,33	P.C.	187,0	20,02	22,16	21,08	0,1893	-0,61	0,0040	19,7	-	0,208	0,006	0,10	1,16
	I	70,93	14,43	20,37	8,33	P.C.	187,0	20,05	22,4	29,66	0,1859	-0,80	0,0053	16,5	-	0,293	0,007	0,42	4,88
10 M=M _y	II	9,17	7,15	27,97	8,33	P.C.	206,5	21,22	20,34	9,12	0,06	5,18	0,034	33	0,25	-	-	0,25	2,90
	II	21,91	8,68	39,62	8,33	P.C.	206,5	21,22	20,34	13,39	0,088	3,97	0,026	27	0,03	-	0,03	3,85	10
	III	35,91	9,88	27,51	8,33	P.C.	206,5	21,22	20,34	13,60	0,1116	2,16	0,014	22,5	0,02	-	0,02	6,32	10
	NIV	SP ₂		e ₀	e ₂	Sollicitatie	\bar{F}_b' Kg/cm ²	Y ₁ cm	K	ρ	β	C	E	D	\bar{w}'	/	/	$A'_1 = A'_2$ $A'_1 = A'_2$	
		N max	M corr				kg/cm ²												
	II	50,45	10,23	20,27	8,33	E.C.	187,0	20,02	22,45	4,63	2,43	0,192	1,12	3,08	<0	/	<0	3,37	10
	I	70,83	14,43	20,37	8,33	E.C.	187,4	20,04	22,42	3,32	2,44	0,166	-0,23	3,799	0,07	/	/	0,07	5,28

$T \neq 7562,6$ Kg

on prend $\sigma_{at} = 2400$ kg/cm²

$$A_t = 2,01 \text{ cm}^2 \quad 4 \frac{1}{8}$$

acières dans le sens (a)

poteau 17 $\left\{ \begin{array}{l} \text{NIV I} \quad 22,08 \text{ cm}^2 \\ \text{NIV II, III, IV, V} \quad 12,5 \text{ cm}^2 \end{array} \right.$

poteaux (18, 19, 20, 2) tous les niv $\Rightarrow 11,25 \text{ cm}^2$

Vérification dans le sens (1)

$$\zeta_a = \frac{100 A}{bh}$$

$$\zeta_a = \frac{M}{ZA}$$

$$\zeta_b' = \zeta_a$$

$$Z = \frac{h}{2}$$

Espacement des cadres

$$T = 7562,6 \text{ Kg}$$

$$at = 2400 \text{ Kg/cm}^2$$

$$At = 2,01 \text{ cm}^2$$

$$Z = 7/8 h$$

$$t = \frac{At}{Z} \cdot at = 12 \text{ cm}$$

$$\text{CTC } t = \min 10 \text{ / } 15 \text{ cm}$$

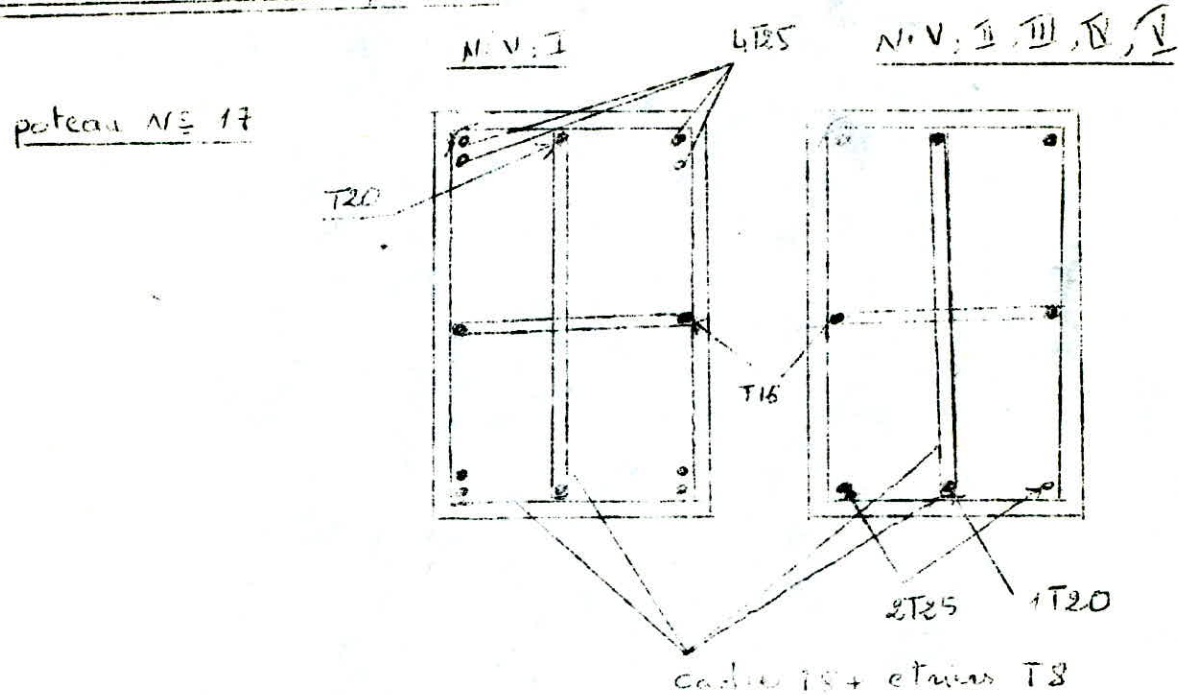
$$t = 12 \text{ cm}$$

Poteau	NIV	A cm ²	W	K	ϵ	Z	M(1)	ζ_a	ζ_b'	S sollicitation
17	I	21,64	2,01	13,2	0,8227	17,60	5,02	1312,1	99,4	SP1
	II III IV V	11,03	1,100	19,6	0,8555	18,4	3,98	1628,4	93,3	SP2
18, 19 20, 2	Tous les niv	11,03	1,100	19,6	0,8555	18,4	6,50	3022,9	154,2	SP2
10	Tous les niv	12,96	1,206	18,6	0,8512	18,9	8,13	3420	184,3	SP2

$$\zeta_a < \zeta_a'$$

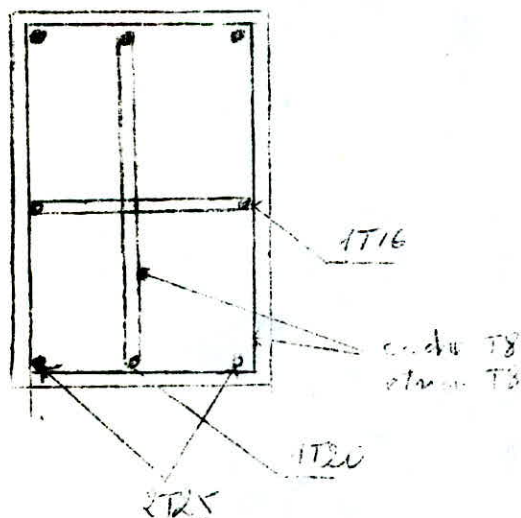
$$\zeta_b' < \zeta_b$$

Ferrailage des poteaux



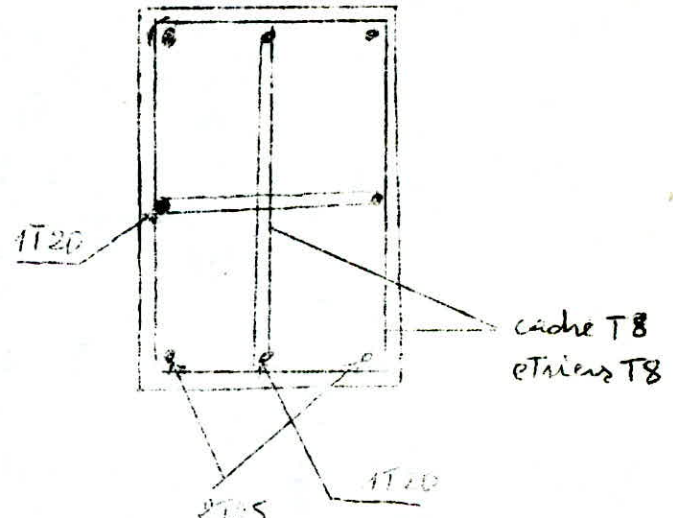
poteaux : 18, 19, 20 et 2

Tous Les NIV



poteau N° 10

Tous les NIV



Voile Périphérique

L'infrastructure comporte un voile périphérique continu entre le niveau des fondations (semelles) et le niveau du premier plancher (niveau conventionnel 0,00).

Ce voile ~~représente un bon chevauchement~~ au niveau du R;D;E et assure une stabilité de l'ensemble du bâtiment.

Dimensionnement

Hauteur du voile (h)

$h \geq \max (10 \% \text{ de la hauteur du bâtiment, } 0,80 \text{ m })$ d'après CTC

$$\Rightarrow h \geq \frac{10}{100} \cdot 16,36 = 1,636 \text{ m} \Rightarrow h_t = 1,7 \text{ m}$$

Epaisseur du voile (e)

$e \geq \max (10 \% \text{ de la hauteur du voile, } 0,15 \text{ m })$

$$e \geq \frac{10}{100} \cdot 1,636 = 0,1636 \text{ m} \Rightarrow e = 17 \text{ cm}$$

Le complément parasismique du CTC recommande aussi de prendre :

1 - les armatures longitudinales filantes supérieures et inférieures de section (A) supérieur à $0,20 \% \text{ de la section transversale du béton avec recouvrement supérieur ou égal à } 50 \text{ % }$.

$$\text{donc } A \geq \frac{0,20}{100} \cdot 170 \cdot 17 = 5,78 \text{ cm}^2$$

2 - les armatures longitudinales de peau de section $\geq 2 \text{ cm}^2$ par face et par metre linéaire de hauteur.

Longrines

- en zone II les fondations seront chainées dans les 2 directions avec des longrines suffisamment rigides ,
- des longrines doivent équilibrer une force maximale de compression ou de traction au moins égale à 10 % de la plus grande charge verticale ,
- la charge représente la force axiale du poteau, en question à cette sollicitation , il faut ajouter les efforts de charges (poids de longrines) et des moments appliqués directement à la longrine ,
- le ferraillage minimum doit être de 4 Ø 14 et 4 T 12 avec les cadres dont l'espacement ne doit pas dépasser 20 cm.

A Longrine sur portiques longitudinaux

1) longrines

$$N'_{\max} \approx 75,55 \text{ t} \Rightarrow \text{effort de traction } N = \frac{75,55}{10} = 7,555 \text{ t}$$

$$b = 25 \text{ cm}$$

$$h_t = 50 \text{ cm}$$

$$l = 3 \text{ m}$$

charges = poids propre de la poutre

$$q = 0,25 \cdot 0,5 \cdot 2,5 = 0,3125 \text{ t / ml}$$

calcul des efforts

$$M_t = 0,01 \cdot \frac{q_1 l^2}{8} = 0,01 \cdot 312,5 \cdot \frac{3^2}{8} = 284,76 \text{ Kg m}$$

./.
114

$$M_{ap} = 0,5 \frac{q l^2}{8} = 0,5 \cdot 312,5 \frac{3^2}{8} = 175,78 \text{ kg m.}$$

$$T = q \frac{l}{2} \cdot 1,15 = 539,06 \text{ kg}$$

Calcul des armatures

$$\text{A l'appui} \quad l = 25 - (3,5 + \frac{e}{3}) = 20,20 \text{ cm}, \quad z = \frac{7}{8}h = 40,7 \text{ cm}$$

$$e_o = \frac{175,78 \cdot 10^2}{7555} = 2,3 \text{ cm} < \frac{50}{6} = 8,33 \text{ cm}$$

Section entièrement tendue

$$A_1 = \frac{N \cdot l}{f_a \cdot z} = \frac{7555}{2800} \cdot \frac{20,20}{40,7} = 1,40 \text{ cm}^2 \Rightarrow \text{on adoptera 4 T 12}$$

$$A_2 = \frac{N(z-1)}{\bar{f}_a(z)} = \frac{7555}{2800} \cdot \frac{(40,7 - 20,20)}{40,7} = 1,36 \text{ cm}^2 \Rightarrow \text{on adoptera 4 T 12}$$

en travée

$$e_o = \frac{M_x}{N} = \frac{28476}{7555} = 3,76 \text{ cm} < 8,33 \text{ cm}$$

section entièrement tendue

$$l = 25 - (3,5 + 3,76) = 17,74 \text{ cm}$$

$$A_1 = \frac{N \cdot l}{f_a \cdot z} = \frac{7555}{2800} \cdot \frac{17,74}{40,7} = 1,18 \text{ cm}^2 \Rightarrow \text{on adoptera 4 T 12}$$

$$A_2 = \frac{N(z-1)}{\bar{f}_a(z)} = \frac{7555}{2800} \cdot \frac{(40,7 - 17,74)}{40,7} = 1,52 \text{ cm}^2 \Rightarrow \text{on adoptera 4 T 12}$$

Armature Transversales =

$$T = 539,06 \text{ kg}$$

$$\sigma_b = \frac{T}{bz} = \frac{539,06}{25,40,7} \approx 0,53 \text{ kg/mm}^2$$

$$\bar{\sigma}_b = 3,5 \bar{\sigma}_b = 20,65 \text{ kg/cm}^2 \quad \bar{\sigma}_b < \bar{\sigma}_b$$

Espacement admissible

$$t \leq t_{\max} = \begin{cases} 0,2 h - 0,2 \cdot 46,5 = 5,3 \text{ cm} \\ h (1 - 0,3 \cdot \frac{\sigma_b}{\bar{\sigma}_b}) = 452 \text{ cm} \end{cases}$$

on choisit 3 cadres

$$6 \ell \ell = 3,01 \text{ cm}^2$$

$$\bar{\sigma}_{at} = 1600 \text{ kg/cm}^2$$

$$t = \frac{3,01 \cdot 1600 \cdot 7 / 0,46,5}{539,06} > 20 \text{ cm}$$

donc on adoptera t = 20 cm

b) portiques transversaux

$$1) N^{\max} = 75,55 \text{ t} \Rightarrow \text{effort de traction} \quad N = \frac{75,55}{10} = 7,555 \text{ t}$$

$$b = 25 \text{ cm}$$

$$ht = 50 \text{ cm}$$

$$l = 4,8 \text{ cm}$$

Charges poids propre de la poutre

$$q = 0,25 \times 0,5 \times 2,5 = 0,3125 \text{ t/ml}$$

./. .

216

Calcul des efforts

$$M_c = \zeta_{81} \cdot q \frac{l}{6} = \zeta_{81} \cdot 312,5 \frac{2}{4,8} = 729 \text{ kg m}$$

$$M_t = \zeta_5 \cdot q \frac{l^2}{6} = 0,5 \cdot 312,5 \cdot \frac{2^2}{4,8} = 450 \text{ kg m}$$

$$T = q \frac{l}{2} \cdot 1,15 = 862,5 \text{ kg.}$$

Calcul des armatures

à l'appui $l = 25 - (3,5 + 5,9) = 15,6 \text{ cm}$

$$e_o = \frac{45000}{7555} = 5,9 \text{ cm}^2 < 8,33 \text{ cm}^2$$

Section entièrement tendue

$$A_1 = \frac{M}{\sigma_{az}} = \frac{7555 \cdot 15,6}{2800 \cdot 40,7} = 1,03 \text{ cm}^2 \text{ on adoptera à 4 T 12}$$

$$A_2 = \frac{M(z - 1)}{\sigma_{az}} = \frac{7555 \cdot (40,7 - 15,6)}{2800 \cdot 40,7} = 1,69 \text{ cm}^2 \text{ on adoptera à 4 T 12}$$

en travée

$$e_o = \frac{72900}{7555} = 9,65 \text{ cm}^2 > 8,33 \text{ cm}$$

Section partiellement tendue

$$M = M - Na = 729 - 7555 \cdot 0,215 = - 895,3 \text{ kg m}$$

$$M = - 89530 \text{ kf cm.}$$

$$\lambda = \frac{15 \cdot M}{\sigma_a b h^3} = \frac{8,8710^3}{0,0067} \left\{ \begin{array}{l} \sum = 0,9500 \\ \lambda = 104 \end{array} \right.$$

./. .

$$\sigma'_b = \frac{2800}{104} = 26,9 < \sigma'_b \Rightarrow A' = 0$$

$$A = \frac{M}{\sigma' h} = \frac{69530}{2800 \cdot 0,9580 \cdot 46,5} = 0,72 \text{ cm}^2 \text{ on adoptera à } 4 \text{ T 12}$$

espacement des cadres verticaux $t = 20 \text{ cm}$

La répartition sera uniforme.

Vérification de la condition de non poinçonnement :

La condition de non poinçonnement sous charges localisés doit être satisfaite sous les sollicitations pondérées du 1er genre.

$$\sigma_b = \frac{1,5 w}{P_c h t} \leq 1,2 \bar{\sigma}_b$$

$$P_c = 2 (a \cdot b' + 2 h_t)$$

w = effort sur le poteaux le plus chargé, le poteau le plus chargé est le N° 18

$$w = 75,55 \text{ t}$$

$$P_c = 2 (25 \times 50' + 2 \times 85) = 2840 \text{ cm}$$

$$\sigma_b = \frac{1,5 \cdot 75550}{2840 \cdot 85} = 0,46 \text{ kg/cm}^2 < 1,2 \bar{\sigma}_b = 7,08 \text{ kg/cm}^2.$$

Pour les autres poteaux ; il est évident qu'elle soit vérifiée car ils sont moins chargés.

FONDACTIONS

INTRODUCTION

La fondation est destinée à transmettre au sol, les charges et surcharges provenant de la superstructure, dans les conditions normales d'exploitation et d'assurer la stabilité d'ensemble de l'ouvrage.

Lorsque celui-ci est sollicité par des efforts d'origine climatique (sismique)

le dimensionnement de la fondation consiste à déterminer quelle sera la grandeur de celle-ci compatible avec la capacité portante admissible du sol

Les fondations que nous allons étudier sont des fondations superficielles.

La contrainte du sol $\sigma_s' = 2 \text{ bars} = 2,04 \text{ kg/cm}^2$. On disposera au-dessous de la semelle une épaisseur de béton de propreté de 5 à 10 cm.

La contrainte admissible est majorée de 33% , lorsqu'il s'agit des sollicitations du 2^e genre . Elles seront dimensionnées sous S_p et vérifiées sous S_{p_2}

CHARGE

N_1 = effort normal

$N_2 = \frac{N_1}{10}$ on estime le poids de la semelle et de la terre à $\frac{1}{10}$ de l'effort normal $Q = \sum_1^4 N_i$

N_3 = effort normal revenant au poteau due au niveau (0,0)

Pour poteau (10) $N_3 = 429 \times 3 \times 4,8 = 6,18 \text{ t}$

Pour poteaux (2, 17, 18, 19, 20), $N_3 = 429 \times 3 \times 2,4 = 3,09 \text{ t}$

N_4 : Poids du fil des poteaux

$N_4 = 2500 \times 0,25 \times 0,5 \times 4,6 = 5000 \text{ kg}$

Dimensionnement sous SP₁

$$\begin{aligned} 1) \quad \frac{Q}{S} &\leq \bar{\sigma}_s \Rightarrow S \geq \frac{Q}{\bar{\sigma}_s}; \quad S : \text{surface de la semelle} \\ 2) \quad \frac{a}{b} = \frac{A}{B} &= \frac{1}{2} \Rightarrow B = 2A \quad \left. \right\} \Rightarrow A \geq \left(\frac{Q}{2\bar{\sigma}_s} \right)^{\frac{1}{2}} \\ 3) \quad S = A \cdot B & \end{aligned}$$

sous SP₁: $\bar{\sigma}_s = 2 \text{ bars} = 2,04 \text{ kg/cm}^2$

sous SP₂: $\bar{\sigma}_s = 1,33 \bar{\sigma}_s (\text{SP}_2) = 2,713 \text{ kg/cm}^2$

On prend:

$$h_t > d_1 + \frac{B-b}{4}$$

$$\left\{ d_1 = 3,5 \text{ cm}; \quad d_2 = 5 \text{ cm} \right\}$$

Dimensionnement sous "SP₁".

Vérification sous "SP₂"

Semelle	17	18	19	20	2	10
N (k)	44,57	72,946	65,52	65,853	69,765	70,955
A (cm ²)	440	485	430	430	430	435
B (cm)	220	270	260	260	260	270
h _b (cm)	46	60	60	60	60	60

$$e > 6\phi + 6 = 6,46 + 6 = 15,6 \text{ cm} \Rightarrow e = 20 \text{ cm}$$

Semelle	$\sigma_1 (\text{k})$	M_{G_0}	$e_0 (\text{cm})$	A (cm ²)	B (cm)	σ_1	σ_2	$\frac{\sigma_1 + \sigma_2}{4}$	$\frac{Q}{3}$	$\sigma_1 - \sigma_2$	$\frac{B}{6}$
17	84,364	25,28	29,96	440	220	5,18	-2,21	-	-	-	
18	90,526	44,87	45,96	485	270	4,24	0,73	3,36	2,48	3,52	
19	75,935	47,72	22,16	430	260	4,78	-0,05	-	-	-	
20	72,953	43,65	23,92	430	260	5,19	-0,22	-	-	-	
2	84,063	44,63	16,78	430	260	4,52	0,57	3,53	2,54	3,91	
10	89,093	44,48	16,20	435	270	4,21	0,68	3,33	2,44	3,53	

$$\sigma_{1,2} = \frac{N}{AB} \left(1 \pm \frac{M}{I} v \cdot \frac{AB}{N} \right) = \frac{N}{AB} \left(1 \pm \frac{620}{A} \right)$$

D'après la comparaison de ($\sigma_1 - \sigma_2$) et $\frac{Q}{S}$ on a trouvé $\sigma_1 - \sigma_2 > Q/S$ (pour $\sigma_2 > 0$)

donc on ne peut pas appliquer la méthode de bielles donc on fait les calculs d'après

Semelle sous poteau isolé ; avec moment M_{G_0} en pied de poteau.

On suppose que le plan de flexion est le plan moyen du poteau contenant la dimension (b)

$$e_0 = \frac{M_{G_0}}{Q}$$

$$e_0 \left\{ \begin{array}{l} \leq \frac{B}{6} \text{ diagramme des contraintes trapezoïdal} \\ > \frac{B}{6} \text{ diagramme des contraintes triangulaire} \end{array} \right.$$

1°) dans le cas $e_0 \leq \frac{B}{6}$ on vérifie que $\sigma_s = \frac{Q}{AB} \left(1 + \frac{3e_0}{B} \right) \leq \bar{\sigma}_s$

2°) dans le cas $e_0 > \frac{B}{6}$ on vérifie que $\sigma_{SM} = \frac{Q}{I(B/2 - e_0)A} \leq 1,33 \bar{\sigma}_s$

on a des contraintes à diagrammes triangulaires mais la condition

$\sigma_{sm} = 1,33 \bar{\sigma}_s = 3,61 \text{ kg/cm}^2$, n'est pas vérifiée donc on augmente la section tel que σ_{sm} vérifie la condition $\sigma_{sm} \leq 1,33 \bar{\sigma}_s$

$$\frac{2Q}{1,33 \bar{\sigma}_s \cdot 3} < (A - e_0) A$$

$$\text{On obtient: } A^2 + K_1 A + K_2 \geq 0$$

$$\text{Pour } A^2 + K_1 A + K_2 = 0, \text{ on obtient } \sqrt{\Delta} = \sqrt{K_1^2 - 4K_2} \rightarrow A = -\frac{K \pm \sqrt{\Delta}}{2 \cdot 1}, \text{ et}$$

On fait le choix de A, B .

Determination des armatures.

On adoptera pour les armatures une répartition uniforme

sens parallèle au côté B

$$\text{Si } \begin{cases} e_0 < \frac{b}{6} \\ \text{et} \\ e_0 < \frac{B}{18} \end{cases} \Rightarrow \text{II} \begin{cases} A_A = \frac{Q'(A-a)}{8 h_a \bar{\sigma}_a} \\ A_B = \frac{Q'(B-b)}{8 h_b \bar{\sigma}_a} \end{cases} \text{ avec } Q' = Q \left(1 + \frac{3e_0}{B}\right)$$

Si non : On calcule la section A_B des armatures nécessaires pour équilibrer le moment agissant dans la section S_1 :

$$M_{S_1} = A \left(\frac{B}{2} - 0,35b\right)^2 \left[\frac{\sigma_{sm}}{3} + \frac{\sigma_{S_1}}{6} \right]$$

$$\text{Diagramme trapézoïdal: } \sigma_{S_1} = \frac{Q}{A \cdot B} \left(1 + 4,2 \frac{e_0 b}{B^2}\right)$$

$$\text{Diagramme triangulaire: } \sigma_{S_1} = \sigma_{sm} \frac{B - 3e_0 + 0,35b}{3 \left(\frac{B}{2} - e_0\right)} ; \quad A = \frac{M_{S_1}}{z \bar{\sigma}_a}$$

sens Parallèle au côté A.

Dans ce sens il n'y a pas de moments (ou très faible) \Rightarrow Formule(II)

semelle	\sqrt{A}	$A (\text{cm}^2)$	$B (\text{cm})$	σ_{sm} (kg/cm^2)	σ_{S_1} (kg/cm^2)	M_{S_1} (kg-m)	$A (\text{cm}^2)$	$Q' (\text{t})$	$A_{Arm} (\text{cm}^2)$
17	252,4	145	290	6,38	4,03	26,4	16,86	198,8	10,35
18	253,1	140	280	3,75	2,52	31,2	14,99	106,5	6,63
19	244,0	135	270	3,80	2,48	27,7	13,31	100,4	6,00
20	234,6	135	270	3,56	2,30	25,8	12,44	94,2	5,61
2	252,6	135	270	3,89	2,60	28,5	13,70	102,7	6,12
10	257,0	140	280	3,70	2,48	29,6	14,23	105,2	6,60

Suivant le CTC :

Ferrailage sous σ_p en compression simple

$$F_x = \frac{Q(A-a)}{8(h_t-d_1)} ; A_x = \frac{F_x}{\sigma_a} \quad F_y = \frac{Q(B-b)}{8(h_t-d_1)} ; A_y = \frac{F_y}{\sigma_a}$$

semelle	Q (t)	A (cm²)	B (cm)	S (cm²)	ht (cm)	$\sigma = \frac{\sigma_p}{\sigma_{p,cr}}$	Fy (t)	A_y (cm²)	Fx (t)	Ax (cm²)
17	44,57	110	220	24200	46	1,84	22,3	7,96	14,6	4,16
18	72,946	135	270	36450	60	2,00	35,5	12,68	18,24	6,53
19	65,52	130	260	33800	60	1,94	30,4	10,87	15,23	5,44
20	65,853	130	260	33800	60	1,95	30,6	10,93	15,3	5,46
2	67,765	130	260	33800	60	2,00	31,5	11,25	15,7	5,62
10	70,855	135	270	36450	60	1,86	34,5	12,3	17,24	6,15

$$\sigma < \bar{\sigma}_s$$

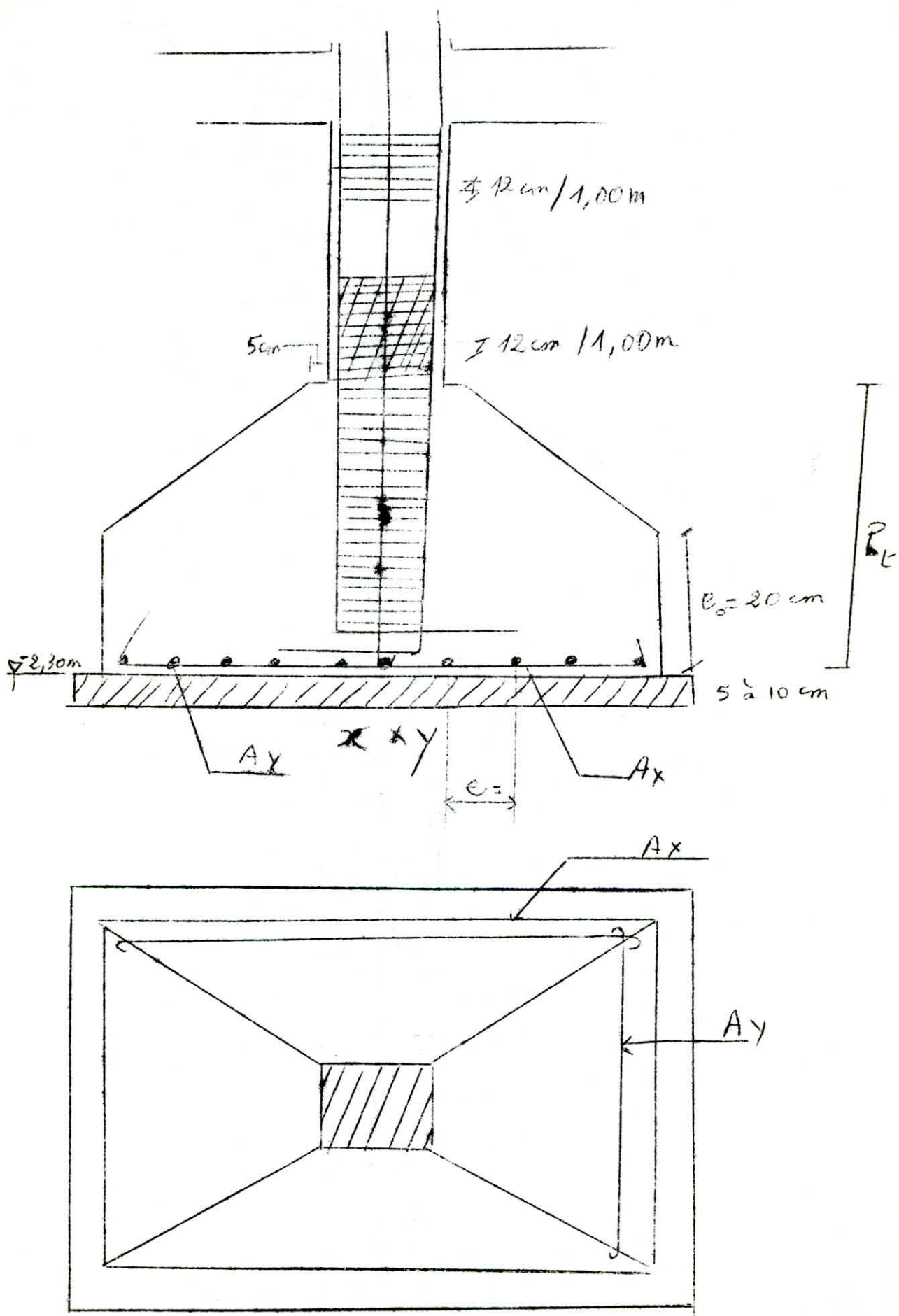
donc on prend le ferrailage max.

$$\text{semelle (17)} \left\{ \begin{array}{l} 16,86 \text{ cm}^2 \Rightarrow 15 T_{12} \quad t = 20 \text{ cm} \\ 10,35 \text{ cm}^2 \Rightarrow 10 T_{12} \quad t = 16 \text{ cm.} \end{array} \right.$$

$$\text{semelle (18,10)} \left\{ \begin{array}{l} 14,59 \text{ cm}^2 \Rightarrow 15 T_{12} \quad t = 20 \text{ cm} \\ 6,63 \text{ cm}^2 \Rightarrow 7 T_{12} \quad t = 13 \text{ cm.} \end{array} \right.$$

$$\text{semelle (19,2)} \left\{ \begin{array}{l} 13,7 \text{ cm}^2 \Rightarrow 14 T_{12} \quad t = 20 \text{ cm}^2 \\ 6,12 \text{ cm}^2 \Rightarrow 8 T_{12} \quad t = 19 \text{ cm} \end{array} \right.$$

$$\text{semelle (20)} \left\{ \begin{array}{l} 12,44 \text{ cm}^2 \Rightarrow 14 T_{12} \quad t = 21 \text{ cm} \\ 5,61 \text{ cm}^2 \Rightarrow 8 T_{10} \quad t = 20 \text{ cm.} \end{array} \right.$$



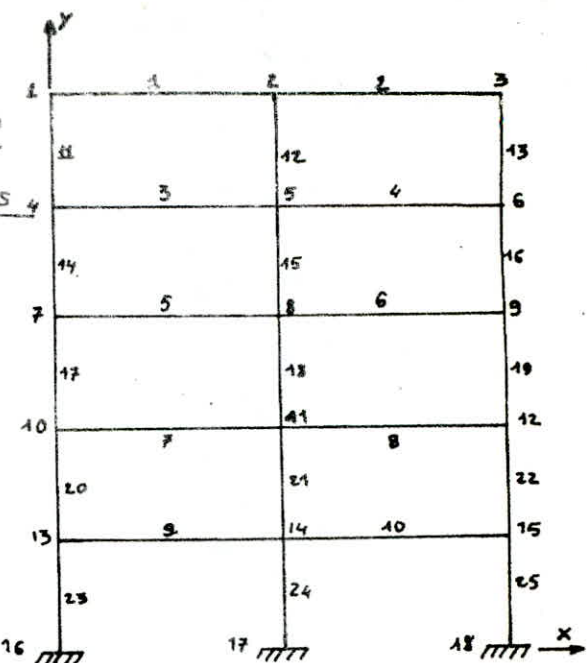
EXEPLE DE PROGRAMMATION

Programme utilisé pour la détermination

des efforts dans les différents éléments

résistants des Portiques est le

Programme "Stress"



2-2

STRUCTURE PORTIQUE

TYPE PLAN FARME

NUMBER OF JOINTS 18

NUMBER OF MEMBER 25

NUMBER OF SUPPORTS 3

NUMBER OF LOADING 11

JOINT COORDINATES

1 0. 15.30

2 4.8 15.30

3 9.6 15.30

4 0. 12.24

5 4.8 12.24

6 9.6 12.24

7 0. 9.18

8 4.8 9.18

9 9.6 9.18

10 0. 6.12

11 4.8 6.12

12 9.6 6.12

13 0. 3.06

14 4.8 3.06

15 9.6 3.06

16 0. 0.5

17 4.8 0.5

18 9.6 0.5

MEMBER INCIDENCE

1 1 2

2 2 3

3	4	5	11. AX = 0.125 . IZ = 0.0026
4	5	6	13 THRU 14 AX = 0.125 . IZ 0.0026
5	7	8	16 THRU 17 " = " " = "
6	8	9	18 THRU 20 " = " " = "
7	10	11	22 THRU 23 " = " " = "
8	11	12	25 AX = 0.125 IZ = 0.0026
9	13	14	12. " = " " = 0.00065
10	14	15	15. " = " " = "
11	1	4	18. " = " " = "
12	2	5	21. " = " " = "
13	3	6	24. " = " " = "
14	4	7	CONSTANCE E = 3450000
15	5	8	TABULATE ALL
16	6	9	LOADING 1 CHARGE PERMANENTE
17	7	10	MEMBER LOAD
18	8	11	1 FORCE Y UNIF = -2,173
19	9	12	2 " - " - " = -2,108
20	10	13	3 " - " - " = -2486
21	11	14	3 FORCE Y CONCENTRATED = -2,100 L = 0,9
22	12	15	5 FORCE Y UNIF = -2,486
23	13	16	5 FORCE Y CONCENT. = -2,100 L = 0,9
24	14	17	7 FORCE Y UNIF = -2,486
25	15	18	7 FORCE Y CONC. = 2,100 L = 0,9
MEMB PROP PRIS			9 FORCE Y UNIF = -2,486
1 THRU 10 AX = 0.125 IZ = 0.0026			9 FORCE Y CONC = -2,100 L = 0,9

4 FORCE y unif = - 2,421

4 FORCE y CONC = - 1,050
L = 3,33

6 FORCE y unif = - 2,421.

6 FORCE y CONC = - 1,050
L = 3,33

8 FORCE y unif = - 2,421.

8 FORCE y CONC = - 1,050
L = 3,33

10 FORCE y unif = - 2,421

10 FORCE y CONC = - 1,050
L = 3,33

LOADING 2 SURCHARGE

1 THRU 2 FORCE y unif = - 0,300

3 THRU 10 FORCE y unif = - 0,525

LOADING 3 SI GAUCHE.

Joint LOAD

1 FORCE X = 1,679

2 " - " = 0,340

3 " - " = 1,679

4 " - " = 2,051

5 " - " = 0,349

6 " - " = 2,051

7 " - " = 1,546

8 " - " = 0,312

9 " - " = 1,546

10 " - " = 1,027

11 " - " = 0,208

12 " - " = 1,027

13 " - " = 0,519

14 " - " = 0,033

15 " - " = 0,519

LOADING 4 SI DROITE

JOINT LOAD

1 FORCE X = - 1,679

2 " - " = - 0,340

3 " - " = - 1,679

4 " - " = - 2,051

5 " - " = - 0,349

6 " - " = - 2,051

7 " - " = - 1,546

8 " - " = - 0,312

9 " - " = - 1,546

10 " - " = - 1,027

11 " - " = - 0,208

12 " - " = - 1,027

13 " - " = - 0,519

14 " - " = - 0,033

15 " - " = - 0,519

LOADING 5 SI V ↑

MEMBER LOAD

1 THRU 2 FORCE y unif = 0,253

3 THRU 4 FORCE y unif = 0,309

5 THRU 6 FORCE y unif = 0,231

7 THRU 8 FORCE y unif = 0,455

9 THRU 10 FORCE y unif = 0,075

LOADING 6 Siv Θ ↓

1 THRU 2 FORCE y unif = -0,253

3 THRU 4 " " " = -0,309

5 THRU 6 " " " = -0,231

7 THRU 8 " " " = -0,155

9 THRU 10 " " " = -0,075

LOADING 7 G + 1,2P

COMBINE 1.1 : 2.1,2

LOADING 8 G + P + Siv Θ + S_x G

COMBINE 1.1 : 2.1 : 6.1 : 3.1.

LOADING 9 G + P + Siv Θ + S_x D

COMBINE 1.1 : 2.1 : 6.1 : 4.1.

LOADING 10 G + $\frac{P}{5}$ + Siv Θ + S_x G

COMBINE 1.1 : 2.0,2 : 5.1 : 3.1.

LOADING 11 G + $\frac{P}{5}$ + Siv Θ + S_x D

COMBINE 1.1 : 2.0,2 : 5.1 : 4.1.

PLAN N° 1525

ADL 607 011

EN PLAN N° 1525

COUPE 1.1

COUPE 2.2

COUPE

COUPE

PP-032-164

DOCUMENT FOURNIS

COFFREAGE: 100 ETAGES
ET TERRASSE

PORTIQUE -2-2-

1

1

—

-

3

1

LOGEMENT D'ASTREINTE

FERRAILLAGE PORTIQUE 2-

